

# VYSOKÉ UČENÍ TECHNICKÉ V BRNĚ

Fakulta stavební

DIPLOMOVÁ PRÁCE  
ANALÝZA ZATĚŽOVACÍ ZKOUŠKY PILOTY

BRNO, 2017

BC.CYRIL PONÍŽIL



**VYSOKÉ UČENÍ TECHNICKÉ V BRNĚ**

BRNO UNIVERSITY OF TECHNOLOGY

**FAKULTA STAVEBNÍ**

FACULTY OF CIVIL ENGINEERING

**ÚSTAV GEOTECHNIKY**

INSTITUTE OF GEOTECHNICS

**NÁZEV PRÁCE**

TITLE

**ANALÝZA ZATĚŽOVACÍ ZKOUŠKY PILOTY**

**DIPLOMOVÁ PRÁCE**

MASTER'S THESIS

**AUTOR PRÁCE**

AUTHOR

Bc. Cyril Ponížil

**VEDOUCÍ PRÁCE**

SUPERVISOR

Ing. Radek Fiala

BRNO 2017



# VYSOKÉ UČENÍ TECHNICKÉ V BRNĚ FAKULTA STAVEBNÍ

<b>Studijní program</b>	N3607 Stavební inženýrství
<b>Typ studijního programu</b>	Navazující magisterský studijní program s prezenční formou studia
<b>Studijní obor</b>	3607T009 Konstrukce a dopravní stavby
<b>Pracoviště</b>	Ústav geotechniky

## ZADÁNÍ DIPLOMOVÉ PRÁCE

<b>Student</b>	Bc. Cyril Ponížil
<b>Název</b>	Analýza zatěžovací zkoušky piloty
<b>Vedoucí práce</b>	Ing. Radek Fiala
<b>Datum zadání</b>	31. 3. 2016
<b>Datum odevzdání</b>	13. 1. 2017

V Brně dne 31. 3. 2016

---

doc. Ing. Lumír Miča, Ph.D.

Vedoucí ústavu

---

prof. Ing. Rostislav Drochytka, CSc.,

MBA

Děkan Fakulty stavební VUT

## PODKLADY A LITERATURA

MASOPUST, Jan. Vrtané piloty. 1. vyd. [Praha]: Čeněk a Ježek, 1994. 263 s. ISBN 8023827553

EC 7-1 (EN 1997-1:2003) "Navrhování geotechnických konstrukcí - Část 1: Obecná pravidla"

ÖNORM B 1997-1-3 - Eurocode 7 - Entwurf, Berechnung und Bemessung in der Geotechnik - Teil 1-3: Pfahlgründungen

## ZÁSADY PRO VYPRACOVÁNÍ

Cílem diplomové práce je převedení v ČR nejrozšířenější metody dle Masopusta pro stanovení únosnosti piloty na stejný princip, který je využíván v německé DIN a v rakouské ÖNORM. Tyto zahraniční normy nepracují s mezní zatěžovací křivkou, ale s tabulkově uspořádanými údaji definujícími tření na plášti a odpor na patě, přičemž konečné sedání je zohledněno již při jejich výběru.

Součástí práce bude i analytické vyhodnocení únosnosti piloty pro konkrétní případ v souladu s jednotlivými normami. Výsledky analytických metod budou doplněné o výsledky získané z numerického výpočtu.

## STRUKTURA DIPLOMOVÉ PRÁCE

**VŠKP vypracujte a rozčleňte podle dále uvedené struktury:**

1. Textová část VŠKP zpracovaná podle Směrnice rektora "Úprava, odevzdávání, zveřejňování a uchování vysokoškolských kvalifikačních prací" a Směrnice děkana "Úprava, odevzdávání, zveřejňování a uchování vysokoškolských kvalifikačních prací na FAST VUT" (povinná součást VŠKP).
2. Přílohy textové části VŠKP zpracované podle Směrnice rektora "Úprava, odevzdávání, zveřejňování a uchování vysokoškolských kvalifikačních prací" a Směrnice děkana "Úprava, odevzdávání, zveřejňování a uchování vysokoškolských kvalifikačních prací na FAST VUT" (nepovinná součást VŠKP v případě, že přílohy nejsou součástí textové části VŠKP, ale textovou část doplňují).

---

Ing. Radek Fiala

Vedoucí diplomové práce

## **Bibliografická citace VŠKP**

### **Prohlášení:**

#### BIBLIOGRAFICKÁ CITACE VŠKP

Bc. Cyril Ponížil *Analýza zatěžovací zkoušky piloty*. Brno, 2017. 91 s., 0 s. příl.  
Diplomová práce. Vysoké učení technické v Brně, Fakulta stavební, Ústav geotechniky.  
Vedoucí práce Ing. Radek Fiala

## **PROHLÁŠENÍ O SHODĚ LISTINNÉ A ELEKTRONICKÉ FORMY VŠKP**

Prohlašuji, že elektronická forma odevzdané bakalářské práce je shodná s odevzdanou listinnou formou.

.....  
podpis autora

Cyril Ponížil

V Brně dne 10.1.2017

## PROHLÁŠENÍ

Prohlašuji, že jsem diplomovou práci zpracoval(a) samostatně a že jsem uvedl(a) všechny použité informační zdroje.

V Brně dne 13. 1. 2017

---

**Bc. Cyril Ponížil**

autor práce

## **Poděkování**

Rád bych poděkoval všem, kteří mi pomohli na cestě k této bakalářské práci a to jak spolužákům při pomoci v nesnázích, při vypracování projektů potřebných k zápočtům, popřípadě pomoci na zkoušky, tak všem mým přátelům. Dále všem z ústavu geotechniky, jelikož celý ústav své hodiny vedl velmi prakticky a poučně a to určitě napomohlo zvolit si tento obor. Dále bych chtěl poděkovat mému vedoucímu diplomové práce, panu Ing. Radku Fialovi, za odbornou pomoc, vedení, ochotu a cenné rady při vypracování této diplomové práce.



## **Abstrakt**

V České republice je k posouzení pilot používána metoda podle Masopusta. Tato metoda je založena na statistickém zpracování rozsáhlého souboru dat ze zatěžovacích zkoušek pilot. Posouzení pilot je pak díky použití regresních součinitelů poměrně komplikované a málo přehledné. Zahraniční normy naopak obvykle využívají přímo stanovených hodnot mezního napětí na patě piloty a maximálního smykového napětí na plášti piloty. Postup pro stanovení únosnosti pilot se tímto značně zjednodušuje. V diplomové práci je metoda dle Masopusta porovnána s metodami, které se používají v Německu a Rakousku. Toto srovnání umožňuje vhléd do míry bezpečnosti, kterou jednotlivé přístupy obsahují.

## **Klíčová slova**

pilota, navrhování pilot, hlubinné základy, dřevěné piloty, betonové piloty, vrtané piloty, návrhový přístup dle Masopusta, DIN, ÖNORM, zatěžovací zkouška piloty,

## **Abstract**

There is usually used the Masopust's method to assessment the piles in Czech Republic. This method is based on statistical processing of large data set of load piles tests. Due to the using of regression coefficients this method is relatively complicated and not very transparent. Instead, foreign standards usually use direct the values of limit stress on the base of piles and unit friction capacity. Procedure for determining the bearing capacity of the piles is thus considerably simplified. In this thesis the Masopust's method is compared with the methods used in Germany and Austria. This comparison provides insight to the safety level that include various approaches.

## **Key words**

pile, pile design, deep foundation, timber piles, concrete piles, drilled pile, pile design according doc. Masopust, DINN, ÖNORM , pile load test

## Obsah

1	Obecné.....	14
1.1	Úvod .....	14
2	Historie.....	15
3	Rozdělení.....	16
3.1	Prvky hlubinných základů .....	16
3.2	Rozdělení pilot .....	16
4	Technologie vrtaných pilot .....	19
4.1	Pažení vrtů .....	20
4.2	Vrtné nástroje .....	20
4.3	Přípravné práce před betonáží .....	21
4.4	Betonáž vrtaných pilot .....	23
	Metoda contractor .....	24
4.5	Dokončovací práce: .....	24
	CFA – piloty prováděné průběžným šnekem ( CFA = Continuous flight augering) .....	25
5	technologie ražených pilot franki.....	27
6	Výpočet únosnosti piloty – řešení podle doc. masopusta .....	31
6.1	únosnost 1. mezního stavu dle masopusta.....	31
6.2	na základě 2. mezního stavu dle masopusta .....	32
	Výpočtová únosnost pilot opřených o nestlačitelné podloží.....	32

Výpočtová únosnost pilot zahloubených do stlačitelného podloží – princip mezní zatěžovací křivky .....	33
6.3    Výpočet pilot dle doc. masopusta.....	34
7    Německá norma DIN .....	39
7.1    Tabulky.....	39
7.2    Mezní zatěžovací křivka.....	40
7.3    one penetration test.....	42
Průběh zkoušky .....	42
Korelace výsledků.....	44
8    ÖNORM.....	46
8.1    Úvod.....	46
8.2    SPT – Standard penetration test .....	48
9    Vyhodnocení výpočtu modelových pilot podle jednotlivých norem.....	50
9.1    Převody a postup výpočtu podle masopusta.....	50
Upravení veličin .....	50
Postup výpočtu pro první a druhou větev křivky.....	50
Dopočet celkové síly pro 1. Parabolickou větev.....	51
9.2    Výpočet podle německé normy ÖNORM.....	51
9.3    výpočet podle rakouské normy ÖNORM.....	51
9.4    Převody mezi indexem ulehlosti a ulehlostí, indexem konzistence a neodvodněnou smykovou pevností.....	52

Převody mezi indexem ulehlosti $I_d$ a ulehlostí $D$ .....	52
Převody mezi indexem konzistence $I_c$ $D$ .....	54
10 výsledky a porovnání výsledků jednotlivých norem.....	55
10.1 Výpočet.....	55
10.2 Výsledky – nesoudržné zeminy.....	55
Graf únosnosti na patě $q_b$ a závislost na poměru $s/Db$ .....	56
Napětí na patě $q_{bk}$ - závislost na štíhlostním poměru.....	61
Plášťové tření $q_{sk}$ - závislost na délce, průměru a štíhlosti .....	64
10.3 výsledky – soudržné zeminy.....	69
Graf únosnosti na patě $q_b$ a závislost na poměru $s/Db$ .....	69
Závislost plášťového tření $q_{sk}$ na štíhlosti $L/d$ dle normy dle doc. Masopusta.....	73
Závislost únosnosti na plášti $q_{sk}$ pro jednotlivé poměry $S/D$ .....	73
Plášťové tření $q_{sk}$ - závislost na délce, průměru a štíhlosti .....	75
11 vzorový příklad .....	81
11.1 VÝPOČET podle jednotlivých norem.....	82
12 Závěr .....	90
13 Zdroje .....	91

# 1 OBECNÉ

## 1.1 ÚVOD

Diplomová práce je rozdělena do několika kapitol.

- Historie
- Delení pilot
- Technologie pilot
  - Technologie vrtaných pilot
  - Technologie ražených pilot
- Jednotlivé normy
  - Česká norma podle doc. Masopusta
  - Německá norma DIN
  - rakouské norma ÖNORM
- Početní příklad jeho porovnání z výsledky z terénu

V první kapitole je velice stručně popsána historie. Dále se práce zabývá rozdělením pilot a podrobnějším popsáním jejích technologie. Poté následuje výpočtová část. V programu GEO 5 bylo provedeno několik vzorových pilot podle České normy dle doc. Masopusta, a ty pak jsou porovnávány s Rakouskou ÖNORM a Německou DIN. V této kapitole je rovněž blíže popsány principy navrhování podle jednotlivých norem. Pro větší přehlednost je závěrem proveden příklad a výpočet jedné konkrétní piloty podle jednotlivých norem, a jeho následné porovnání z výsledky z terénu.

## 2 HISTORIE

V dřívějších dobách byly vesnice a města zakládány v blízkosti jezer a řek kvůli přítomnosti vody. Slabě únosné zeminy byly vyztuženy dřevěnými pilotami, které byly manuálně zatlačeny do země.

Počátky hlubinného zakládání se datují někdy do 4. století před Kristem, některá data dokonce uvádějí, že před 6000 lety byla některá obydlí stavěna na hlubinných základech pro zpevnění hradeb před nepřátelskými nájezdy. Starověké národy Řecka a Říma používaly dřevěné piloty k vyztužení pobřežních oblastí na břehu středozemního moře. Rovněž ve Starověké Británii byly pomocí dřevěných pilot podepřeny mosty na řece Temži, stejně tak v Číně za Hanovy dynastie. Dále starověká města Ravena nebo Benátky byly podepřeny na dřevěných pilotách.

Používala se jednoduchá zastaralá pravidla. Většinou se jednalo o piloty zaražené do země kladivem. Dřevo bylo tehdy jediným materiálem. Je pevné, tvárné, trvanlivé a zároveň lehké.

Postupem času se znalosti mechaniky zemin a znalosti hlubinného zakládání vyvíjely, hlavně pak během průmyslové revoluce. Na počátku 20. století došlo k objevení betonu a později vyztuženého betonu, a tyto nové materiály společně s ocelí dřevo nahradil, protože železobetonové a ocelové piloty jsou schopné odolat mnohem většímu namáhání.

V České republice došlo k výraznému rozvoji pilot převážně v 60. letech minulého století.

## **3 ROZDĚLENÍ**

### **3.1 PRVKY HLUBINNÝCH ZÁKLADŮ**

Studně  
Kesony  
Piloty  
Mikropiloty  
Podzemní stěny  
Speciální (injektáže, kotvy)

Návrh hlubinných základů je ovlivněn přírodními a ekonomickými faktory, jsou navrhovány v místech, kde je základová půda málo únosná a stlačitelná. Úkolem hlubinných základů je přenos zatížení do únosnějších, hlouběji uložených vrstev a omezení sedání. Piloty jsou nejrozšířenějším prvkem hlubinného zakládání. Studně a kesony se používaly dříve, dnes jsou již překonané.

### **3.2 ROZDĚLENÍ PILOT**

Podle příčného profilu

Maloprofilové (příčný rozměr od 0,3 m do 0,6m)  
Velkoprofilové (příčný rozměr od 0,6 m do 3m)

Podle sklonu

přímé  
svislé

Podle způsobu namáhání

tlačené  
tažené  
příčné zatížené (v kombinaci s tlakem či tahem)



Podle materiálu

betonové (PB, ŽB, z předpjatého betonu)

ocelové

dřevěné

**Piloty typu displacement – Ražené piloty** – zemina není z prostoru odstraněna, ale je roztlačena do stran nebo pod patu piloty

**Piloty typu replacement – Vrtané piloty** – zemina je z prostoru odstraněna

Piloty Vrtané

Piloty Ražené

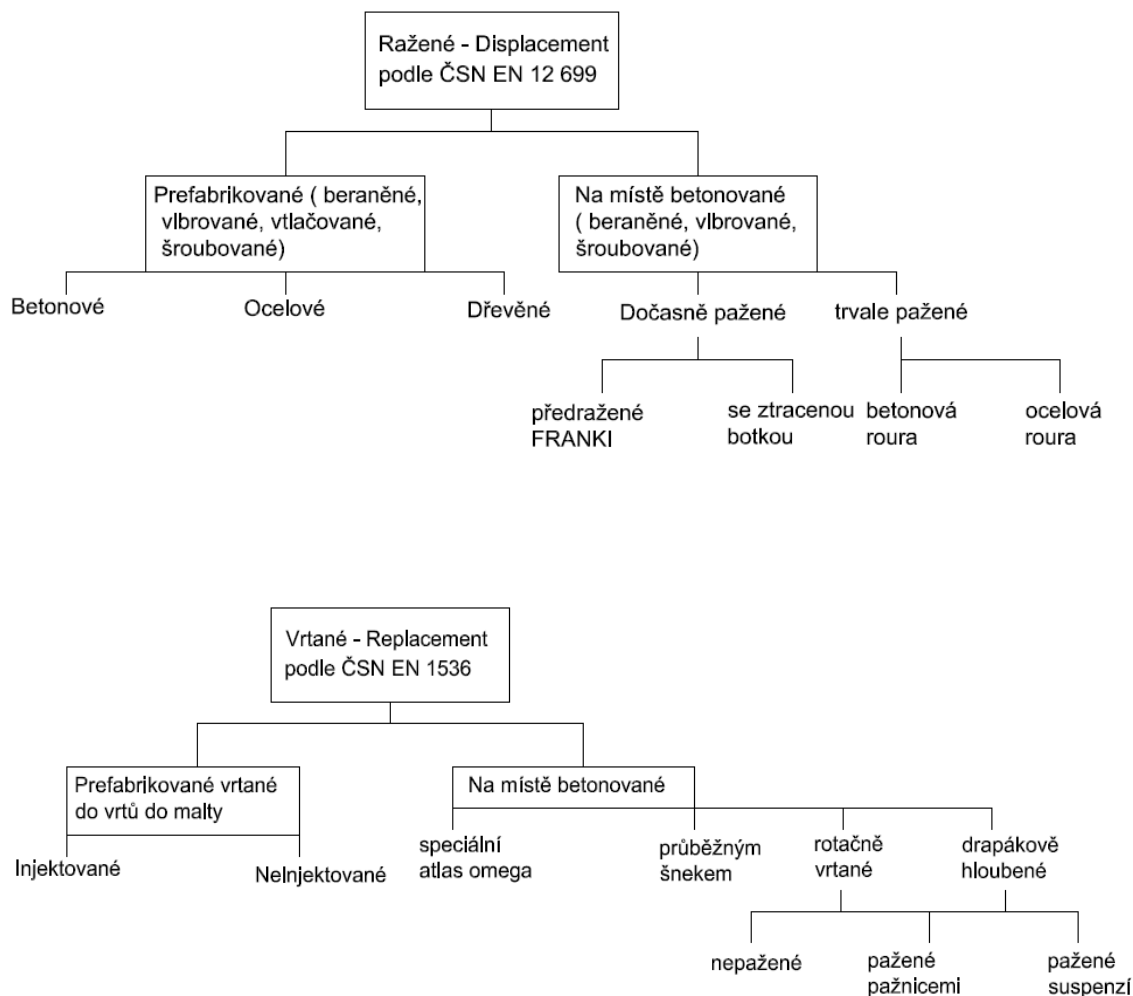
Mikropiloty

Speciální piloty (např. zmražené piloty)

Ostatní ( pilotové zdi, „soldier piles“, sheet piles“)

V České republice převládá na trhu pilot výrazně vyšší procento vrtaných pilot. Uvádí se, že ve 30. letech minulého století se na trhu pilot ustálil takový stav, kdy 70-75 % zaujaly piloty vrtané, 10-20% zaujaly předražené piloty Franki a zbytek (vibrotlakové piloty VIUS, ražené železobetonové prefabrikované) pak 5-10%. Dnes podíl vrtaných pilot na trhu ještě více prohloubil (až 95% všech pilot), vibrotlakové a železobetonové ražené naopak úplně vymizely. Je to dáno převážně geologickými podmínkami na našem území, které jsou velmi rozmanité. A také je časté, že se v relativně malé hloubce (10-20) m nachází únosná skalní hornina, do níž je možné piloty vetknout. Dalším aspektem je také výrazný rozvoj speciálních technologií vrtání (např. CFA)

Podrobnější dělení pilot je zahrnuto v normě ČSN EN 12 699.



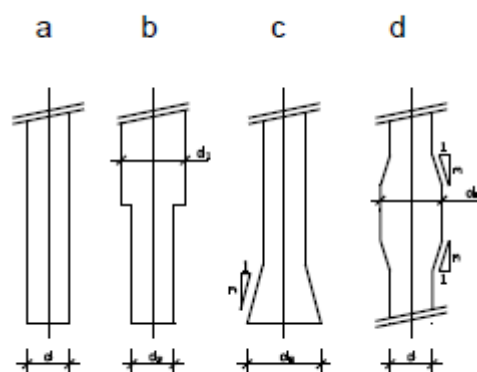
Obr. ř. 1 – řřéma rozdělení jednotlivých typů pilotů podle ČSN EN 12 699.

Jak bylo uvedeno, v České republice se používají převážně vřtané piloty nebo ražené piloty (Franki). Tyto technologie budou v následujících kapitolách více rozepsány. Jsou možné i jiné technologie, těmi se však tato diplomová práce nezabývá.

## 4 TECHNOLOGIE VRTANÝCH PILOT

V následující kapitole budou podrobněji popsány vrtané piloty, vzhledem k jejich výrazně vyššímu podílu v České republice.

Všechny důležité podklady pro návrh a provádění pilot jsou uvedené v normě ČSN EN 1536: Provádění speciálních geotechnických prací – Vrtané piloty (2009). Vrtané piloty jsou prováděny vrtáním a těžením. Nosný dřívík přejímá zatížení a omezuje deformace. Piloty mohou mít kruhový průřez, nebo mohou být tvořeny lamelami podzemních stěn.



Obr. č. 2 – tvary dřívků vrtaných pilot a) konstantní průřez b) teleskopický dřívík c) rozšířená pata d) rozšířený dřívík [1]

U vrtaných pilot je poměr štíhlostí  $L / D \geq 5$ . Piloty mohou být osamělé, skupinové, nebo použity jako opěrná a pažící konstrukce.

Vrty se provádějí technologií rotačně náběhového vrtání nebo drapákového hloubení (v balvanitých zeminách).

V závislosti na typu zeminy a sklonu piloty navrhuje piloty:

Nepažené

Pažené ocelovými pažnicemi

Pažené jílovou suspenzí

## 4.1 PAŽENÍ VRTŮ

Pažení ocelovými pažnicemi je základní a nejvíce používanou metodou zajištění stability vrtů s  $d \leq 1,50$  m. Používá se jednak tzv. černých (varných) ocelových rour (tl. stěny = 8-12mm), jednak speciálních spojovatelných ocelových pažnic (dvoupláštové, tl. 40 mm). Pažnice se instalují zavrtáním za pomoci vrtné soustavy, vibrováním nebo beraněním nebo pomocí oscilačních tzv. dopažovacích zařízení. Pažnice postupuje společně s hloubením vrtu, nebo hloubení předchází.

Pažení pomocí jílové suspenze – používá se, pokud si nevystačíme s ocelovými pažnicemi. Zajišťuje stabilitu stěn i dna vrtu kombinovaným účinkem hydrostatického tlaku a elektrochemických jevů – má za následek vznik „jílového ochranného koláče“ na stěně vrtu. Je – li jílová suspenze v klidu, přejde z tekutého stavu na gel => zvětší svou pevnost ve střihu. Mícháním přejde gel na tekutinu. Jílová suspenze se vyrábí z jílu, vody, popř. dalších přísad. Použití pro pažení lamel podzemních stěn.“

Pažení je nutné průběžně kontrolovat, aby v průběhu vrtání nevnikala do vrtu voda.

## 4.2 VRTNÉ NÁSTROJE

Obvyklými vrtnými nástroji při realizaci budoucích pilot jsou

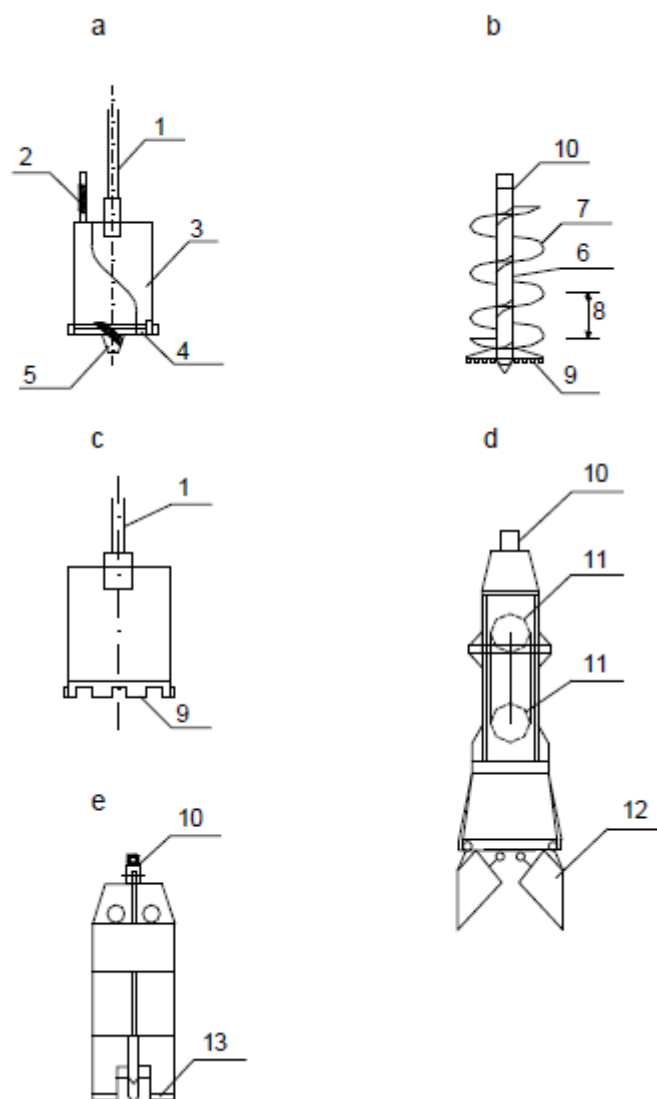
*Vrtný hrnec (šapa)* - vhodný pro písčité a štěrkopískové zeminy (suché i zvodnělé) a poloskalní hroniny.

*Vrtný šnek (spirál)* - vhodný pro soudržné zeminy

*Vrtací korunka* – vhodná pro provrtávání vložek skalních hornin

*Jednolanový drapák* – použití pro rozbíjení balvanů

*Dláto* – vhodné pro rozbíjení vrtných překážek



Obr. č. 3 – vrtné nástroje [1]

vrtný hrnec b) vrtný šnek c) vrtací korunka d) jednolanový drapák e) dláto

vytěžená zemina z vrtů se sype přímo na nákladní auta, nebo na terén v okolí vrtu.

### 4.3 PŘÍPRAVNÉ PRÁCE PŘED BETONÁŽÍ

Čištění vrtu

Kontrola délky vrtu

Čerpání podzemní vody

Armování ŽB piloty

Při realizaci pilot se musí dbát na to přestávka mezi dovtáním a zahájením betonáže byla co nejkratší.

Vrtané, na místě betonované piloty, se provádějí

PB

ŽB (armovaný po celé délce nebo jen v části)

S kotevní/spojovací výztuží

PB – pouze tlačené a v zeminách, které nejsou náchylné na ztrátu stability

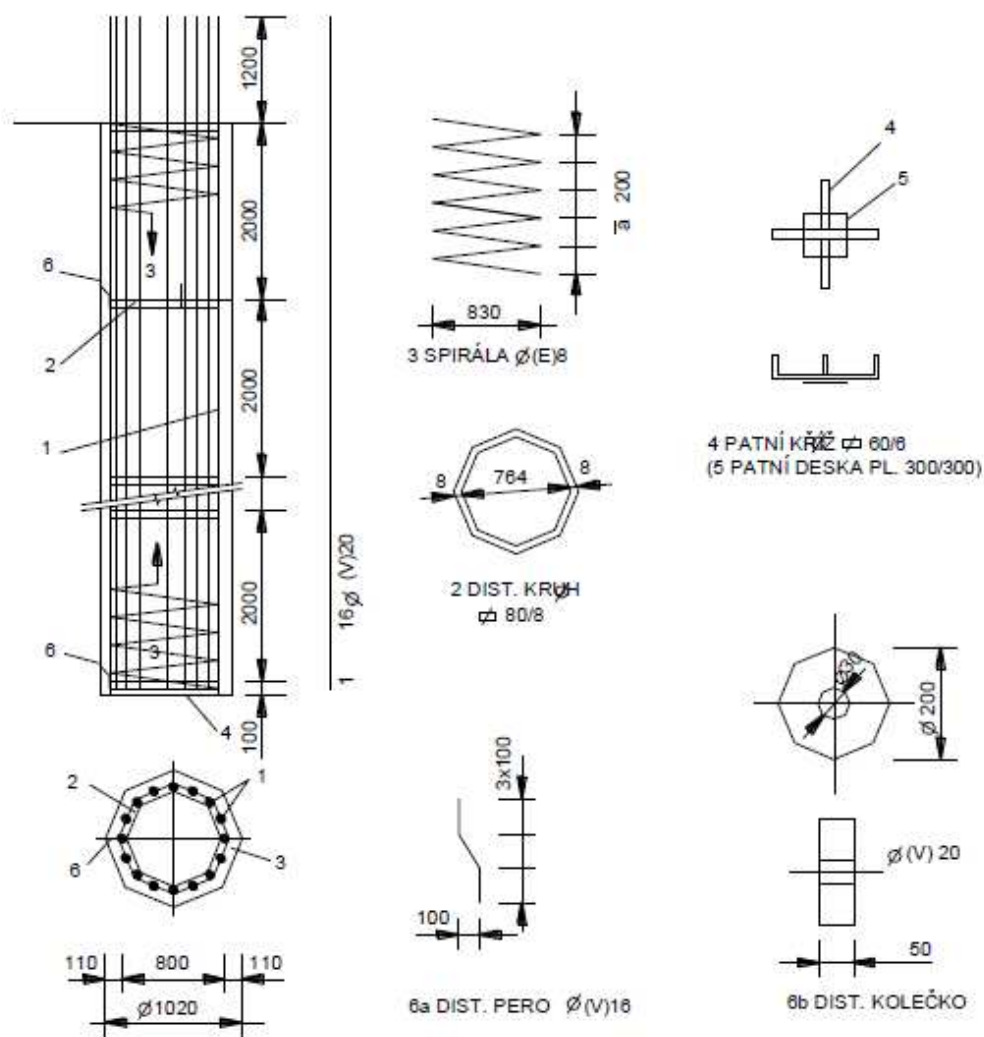
ŽB – **Armokoš** musí být dostatečně tuhý, skládá se z:

Podélné výztuže

Příčné výztuže

Pomocné výztuže

Krycí vrstva – pro  $d \leq 0,6$  m = 50 mm, pro  $d > 0,6$  m = 60 mm. U pilot pažených se krycí vrstva zvětšuje o tloušťku stěny pažnice, obvykle = 40 mm.



Obr. č. 4 – příklad Armokoše vrtané piloty [1]

1 – podélná nosná výztuž, 2 – distanční kruhy z ploché oceli 3 – příčná výztuž ve formě spirály 4 – patní kříž z ploché oceli 5 – patní deska z plechu, 6a – distanční deska ve formě háku, 6b – distanční kolečko z betonu, popř. z umělé hmoty

#### 4.4 BETONÁŽ VRTANÝH PILOT

Složení betonu by mělo v zásadě odpovídat požadavkům ČSN EN 206-1 Beton – Část 1. Třída betonu by měla být v rozmezí C16/20 až C30/37, nároky na vyšší třídu betonu nemají smysl. Pro dosažení požadovaných vlastností betonu je možné použít jako přísady do betonu plastifikátory, superplastifikátory a zpomalovače tuhnutí.

Betonáž může být prováděna

Za sucha ( pouze v případě, je – li vrt dostatečně suchý)

Pod vodou nebo pod pažící suspenzí

Betonáž se provádí pomocí betonážní roury s vnitřním průměrem 200 mm, a současně musí platit, že průměr je větší než osminásobek nejvyšší frakce kameniva

### ***Metoda contractor***

V případě betonáže pod vodou se používá metoda **Contractor**. Při této metodě se beton ukládá pomocí *sypákové* roury – ta je na horním konci opatřena násypkou trychtýřovitého tvaru, aby betonáž probíhala plynule. Největší příčný rozměr sypákové roury nemůže přesáhnout 35% průměru vrtu a zároveň 60% průměru armokoše. Před zahájením betonáže se sypáková roura spustí až na dno vrtu a opatří se vhodnou zátkou, jež zamezí promíchání betonu s kapalinou ve vrtu. Naplní se zcela betonem a povytáhne se o výšku rovnající se asi průměru roury. V dalším průběhu betonáže se sypáková roura pozvolna povytahuje, je třeba dbát na zásady, aby roura nebyla ponořena v betonu víc, než je povoleno.

Při betonáži do zapaženého vrtu je nutné hned po betonáži povytáhnout pažnice. Pokud je sloupec betonu dostatečně velký k vyvození potřebného přetlaku, který zabrání vniknutí vody nebo zeminy do vrtu, pažnice se začínají povytahovat již během betonáže. Pažnice se povytahují zvolna a sleduje se hladina betonu, může klesnout náhle v souvislosti se zaplněním zápažnicových kaveren. Hlavu piloty je pak nutné přebetnovat, aby hladina betonu neklesla po odpažení pod navrhovanou úroveň

## **4.5 DOKONČOVACÍ PRÁCE:**

Úprava hlavy piloty

Úprava výztuže piloty

Zřízení nadpilotové konstrukce



Důležité je dávat pozor na kvalitu betonu v hlavě piloty, poškozený beton je nutné odstranit.

***CFA – piloty prováděné průběžným šnekem ( CFA = Continuous flight augering)***

CFA technologie se používá od roku 1966 ve Velké Británii. Principem této technologie je provedení vrtu pomocí průběžného šneku, vrt je posléze zalit betonem. Jakmile se šnek vytáhne, vrt je posléze zalitý betonem a osazen výztuží.

Tato technologie je ve vhodném prostředí velice výhodná a několikanásobně zvyšuje produktivitu práce. Vhodným prostředím pro tuto technologii jsou jak nesoudržné zeminy ( $s_{Id} < 0,4$  a nestejnorodé –  $d_{60}/d_{10} > 2$ ), které neobsahují balvany, tak zeminy soudržné (kromě měkkých zemin a senzitivních jíílů (senzitivní jííl = forma citlivého mořského jíilu, který má silnou tendenci měnit tuhý stav na tekutý) a spraší), které neobsahují tvrdé, nevrátelné vložky.

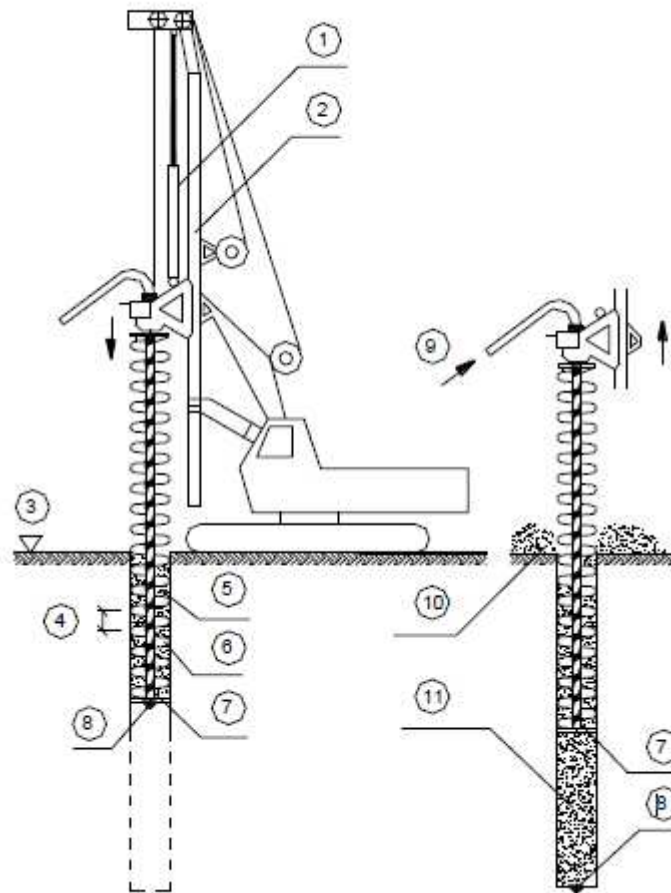
Velkou výhodou této technologie je, že není třeba vrt pažit. Stabilita stěn je zajištěna pomocí zeminy, která zůstává na závitech šneku. Délka šneku je rovna délce piloty. Vrtání šneku musí být rychlé, vrtná soustava musí mít dostatečný kroutící moment i tažnou sílu.

Provádění pilot CFA technologií má tyto fáze:

Nástroj se zavrtá do zeminy

Betonáž rourou – vybetonován prostor u paty piloty

Vytažení nástroje + odstranění zeminy



Obr. č. 5 – Technologie provádění CFA [1]

1 – přítlačný válec, 2 – věž vrtné soupravy, 3 – pracovní plošina 4 – výška závitů 5-  
rozrušená zemina 6 – průběžný šnek 7 – vnitřní roura 8 – zátka roury 9 – přívod betonu  
10 – vyvrtaná zemina 11 – beton piloty

## 5 TECHNOLOGIE RAŽENÝCH PILOT FRANKI

Přestože piloty typu displacement nejsou u nás tak běžné jako vrtané piloty, pořád představují k vrtaným pilotám určitou alternativu, proto bude i tento typ pilot v následující kapitole více rozebrán.

Metoda ražených pilot byla objevena v roce 1909 Belgickým inženýrem Edgardem Frankignoulem, který si na výrobu těchto pilot založil firmu. Ve 30. letech minulého století pak došlo k většímu rozšíření této metody do celé Evropy.

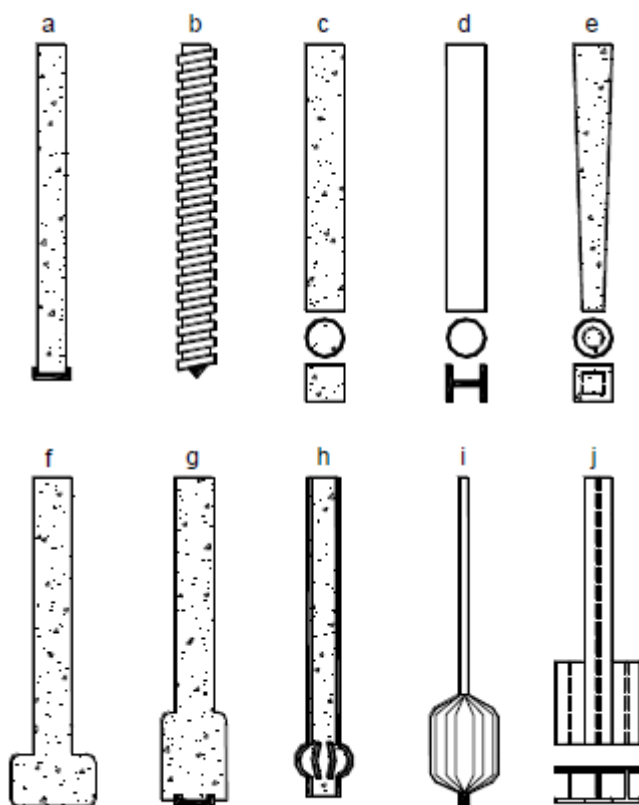
Materiály:

- Ocel
- beton
- ŽB
- předpjatý beton
- malta (injekční směs)
- dřevo
- kombinace

Piloty se instalují:

- Beraněním
- Vibrováním
- Zatlačováním
- Šroubováním
- Kombinací

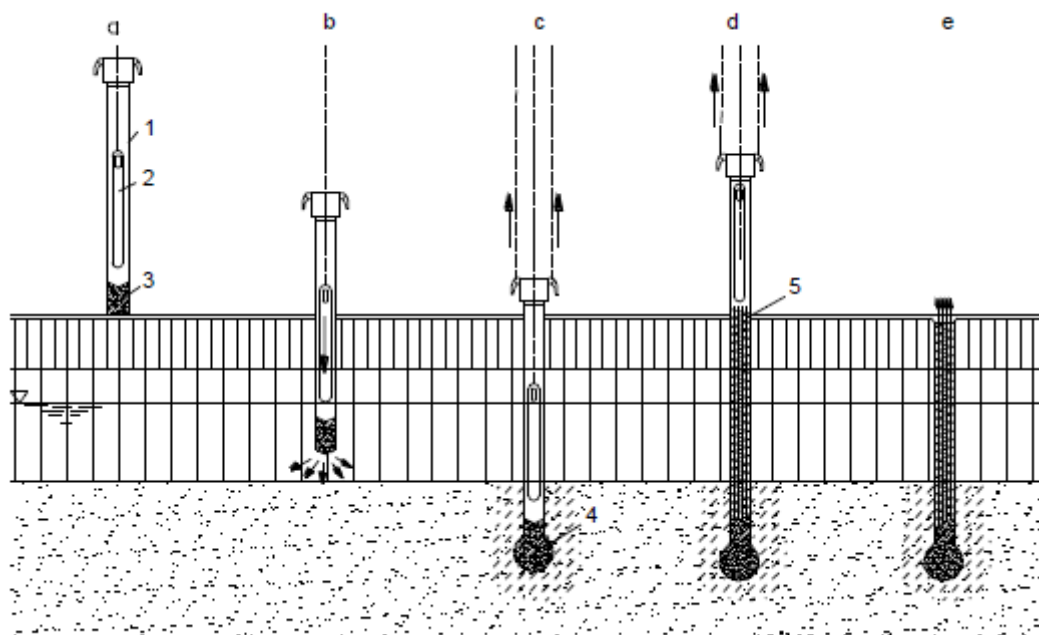
Typy ražených pilot:



Obr. č. 6 typy ražených pilot [1]

a - beraněná, na místě betonovaná pilota, b – šroubová na místě betonovaná pilota c . rozšířenou patou (předražena, Franki), c – prefabrikovaná, železobetonová pilota d – ocelová pilota (kruhová, H profil), e – prefabrikovaná, železobetonová kónická pilota ( kruhová nebo čtvercová, f na místě betonovaná pilota s rozšířenou patou ( předražena FRANKI), g – na místě betonovaná s rozšířením paty, h – na místě betonovaná s ponechanou pažnicí a s rozšířením paty, i – pilota s tě-lesem rozšiřujícím patu v měkké zemině, j – ocelová svařovaná s rozšířením paty

Technologický postup výroby klasické předražené piloty dobře ilustruje následující obrázek:



Obr. č. 7 – technologický postup výroby předražené Franki. [1]

a – ražení razící roury se zátkou, b – ražení piloty skrz neúnosnou zeminu c – vyražení zátky d – formování dřívku nevyztužené piloty e – hotová železobetonová pilota Franki

1 – razící roura, 2 – beran, 3 – betonová zátka (korek), 4 – rozšířená pata piloty, 5 - armokoš

K ražení pilot se nejčastěji používá silnostěnná ocelová razící roura, dlouhá cca 12 – 14m. Razící souprava neobsahuje hydraulické okruhy ani elektroniku, což je vzhledem k vystavení soupravy dynamickým účinkům velice výhodné

Piloty lze razit jak svislé, tak šikmé (do poměru 8:1). Největší frakce drceného kameniva použitého v betonu by neměla přesáhnout 22 mm.

Beton vytváří v dolní části roury zátku, která je hutněna pádem beranu o hmotnosti 1,5-5,5 tun. Razící roura vniká během beranění do základové půdy, beranění se sleduje vnik roury do základové půdy vzhledem k počtu úderů. Po dosažení únosné zeminy se razící roura vyvěsí pomocí lanových závěsů. Přidá se beton a dojde k vyražení zátky, dojde k formování „cibule“ pod patou piloty, jež má rozhodující vliv na únosnost. Pilota se

opatří armokošem, složeným z podélné výztuže (min  $\phi$  14), distančních kroužků a spirály. Následně se přidá další beton, který se hutní beranem pracujícím uvnitř armokoše.

## 6 VÝPOČET ÚNOSNOSTI PILOTY – ŘEŠENÍ PODLE DOC. MASOPUSTA

V následující kapitole jsou uvedeny principy výpočtu české normy podle doc. Masopusta. Tato metoda je založena na empiricko-analytickém základě. Doc. Masopust provedl velké množství zatěžovacích zkoušek, na jejímž základě stanovil pravidla popsaná v této kapitole. Tato metoda obsahuje velké množství parametrů a proměnných, které znesnadňují interpretaci jednotlivých výpočtových kroků.

Pilota musí vyhovět jak podmínkám pevnostním (1.MS), tak i podmínkám deformačním. Tato diplomová práce řeší a porovnává hlavně 2.MS pro pilot zahloubených do únosného podloží, protože se jedná o nejrozšířenější typ pilot. Pro přehlednost jsou zde ve stručnosti uvedeny i vztahy pro únosnosti pilot podle 1.MS a pro piloty opřené o nestlačitelné podloží – kapitoly 6.1 a 6.2.

### 6.1 ÚNOSNOST 1. MEZNÍHO STAVU DLE MASOPUSTA

Základní vztah pro posouzení pilot podle 1. MS je následující rovnice..

$$U_{vd} = U_{bd} + U_{fd} \geq V_d$$

$U_{vd}$  – celková svislá únosnost piloty

$U_{bd}$  – celková únosnost paty piloty

$U_{fd}$  – návrhová plášťové tření piloty

$V_d$  – celková vodorovná síla působící v hlavě piloty

$$U_{bd} = k_1 * A_s * R_d$$

$k_1$  - součinitel závislý na zvětšení únosnosti vlivem délky L

$A_s$  – plocha paty piloty

$R_d$  – návrhová únosnost paty piloty

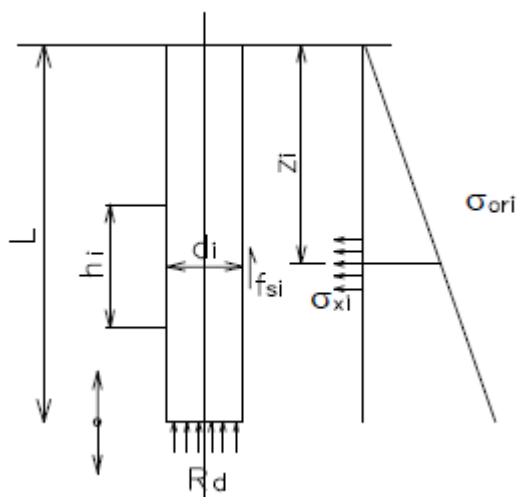
$$R_d = 1,2 c_d * N_c + (1 + \sin \varphi_d) * \gamma_1 * L * N_d + 0,7 * \gamma_2 * d / 2 * N_b$$

$N_c, N_d, N_b$  – součinitele závislé na úhlu tření

$$U_{fd} = \sum \pi \cdot d_i \cdot h_i \cdot f_{si}$$

$f_{si}$  – tření na plášti

$d_i, h_i$  – dle obrázku



Obr. č. 8 – statické schéma piloty pro stanovení únosnosti podle 1.MS [1]

## 6.2 NA ZÁKLADĚ 2. MEZNÍHO STAVU DLE MASOPUSTA

Následující kapitola se zabývá principy výpočtu 2. MS podle doc. Masopusta. Jsou zde uvedeny výpočtové vztahy pro piloty „pouze opřené“ a vetknuté do nestlačitelného prostředí.

### *Výpočtová únosnost pilot opřených o nestlačitelné podloží*

Jedná se o vrtané piloty opřené patou o skalní horniny, resp. zahloubené do této vrstvy o tloušťce  $t = 0,1 - 0,2$  m.

$$U_{vd} = 0,8 \cdot A_s \cdot R_{bd}$$

$U_{vd}$  – svislá návrhová únosnost piloty

$R_{bd}$  – výpočtová únosnost betonu v tlaku (závislá na třídě betonu)



U vrtaných pilot se neuvažuje s efektem vzpěrné pevnosti.

Okamžité sedání je dáno vztahem:  $s = I_{sp} * V * L / (A_s * E_b)$

$I_{sp}$  – příčinkový koeficient pro sedání piloty

$V$  – působící svislá síla

$E_b$  – modul deformace (pružnosti) betonu,

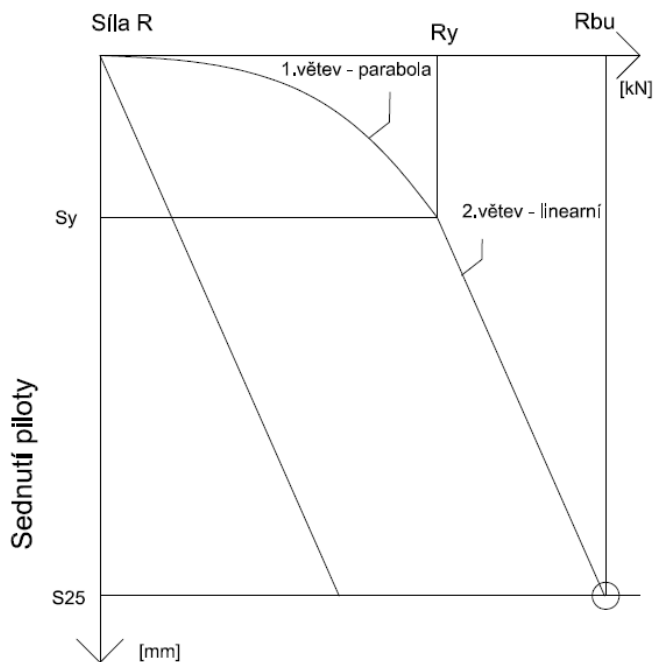
$E_s$  - je průměrná velikost sečnového modulu deformace zemin podél dřívku pilot

### ***Výpočtová únosnost pilot zahloubených do stlačitelného podloží – princip mezní zatěžovací křivky***

Výpočtová únosnost pro 2. MS pilot zahloubených se odvíjí od mezní zatěžovací křivky, což je křivka vyjadřující závislost působící síly a sedání piloty. Křivka je zobrazena na obr. č. 9. Křivka obsahuje důležité body a má dvě větve.

První větev má tvar paraboly a zde se postupně aktivuje tření na plášti. Po dosažení síly  $R_y$  (resp. sednutí  $s_y$ ) se již plášťové tření plně aktivovalo. Ve druhé větvi křivky se s rostoucím sedáním plášťové tření již nezvyšuje. Narůstá již pouze únosnost paty piloty, a to tak, že lineárně.

Zbylým významným bodem je únosnost piloty  $R_{bu}$ , která je brána jako únosnost při mezním sednutím  $s_{25}$ =sednutí 25mm. Tato hodnota byla zvolena na základě zkušeností. Na křivce jsou znázorněny i složky  $R_{pu}$  a  $R_{su}$ .  $R_{bu} = R_{pu} + R_{su}$ .



Obr. č. 9 – mezní zatěžovací křivka [1]

### 6.3 VÝPOČET PILOT DLE DOC. MASOPUSTA

V rámci aplikace metody dle Doc. Masopusta byly do programu GEO 5 byly zadány piloty jednotlivých délek (5 ; 7,5 ; 10 a 15 m) a průměrech (0,75 ; 0,92 a 1,22 m). Piloty byly simulovány do podloží soudržných i nesoudržných zemín. Jako vzorová nesoudržná zemina byl vybrán písek tř. S1 o index ulehlosti  $I_d = 0,5 ; 0,75$  a  $1,0$ . Jako vzorová soudržná zemina byla vybrána hlína tř. F1 o stupni konzistence  $I_c = 0,75$  a  $I_c = 1,0$ .

Pro výpočet byl zvolen návrhový přístup 2 - redukce zatížení a odporu. Pro jednotlivé zeminy a modely pilot byly zadány regresní koeficienty a,b,e a f podle tabulky 1 sečnový model  $E_s$  podle tabulky 2. Program GEO 5 provedl výpočet dle zmíněných vztahů pro 1.MS a pro 2. MS. Výstupem z programu GEO 5 byly hodnoty  $R_y$ ,  $S_y$ ,  $R_{pu}$  a  $R_{su}$ , které se vypočtou podle následujících vztahů.

$R_{su}$  – mezní plášťové tření piloty

$$R_{su} = m_1 * m_2 * \pi * \sum d_i * h_i * q_{si}$$

$h_i$  - mocnost příslušné vrstvy

$m_1$  – dílčí koeficient podle druhu zatížení;

$m_2$  – dílčí koeficient vyjadřující vliv povrchu dřívku piloty

$q_{si}$  – plášťové tření piloty

$$q_{si} = a - b / (D_i/d_i)$$

$a, b$  – regresivní koeficienty dle tabulky

$D_i$  vzdálenost hlavy piloty do poloviny vrstvy dle obr. č.2;

$d$ -průměr piloty

**$q_0$  – velikost napětí na patě**

$$q_0 = e - f / (L/d_0)$$

$e, f$  - regresivní koeficienty dle tabulky,

$L$  – délka piloty,

$d_0$ =průměr piloty v patě.

V tabulkách č. 1 – 3 jsou uvedeny regresní koeficienty  $a, b, e$  a  $f$  pro jednotlivé typy zemín, sečnové moduly  $E_s$  pro jednotlivé délky a průměry pilot. Všechny tyto veličiny mají významný vliv na výsledný tvar mezní zatěžovací křivky.

Zemina Hornina		Regresní koeficienty [kPa]			
		a	b	e	f
poloskalní	R 3	246,02	225,95	2 841,31	1 298,96
	R 4	169,98	139,45	1 616,22	1 155,34
	R 5	131,92	94,96	957,61	703,89
hrubozrnné	$I_D = 0,5$	62,46	16,06	268,11	174,89
	$I_D = 0,7$	91,22	48,44	490,34	445,42
	$I_D = 0,9$	154,03	115,88	1 596,70	1 399,88
jemnozrnné	$I_C = 0,5$	46,39	20,81	197,74	150,22
	$I_C = 0,75$	71,85	64,70	592,67	617,24
	$I_C \geq 1,0$	97,31	108,59	987,60	1 084,26

Tab.1 – velikost regresních koeficientů pro jednotlivé typy zemín [1]

h [m]	d [m]								
	0,6			1,0			1,5		
	I <sub>D</sub>								
	0,5	0,7	0,9	0,5	0,7	0,9	0,5	0,7	0,9
1,5	11,0	13,7	28,3	12,8	15,8	30,6	13,0	15,3	29,0
3	15,5	20,2	44,5	18,4	25,0	47,8	19,4	24,5	52,5
5	18,8	26,6	56,1	22,8	32,5	69,1	24,5	36,0	78,2
10	23,8	36,6	72,1	29,8	47,8	93,4	32,6	54,0	107,3

Tab 2. – velikost sečnových modulů Es [MPa] pro hrubozrnné zeminy [1]

h [m]	d [m]								
	0,6			1,0			1,5		
	I <sub>C</sub>								
	0,5	0,75	≥ 1,0	0,5	0,75	≥ 1,0	0,5	0,75	≥ 1,0
1,5	6,9	10,0	13,2	7,9	10,7	13,4	8,6	10,5	12,3
3	10,0	15,5	22,0	12,5	18,6	23,9	13,7	18,4	23,0
5	12,5	21,9	31,2	15,9	25,7	35,4	18,4	27,6	36,7
10	15,5	29,9	44,3	21,3	36,3	51,3	24,6	41,0	57,4

Tab 3. – velikost sečnových modulů Es [MPa] pro jemnozrnné zeminy [1]

R<sub>y</sub> – síla na mezi sednutí s<sub>y</sub>

$$R_y = R_{su}/(1-\beta)$$

β – koeficient přenosu zatížení do paty piloty

$$\beta = q_0 / (q_0 - 4 \cdot q_s' \cdot L/d_0)$$

q<sub>s</sub>' – průměrná velikost plášťového tření podél dří piloty

$$q_s' = (\sum d_i \cdot h_i \cdot q_{si}) / (\sum d_i \cdot h_i)$$

s<sub>y</sub> - Odpovídající hodnota sedání při síle R<sub>y</sub>

$$s_y = I \cdot R_s / (d \cdot E_s)$$

$E_s$  - průměrná velikost sečnového modulu deformace zemin podél dřívku piloty, viz tabulka 2 a 3.

$I$ ...příčinkový koeficient sedání piloty – viz. graf 1

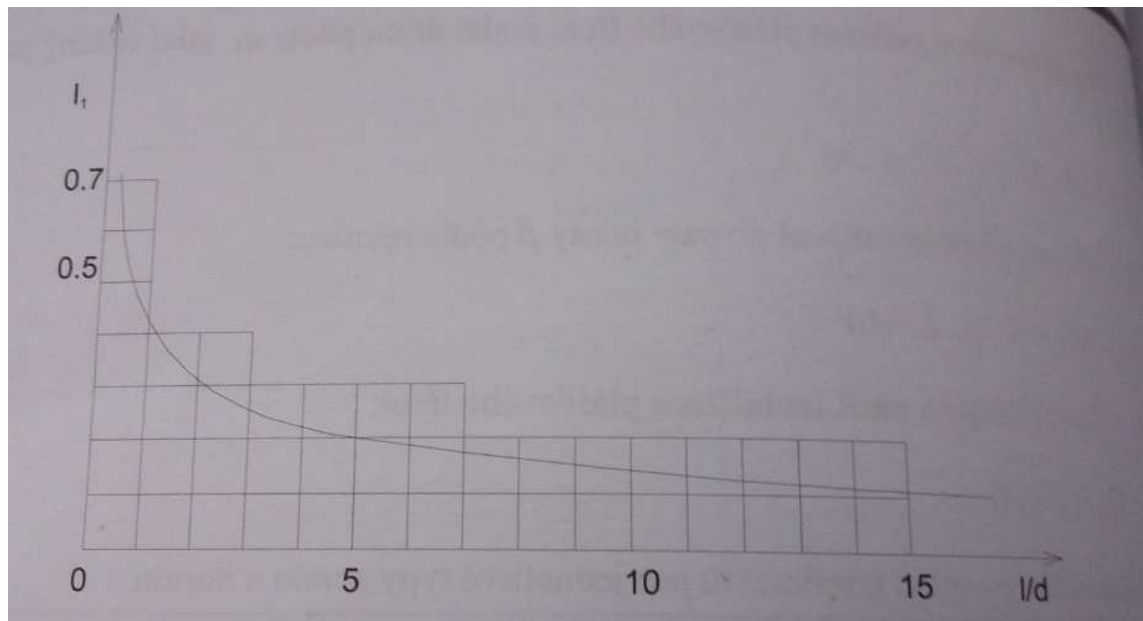
$$I = I_1 R_k$$

$I_1$ ...základní příčinkový koeficient dle grafu

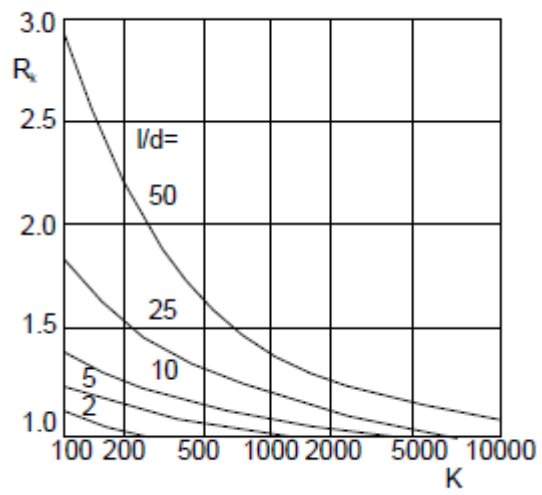
$R_k$ ...korekční součinitel viz. graf 2 vyjadřující vliv tuhosti pilot  $K$  a štíhlostní poměr  $L/d$

$$R_{pu} = \beta \cdot R_y \cdot s_{25} / s_y$$

$$R_{bu} = R_{pu} + R_{su}$$



Graf 1 – příčinkový koeficient  $I_1$  [1]



Graf 2 – korelační součinitel  $R_k$  [1]

## 7 NĚMECKÁ NORMA DIN

### 7.1 TABULKY

Zatímco v případě české normy (dle doc. Masopusta) je rozhodující působící síla (únosnot), tak podle rakouské a německé normy je rozhodující tření na plášti resp. únosnost  $q_{sk}$  na patě. Její hodnoty jsou uvedené v následujících tabulkách 5.12 – 5.15. Hodnoty mají jednotku  $kN/m^2$ , a jsou závislé na poměru  $s/D$  (sedání/průměr piloty) a hodnotě odporu při penetraci na špici  $q_c$  [ $MN/m^2$ ] pro nesoudržné zeminy (tabulky 5.12 a 5.13) nebo smykové pevnosti neodvodněné půdy  $c_u$  [ $MN/m^2$ ] (tabulky 5.14 a 5.15) pro soudržné zeminy.

Hodnoty v tabulkách platí za předpokladu, že níže únosná vrstva je větší jak  $3xD$  (popř. 1,5m pod patou) a je prokázáno  $q_c=7,5MN/m^2$ , s tím, že doporučené  $q_c = 10MN/m^2$ .

$s/D_s$	CPT – $q_{bk}$ 7,5	CPT - $q_{bk}$ 15	CPT - $q_{bk}$ 25
<b>0,02</b>	500-800	1050-1400	1750-2300
<b>0,03</b>	700-1050	1350-1800	2250-2950
<b>0,1</b>	1600-2300	3000-4000	4000-5300

Tabulka 5.12. – hodnoty pro napětí na patě u nesoudržných zemin

střední odpor na špici $q_c$	Plášťové tření $q_{bk}$
<b>7,5</b>	55-80
<b>15</b>	105-140
<b>&gt;25</b>	130-170

Tabulka 5.13. – hodnoty pro plášťové tření u nesoudržných zemin

s/Ds	CPT cu,k		
	100	150	250
<b>0,02</b>	300-450	600-750	950-1200
<b>0,03</b>	450-550	700-900	1200-1450
<b>0,1</b>	800-1000	1200-1500	1600-2000

Tabulka 5.14. – hodnoty pro napětí na patě u soudržných zemin

Neodvodněná pevnost zeminy - cuk	Plášťové tření qsk
<b>60</b>	30-40
<b>150</b>	50-65
<b>&gt;250</b>	65-85

Tabulka 5.15. – hodnoty pro plášťové tření u nesoudržných zemin

Podrobnosti pro smíšené zeminy (tj. soudržné a nesoudržné) jsou uvedené v EC 7-1.

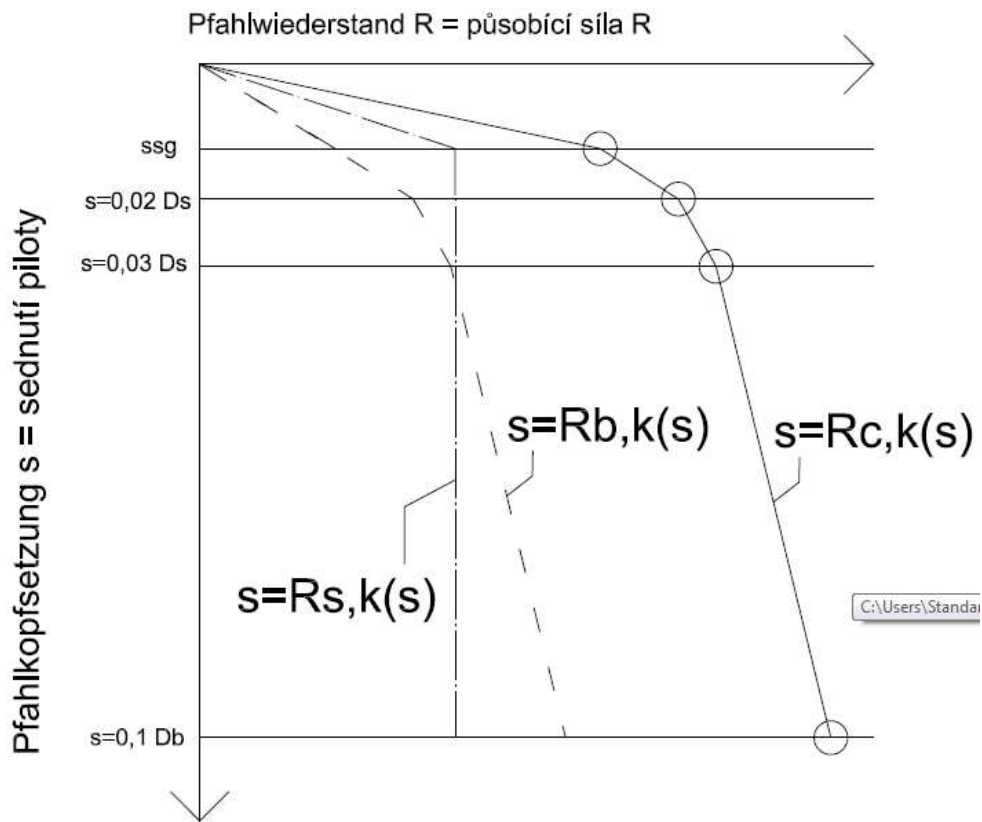
Tabulky vycházejí z ulehlosti „Lagerungsdichte D“. Převody mezi „Lagerungsdichte D“ a relativní ulehlostí  $D_r$  (= indexem  $I_d$ ) jsou uvedeny v kapitole 8.4.

## 7.2 MEZNÍ ZATĚŽOVACÍ KŘIVKA

Stejně jako v ÖNORM, tak v německé se neuvádí sedání, ale poměr  $s/D_b$  (sedání/průměr piloty).

Stejně jako v případě normy podle Masopusta, tak i německá norma má mezní zatěžovací křivku. Jsou uvedeny jednotlivé empirické hodnoty pro  $s/D = 0,02$ ;  $s/D = 0,03$  a  $s/D = 0,1$ . Tyto hodnoty jsou platné pro  $0,3\text{m} < D < 3,0\text{m}$ , přičemž hloubka musí být alespoň 2,50m. Hloubka je ostatně zahrnutá v CPT testu, protože s hloubkou stoupá tuhost zeminy (u soudržných zemin). Tyto požadavky modely pilot splňují.





Obr.1 – německá mezní zatěžovací křivka.

Důležité jsou body na mezi  $s=0,02 Ds$ ;  $s=0,03 Ds$ ; a  $0,1Db$  a  $Ssg$ .

$Ssg$  je bod, kde se již plně aktivovala plášťové tření, a další průběh tedy závisí již pouze na únosnosti paty, je ekvivalentní s bodem  $s_y$  ve výpočtu podle Masopusta.  $Ssg$  se vypočte se podle vzorce  $ssg=0,5 * Rsk [MN] + 5 < 30 \text{ mm}$ ,

$Rsk (s)$  je právě síla, která působí až do sednutí při vyčerpání únosnosti na plášti.

$Rc,k (s)$  – celková síla, která působí až do sednutí při vyčerpání únosnosti v tlaku („Druckpfahlwiderstand“),  $Rc,k = Rb,k + Rs,k$

$Rb,k (s)$  – síla, která působí až do limitního sednutí  $s = 0,1 * Db$

Na křivce jsou uvedeny různé indexy.  $s/Ds = 0,02$  a  $0,03$  a  $s/Db = 0,1$ . Rozdíl těchto indexů je pouze v předpokladu, že v místě paty piloty dochází k rozšíření průměru.

V případě této diplomové práce je průměr uvažován po celé délce konstantní, a tak uvažujeme, že  $D_s = D = D_b$ .

Ostatní hodnoty ležící mimo významné body je možné lineárně interpolovat. U hodnot pro sedání vyšších jak 0,1D je pak mezní únosnost konstantní. Rovněž tedy německá norma připouští sedání větší než 25mm.

### 7.3 CONE PENETRATION TEST

Zatímco u České normy je rozhodujícím kritériem index ulehlosti  $I_d$  u nesoudržných zemin a stupeň konzistence  $I_c$  u soudržných zemin, v německé normě DIN jsou rozhodujícím kritériem hodnota ulehlost  $D$  („lagerungsdichte“) ze zkoušky Cone penetration test („zkouška penetrace kuželem“).

Cone Penetration test je zkouška, která je prováděna přímo v terénu a slouží k získání některých parametrů zeminy. Byla objevená v roce 1950 v Nizozemských laboratořích mechaniky zemin (někdy je tato zkouška nazývána i „Dutch penetration test), je to metoda, která je dodnes populární po celém světě.

#### *Průběh zkoušky*

Ke zkoušce je potřeba tzv. kuželový penetrometr („cone penetrometer“), na jehož konci leží vzorový kužel („cone“). Zbytek část zařízení tvoří „trubka“ (sleeve), ležící nad kuželem podle obrázku. Kužel je zatlačen do země o určité rychlosti (nejčastěji mezi 1,5-2,5 cm/s). Hodnoty měření vycházejí z odporu zeminy vůči penetraci kužele, a někdy i z odporu tření „trubky“. Průřez kužele je mezi 10-15 cm<sup>2</sup>.

Důležitými vstupy a výstupy z CPT jsou:

- $Q_c$  – celková síla působící na kužel
- $A_c$  – projektovaná plocha kuželu
- $q_c$  – odpor kuželu vůči zemině („cone resistance“)
- $F_s$  – celková síla působící na „trubku“
- $A_s$  – plocha tření „trubky“

$f_s$  – odpor vůči tření trubky („sleeve friction“)

$u_1, u_2, u_3$  – tlak pórů, umístění podle obr.

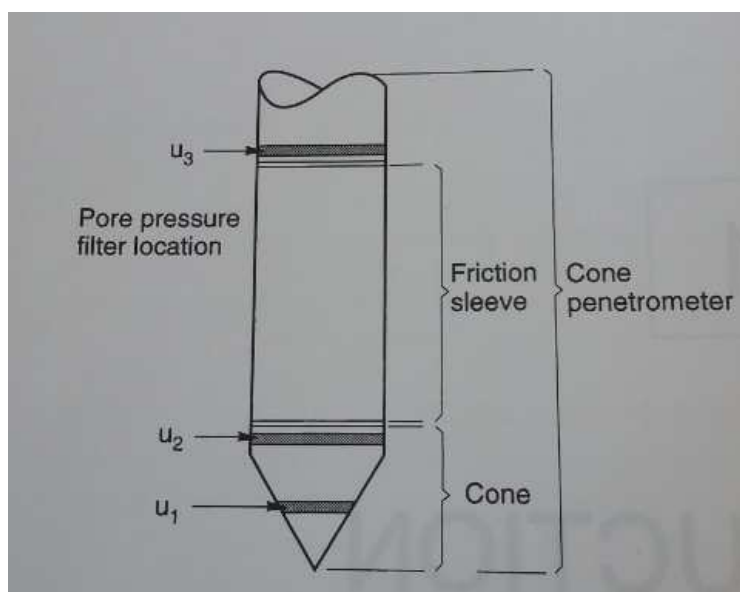
Účelem CPT testu je určení:

Geologické struktury zkoumaného místa

Režim podzemních vod

Fyzikální a mechanické vlastnosti zkoumané oblasti

(Rozdělení a složení nečistot)



Pro úspěšné provedení CPT Testu je celkem zapotřebí: [3]

Kuželový penetrometr

stlačovací zařízení („Pushing equipment“, nejčastěji CPT Truck)

Měřicí zařízení

Zkouška se provádí z povrchu v místě vrtu, kužel je často připojen k měřicímu vozídlu (tzv. „CPT truck“). Kužel a „trubka“ (Cone and sleeve) jsou tedy zatlačeny do země, a měřicí přístroje přitom ukazují odpor zeminy. Tento proces je pro stejnou hloubku poté několikrát opakován.

### *Korelace výsledků*

Pro nesoudržné zeminy použijeme převody z následující tabulky. Grundbau-Taschenbuch: Teil 2.

Spitzerwiderstand $q_c$ MPa	Bezogene Lagerungsdichte D	Bezeichnung
<2,5	<0,15	sehr locker (= velmi kyprý)
2,5-7,5	0,15-0,35	locker (= kyprý)
7,5-15	0,35-0,65	Mittedicht (= "polotuhý")
15-25	0,65-0,85	Dicht (tuhý)
>25	>0,85	Setr dicht (= velmi tuhý)

Z následující tabulky se tedy dá vyčíst, že:

Hodnotě odporu na špici kužele  $q_c = 7,5 \text{ MN/m}^2$  odpovídá ulehlost zeminy  $D = 0,35$

Hodnotě odporu na špici kužele  $q_c = 15 \text{ MN/m}^2$  odpovídá ulehlost zeminy  $D = 0,65$

Hodnotě odporu na špici kužele  $q_c = 25 \text{ MN/m}^2$  odpovídá ulehlost zeminy  $D = 1,0$ .

A výsledné hodnoty se mezi tím interpolují.

Pro soudržné zeminy existuje na základě vědeckých článků několik možností převodu podle následující tabulky.

Tabelle 3. Vergleich der neuen Beziehung  $I_C$  zu  $c_u$  mit Normen und Veröffentlichungen  
 Table 3. Comparison of the new  $I_C$  to  $c_u$  relationship with existing standards and publications

Konsistenzgrenzen und Konsistenzbereiche	Konsistenz-zahl $I_C$ [1]	Bezugs-gerade (Bild 5)	Kézdi, 1969 [16]	Schuppener Kiebusch, 1988 [9]	P.I.A.N.C., 1984 [17] Head, 1994 [18]	Wroth/ Wood, 1978 [13]	Schweizer Norm, 1992 [19]
FlieÙgrenze $w_L$	0	2	–	5	–	1,7	–
breiig	0–0,25	2–6	< 12,5 sehr weich	5–15	< 20 very soft	–	< 12,5 sehr weich
sehr weich	0,25–0,50	6–20	12,5–25	15–35	20–40 soft	–	12,5–25 weich
weich	0,50–0,75	20–60	25–50 mittel	35–80	40–75 soft-firm	–	25–50 mittelsteif
steif	0,75–1,00	60–200	50–100	80–200	75–150 firm-stiff	–	50–100 mittelsteif-steif
Ausrollgrenze $w_P$	1,00	200	100	200	150	170	100
halbfest	1,00–1,25	200–600	100–200 sehr steif	200–400	> 150 very stiff or hard	–	100–200 hart
Schrumpfgrenze $w_S$	1,25	600	200	400	–	–	200
fest	> 1,25	> 600	> 200 hart	> 400	–	–	> 200 sehr hart

Obr.2 – převodní tabulky ze smykové pevnosti  $C_u$  na stupeň konzistence C [5]

V této tabulce je popsáno několik v praxi již úspěšně používaných metod, které mají empirický základ. Novinkou jsou hodnoty v prvním sloupci (Bezugsgerade), kde na rozdíl od ostatních metod byly provedeny zatěžovací zkoušky na neporušených vzorcích, tudíž se očekávají výsledky nejbližší realitě, nicméně tato metoda prozatím není ověřená praxí.

V případě této diplomové práce budeme brát hodnoty ze třetího sloupce (Schuppener Kiebusch, 1988), kde jsou mezní hodnoty mezi jednotlivými konzistenčními stavy podobné hodnotám v německé normě DIN, není tedy nutné všechny hodnoty interpolovat.

## 8 ÖNORM

### 8.1 ÚVOD

Stejně jako v německé normě DIN, v rakouské normě jsou hodnoty pro napětí na patě  $q_{bk}$  a pro plášťové tření  $q_{sk}$  uvedené v jednotlivých tabulkách C3 – C7. Hodnoty jsou výsledky zavedené na základě zkušeností nebo jako výsledky zkoušek. Hodnoty z těchto tabulek se berou vždy, pouze pokud nebyla pro daný případ provedena zatěžovací zkouška.

Hodnoty jsou brány v případě, kdy

- nedošlo k rozšíření paty piloty
- byl proveden důkladný průzkum podzemní vody
- model podloží je jasně definován
- je splněna podmínka minimální délky piloty ( $L > 5 \text{ m}$ ,  $L > 5 \times D$ )
- pilota je do podloží vetknutá, minimální délka vetknutí je uvedena v tabulce C2 a C3

Hodnoty v tabulkách vylučují zakládání na velmi kyprých a velmi měkkých zeminách.. Hodnoty z tabulek C4 – C7 závisí na  $D$  („lagerungsdichte“ = ulehlost -  $D = (n_0 - n)/(n_0 - n_d)$ ), jsou vyjádřené jako  $N_{30}$  ze statické dynamické zkoušky.

Stejně jako v České normě, i v rakouské normě je rozhodující veličinou popisující zeminové prostředí ulehlost  $D$  („lagerungsdichte). Převody mezi indexem ulehlosti  $I_d$ , stupněm konzistence  $I_c$  a ulehlostí  $D$  jsou uvedeny v kapitole 7.3

Lagerungsdichte = ulehlost	$N_{30}$ – z SPP zkoušky	Minimální délka vetknutí podloží
<b>Velmi hutněný</b>	Nad 50	D
<b>Hutněný</b>	30 - 50	2D
<b>Průměrně ulehlý</b>	10 - 30	3D

Tabulka C2 – tabulka pro minimální délku vetknutí v podloží u nesoudržných zemin

<b>konzistence</b>	<b>Minimální délka vetknutí podloží</b>
<b>Polotuhá až tuhá</b>	<b>D</b>
<b>tuhá</b>	<b>2D</b>

Tabulka C3 – tabulka pro minimální délku vetknutí v podloží u soudržných zemin

<b>S/Db</b>	<b>Středně tuhá</b>	<b>Tuhá</b>	<b>Velmi Tuhá</b>
<b>0,005</b>	0,30	0,40	0,50
<b>0,01</b>	0,55	0,80	1,00
<b>0,02</b>	1,05	1,40	1,75
<b>0,03</b>	1,35	1,80	2,25
<b>0,05</b>	1,90	2,50	2,95
<b>0,075</b>	2,50	3,10	3,55
<b>0,1</b>	3,00	3,50	4,00

Tabulka C4 – hodnoty únosnosti na patě q<sub>bk</sub> pro nesoudržné zemin

<b>S/Db</b>	<b>Tuhý</b>	<b>Velmi tuhý</b>	<b>Polopevný</b>	<b>Pevný</b>
<b>0,005</b>	0,10	0,15	0,25	0,30
<b>0,01</b>	0,15	0,30	0,45	0,60
<b>0,02</b>	0,35	0,60	0,90	1,20
<b>0,03</b>	0,45	0,80	1,15	1,50
<b>0,05</b>	0,60	1,10	1,60	2,10
<b>0,075</b>	0,70	1,40	2,00	2,60
<b>0,1</b>	0,80	1,50	2,20	3,00

Tabulka C5 – charakteristická únosnost plášťového tření q<sub>sk</sub> pro nesoudržné zemin

Lagerungsdichte = ulehlost	Charakteristická hodnota qsk – MS použitelnosti	Charakteristická hodnota qsk – MS únosnosti
<b>Kyprý</b>	0,030	0,045
<b>Středně ulehlý</b>	0,050	0,075
<b>Tuhý</b>	0,070	0,105
<b>Velmi tuhý</b>	0,120	0,180

Tabulka C6 – hodnoty únosnosti na patě qbk pro soudržné zeminy

Konzistence	Charakteristická hodnota qsk – MS použitelnosti	Charakteristická hodnota qsk – MS únosnosti
<b>Měkký</b>	0,010	0,015
<b>Tuhý</b>	0,020	0,030
<b>Velmi tuhý</b>	0,035	0,052
<b>Pevný</b>	0,050	0,075
<b>Velmi pevný</b>	0,070	0,105

Tabulka C7 - charakteristická únosnost plášťového tření qsk pro soudržné zeminy

## 8.2 SPT – STANDARD PENETRATION TEST

STP je dynamická penetrační zkouška prováděná v terénu. Používá se „silnostěnná vzorová trubice“ („thick-walled sample tube“), jejíž vnější průměr je roven 50,8 mm a vnitřní průměr 35 mm, celková délka je rovna 650 mm. Ta je zatlačena na dno údery silného kladiva o hmotnosti 63,5 kg, které dopadá z výšky 60 mm. Vzorová trubice je zavrtána do země do hloubky 150 mm, zaznamenává se počet úderů, kterým se trubice posune o dalších 150 mm („6 in“) a do hloubky 450 mm („18 in“). Počet úderů k překonání dalších 150 mm se nazývá tzv. „standartní penetrační odpor“ nebo tzv. „N –



hodnota“, ze které některé hodnoty v ÖNORM vychází. Pokud je počet úderů na překonání 150 mm větší než 50, zapíše se 50.

Hlavní význam zkoušky je určení relativní ulehlosti u písků a štěrků, u kterých je velice náročné udělat vrt a získat tím neporušené vzorky. Zkouška je ve světě rozšířená, její výhodou je jednoduchost a nízká cena.

Účelové použití výsledků pak závisí hlavně na typu zeminy, nejjemnější písky dávají nejpřesnější výsledky, hrubší písky pak dávají výsledky, které je třeba odůvodnit. Zkouška je nevhodná pro soudržné zeminy a jíly. Výsledky ze zkoušky zde neodpovídají reálnému chování zeminy.

Problémem STP je ten, že je zde nutné obnovení velmi narušeného vzorku, který není obvykle vhodný pro měření dalších pevnostních charakteristik. Aby se předešlo této nevýhodě, probíhá měření s větším vzorkovačem s lehce odlišným tvarem. Výsledek se však počítá, a tudíž není jednoduché najít správnou konverzi mezi STP a hodnotou N-30, ačkoliv již bylo navrženo mnoho postupů. Mnoho z nich se odvíjí od typu zeminy.

## 9 VYHODNOCENÍ VÝPOČTU MODELOVÝCH PILOT PODLE JEDNOTLIVÝCH NOREM

### 9.1 PŘEVODY A POSTUP VÝPOČTU PODLE MASOPUSTA

#### *Upravení veličin*

Zatímco v případě české normy (dle doc. Masopusta) je rozhodující působící síla (únosnot), tak podle rakouské a německé normy je rozhodující tření na plášti (únosnost  $q_{sk}$  na patě). Pro porovnání jednotlivých norem je tedy nutný převod výsledené svíslé síly (únosnosti piloty) s jednotkou kN, na plošné zatížení s jednotkou kN/m<sup>2</sup>.

Síla na plášti  $R_s$

$$R_s = 2 \cdot \pi \cdot R \cdot L \cdot q_{sk}; \Rightarrow q_{su} = R_s / (2 \cdot \pi \cdot R \cdot L)$$

Síla na patě  $R_p$

$$R_p = \pi \cdot R^2 \cdot q_{pk} \Rightarrow q_{bu} = R_p / (\pi \cdot R^2)$$

#### *Postup výpočtu pro první a druhou větev křivky*

V rakouské a německé normě se však neudává sedání, ale poměr  $s/D_b$ , pro jednotlivá sedání a průměr pilot byl tedy tento poměr vyjádřen i podle přístupu dle Masopusta. Zatímco doc. Masopust uvažuje pouze sedání do 25mm, německá a rakouské norma může brát v úvahu i sedání mnohem větší. V programu GEO 5 byl tedy pozměněn údaj o maximálním sednutí a dle průměru pilot byl zadán údaj tak, aby  $s_{max}/D = 0,1$ .

Maximální únosnost paty  $R_{pu}$  při  $s/D=0,1$  známe, dle výše zmíněného výpočtu ji nám vypočítá program GEO 5. Není problém dopočítat únosnosti na patě pro ostatní sedání (poměry  $s/D$ ), neboť zde existuje přímá úměra. ( $R_{pu,x} = R_{pu} \cdot s_{max}/s_x$ ). Dále odvodíme  $q_{pk}$  – napětí na patě.

Obdobný postup je i při odvození únosnosti na plášti. Dopočítáme maximální únosnost ( $R_{su} + R_{pu} = R_{bu} \Rightarrow R_{su} = R_{bu} - R_{pu}$ ). A dále rozlišujeme, zda se jedná o první

(parabolickou) větev, nebo o druhou lineární větev, ve které došlo již k vyčerpání plášťové únosnosti.

### ***Dopočet celkové síly pro 1. Parabolickou větev***

Podle zatěžovací křivky tedy víme, že po dosažení bodu sednutí  $s_y$  (síly  $R_y$ ) zůstává plášťová únosnost konstantní, pro druhou větev křivky je tedy možné doplnit  $R_{su}$  pro jednotlivá sednutí  $s$ , kde  $s_y < s < s_{max}$ . A obdobně dopočítat  $q_{su}$  a  $q_{bu}$  ( $q_{su} = R_s / (2 * \pi * R * L$ ;  $q_{bu} = q_{pu} + q_{su}$ ).

Pro první zatěžovací větev víme, že rovnice sedání  $s = s_y * (R/R_y)^2$ . Z této rovnice je možné si vyjádřit celkovou únosnost pro dané sednutí (nebo poměr  $s/D$ ) – napětí na patě  $R_{bu} = \sqrt{R_y/s_y} * s$ . Analogicky dopočítáme plášťové tření odečtením únosnosti na patě od celkové únosnosti  $R_{su} = R_{bu} - R_{pu}$ . Z následujících údajů rovněž dopočítáme  $q_{su}$  plášťové tření a mezní napětí na patě  $q_{bu}$ . ( $q_{su} = R_s / (2 * \pi * R * L$ ;  $q_{bu} = q_{pu} + q_{su}$ ).

Výsledné hodnoty  $q_{bu}$  (napětí na patě), a  $q_{su}$  (tření na pláši) pro jednotlivá sedání pak porovnáme tabulkovými hodnotami německé a rakouské normy. Pro větší přehlednost se jednotky těchto norem převody na  $kN/m^2$ .

## **9.2 VÝPOČET PODLE NĚMECKÉ NORMY ÖNORM**

V německé normě je již výpočet mnohem jednodušší. Hodnoty pro jednotlivá podloží se vezmou z tabulek 5.12 – 5.15. Výsledná únosnost se pak rovná součtu únosnosti na patě a plášťového tření.  **$q = q_{bu} + q_{cu}$** .

## **9.3 VÝPOČET PODLE RAKOUSKÉ NORMY ÖNORM**

Analogicky provedeme výpočet i pro Rakouskou ÖNORM. Hodnoty pro jednotlivá podloží se vezmou z tabulek C4 – C7. Výsledná únosnost se pak rovná součtu únosnosti na patě a plášťového tření.  **$q = q_{bu} + q_{cu}$** .

## 9.4 PŘEVODY MEZI INDEXEM ULEHLOSTI A ULEHLOSTÍ, INDEXEM KONZISTENCE A NEODVODNĚNOU SMYKOVOU PEVNOSTÍ

### *Převody mezi indexem ulehlosti $I_d$ a ulehlostí $D$*

V České normě dle doc. Masopusta se únosnost zemin určuje podle Indexu ulehlosti  $I_d$  zatímco v rakouské normě ÖNORM i v německé normě DIN je rozhodující „ulehlost  $D$ “ (=Lagerungsdichte). Zde srovnání daných norem poněkud naráží. Zatímco index ulehlosti  $I_d$  vychází z čísla pórovitosti, ulehlost  $D$  vychází čísla pórovitosti.

$$I_d = e_0 - e / (e_0 - e_d)$$

$$I_d = D_r = \text{„relative dichte“}$$

$$e \dots \text{ číslo porovitosti} = V_s/V_p = (\text{„objem pórů/objem pevných částic“}) = n/(1-n)$$

$$e_0 = \text{min. číslo pórovitosti}$$

$$e_d = \text{max. pórovitost}$$

$$D = n_0 - n / (n_0 - n_d)$$

$$D = \text{„lagerungsdichte“}$$

$$n \dots \text{ provitost} = V_s/V_c = (\text{„objem pórů/celkový objem“})$$

$$n_0 = \text{min. pórovitost}$$

$$n_d = \text{max. pórovitost}$$

Podle německé knihy Taschenbau je převod mezi „Lagerungsdichte  $D$  a relativní ulehlostí  $D_r$  (Index ulehlosti  $I_d$ ) dán následující tabulkou 4. Tabulka 4 je nadále doplněná o přibližné hodnoty v rakouské normy, která rozlišuje zeminy velmi kypré a velmi ulehlé, bližší rozdělení je popsáno v následujících tabulkách.

Norma	Kypré	Středně ulehlé	Ulehé
<b>Stará česká norma</b>	0 – 0,33 Id	0,3-0,66 Id	0,6 – 1,0 Id
<b>DIN</b>	0 – 0,3 D	0,33-0,6 D	0,6 – 1,0 D
<b>ÖNORM</b>	0 – 0,35 D	0,35 – 0,65 D	0,65 – 1,0 D

Tabulka 4 – vyjádření ulehlosti zeminy v jednotlivých normách

Na základě této tabulky se dá vyčíst, že 0,3D odpovídá 0,33 Id. V rámci této diplomové práce tedy převádíme všechny hodnoty na index ulehlosti Id podle staré české normy. Je to jednodušší a zároveň převodem veličin na ulehlost D by pak mohl výpočet podle doc. Masopusta kolabovat.

EN ISO 14688-2:2004 (D)

Tabelle 4 — Bezeichnungen für die bezogene Lagerungsdichte

Bezeichnungen	bezogene Lagerungsdichte $I_D$ %
sehr locker	0 bis 15
locker	15 bis 35
mitteldicht	35 bis 65
dicht	65 bis 85
sehr dicht	85 bis 100

Obr. č. 4 – Tabulka č.4 – upřesňující rozdělení zeminy podle indexu ulehlost Id [5]

D	0–0,15	0,15–0,30	0,30–0,50	0,50–0,80	> 0,80
Benennung	sehr locker	locker	mitteldicht	dicht	sehr dicht

Hodnoty pro Id z Rakouské ÖNORM se vezme podle obr. č 4 – Tabelle 4, která je však shodná s tabulkou C4 ,z té taky byly hodnoty pro Id brané, a tedy není nutné převádět.

### ***Převody mezi indexem konzistence $I_c$ D***

Pro soudržné zeminy jsou již převody jednodušší. rakouské ÖNORM v tabulkách C5 a C7 odvozuje stejně jako česká norma podle doc. Masopusta únosnosti na patě a plášťové tření  $q_{sk}$  a  $q_{bk}$  podle indexu konzistence  $I_c$ , jakýkoliv převod zde tím pádem není nutný.

Hodnoty  $q_{sk}$  a  $q_{bk}$  z německé DIN pak vycházejí z neodvodněné smykové pevnosti  $c_u$ . Převod mezi  $c_u$  a  $I_c$  je uveden v tabulce 2 v kapitole 7.3.

## **10 VÝSLEDKY A POROVNÁNÍ VÝSLEDKŮ JEDNOTLIVÝCH NOREM**

### **10.1 VÝPOČET**

Byl proveden výpočet podle všech norem. Byly dopočítány hodnoty  $q_{bk}$  ( napětí na patě )  $q_{sk}$  ( plášťové tření) a  $q = q_{sk} + q_{bk}$ .

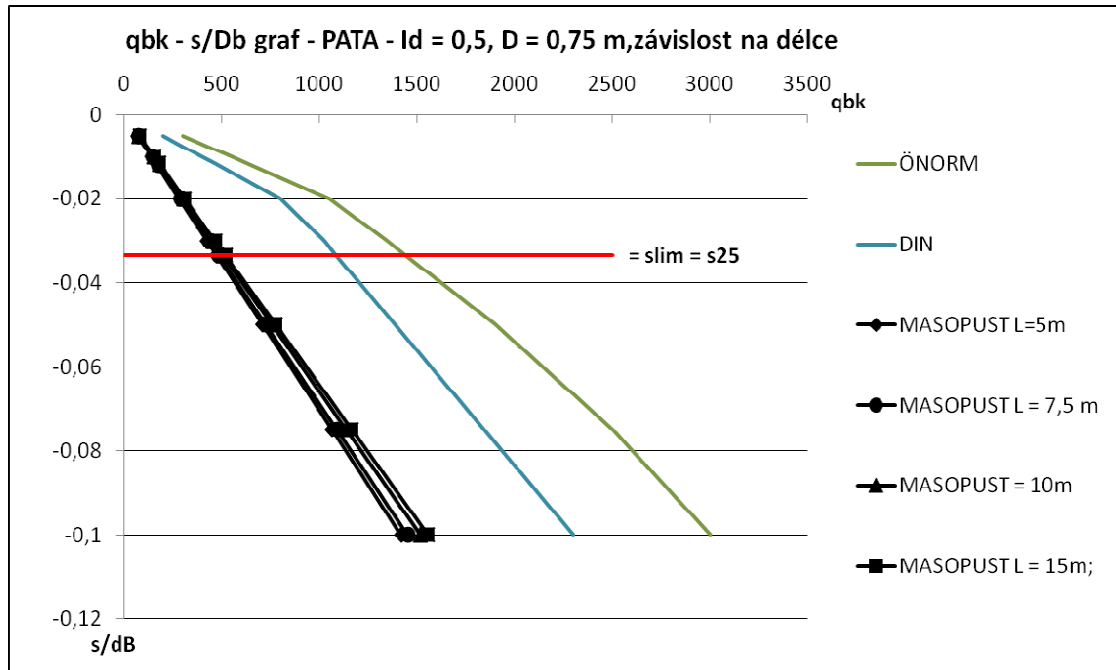
Výpočet všech těchto veličin byl proveden pro všechny poměry  $s/D$  uvedené v rakouské normě (všechny příslušné poměry  $s/D$  jsou uvedené v tabulkách C4 a C6 v kapitole 8.1). Poměry  $s/D$  byly taktéž doplněny o poměry  $s/D$  při hodnotách sedání  $s = s_y$  a  $s = s_{25}$  dle normy dle doc. Masopusta. Všechny zmíněné veličiny byly pro tyto poměry dopočítány, hodnoty  $q_{sk}$  a  $q_{bk}$  z německé DIN se dopočítaly interpolací podle německé mezní zatěžovací křivky.

Názorný výpočet podle jednotlivých norem je uvedený v kapitole 11.

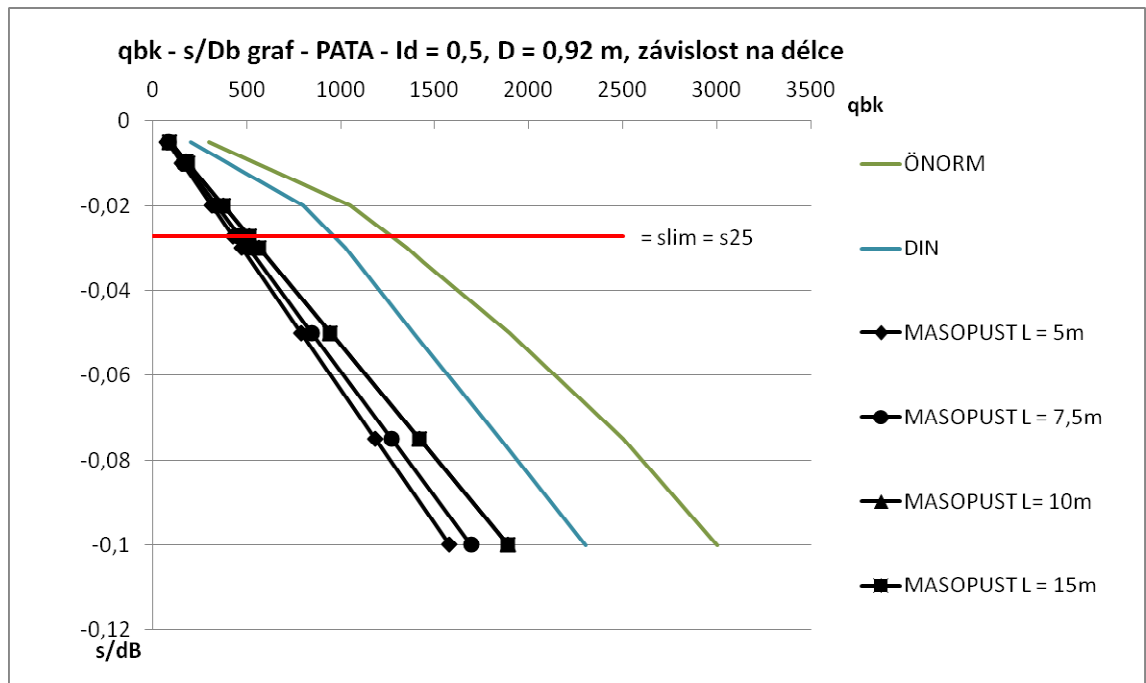
### **10.2 VÝSLEDKY – NESOUDRŽNÉ ZEMINT**

Výsledky všech  $q_{bk}$  – napětí na patě,  $q_{sk}$  – plášťové tření a celková  $q = q_{sk} + q_{bk}$  pro simulované piloty daných rozměrů jsou uvedené v příloze této diplomové práce. Na základě získaných hodnot byly vytvořeny jednotlivé grafy popisující závislosti jednotlivých parametrů.

*Graf únosnosti na patě qb a závislost na poměru s/Db*

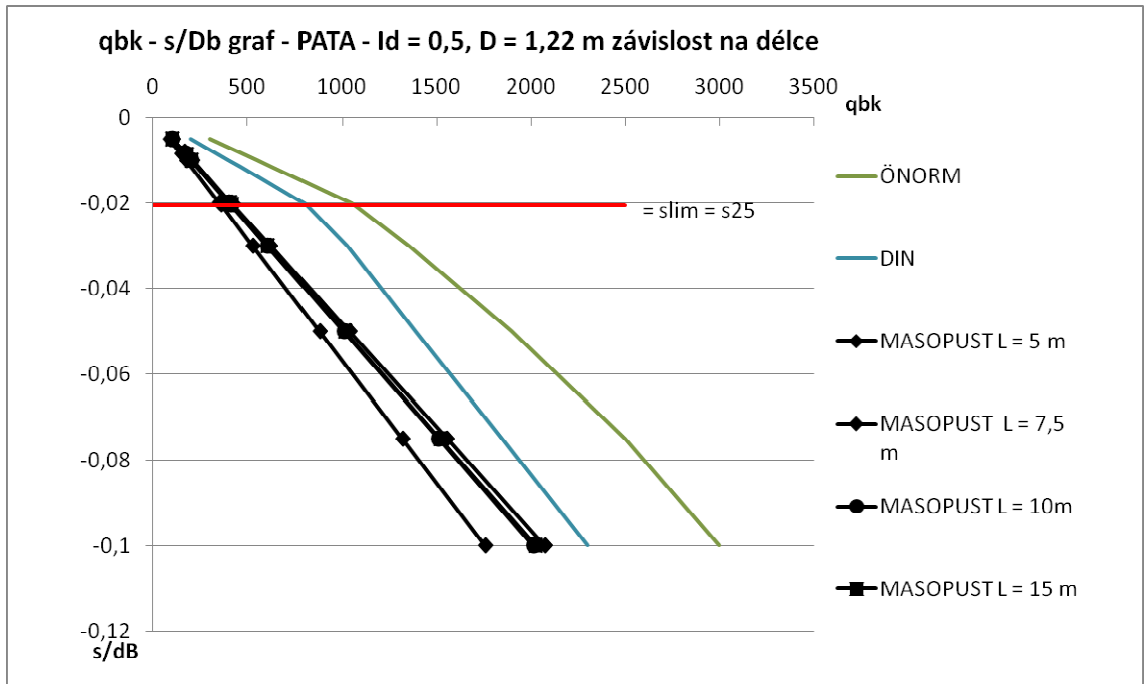


Obr. 10.2.1a

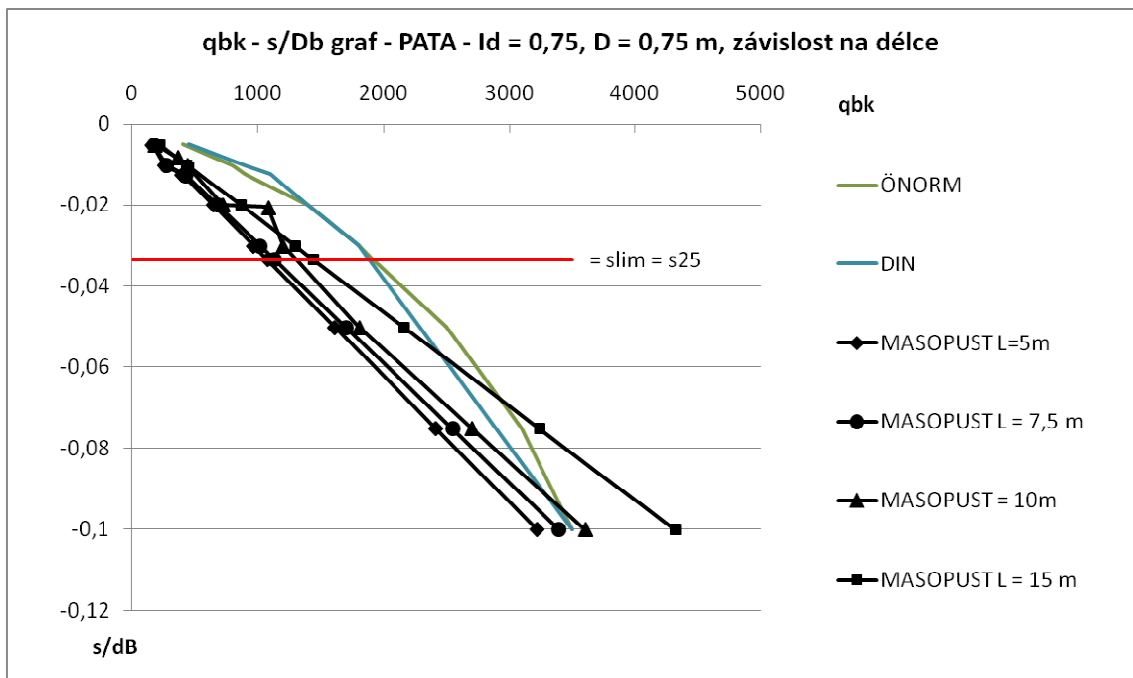


Obr. 10.2.1b

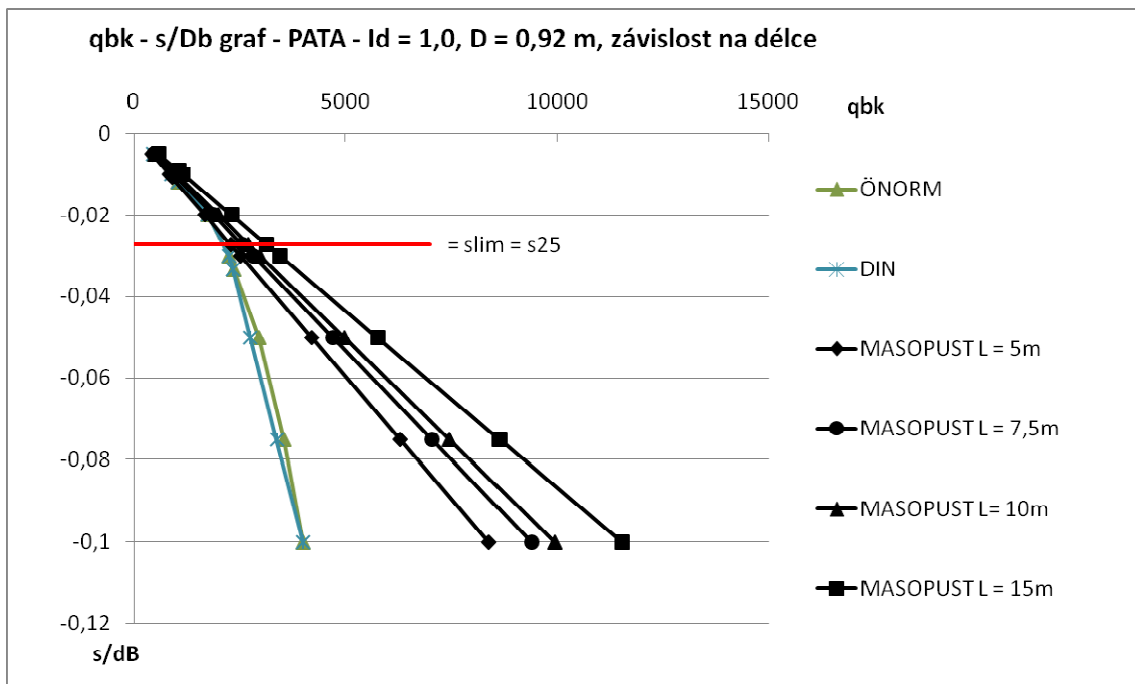




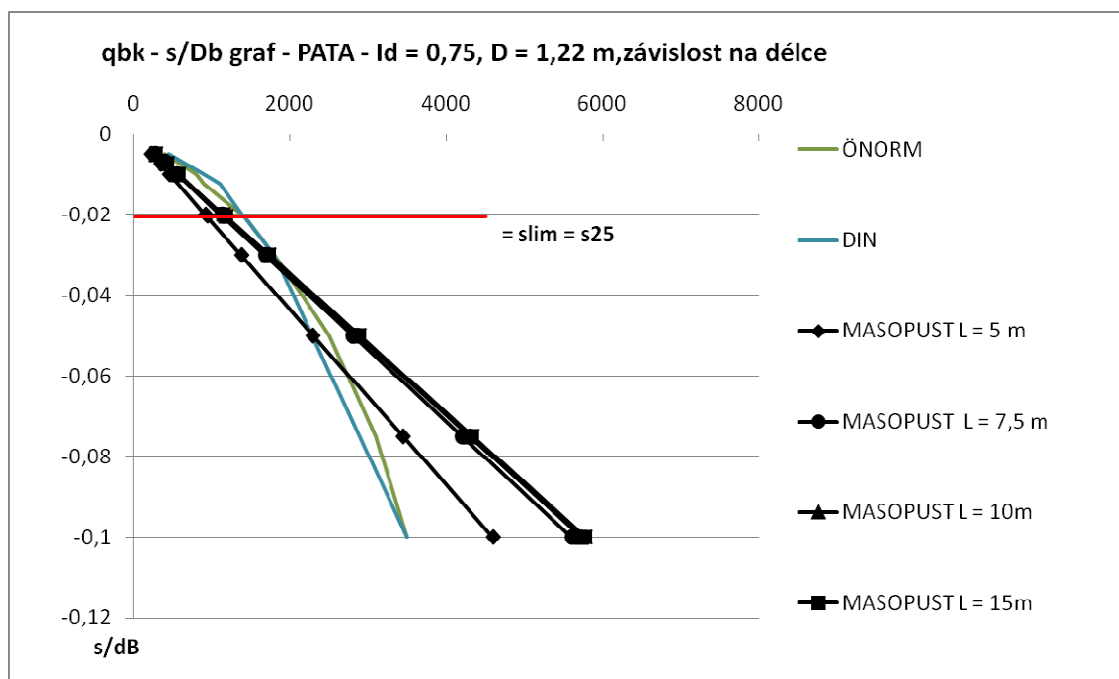
Obr. 10.2.1c



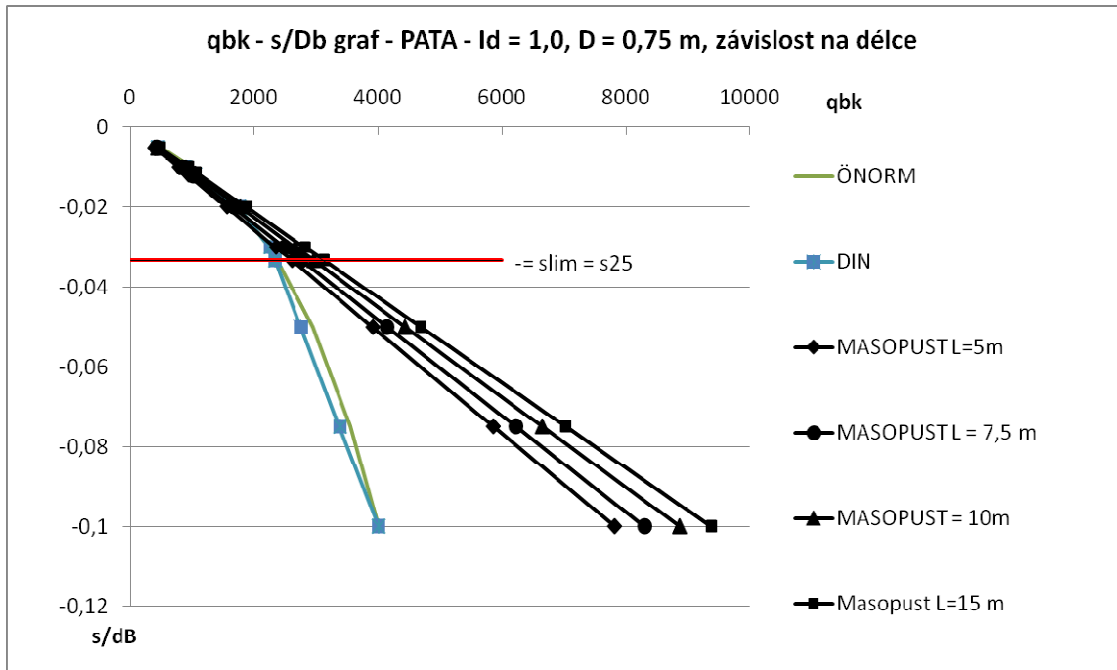
Obr. 10.2.1d



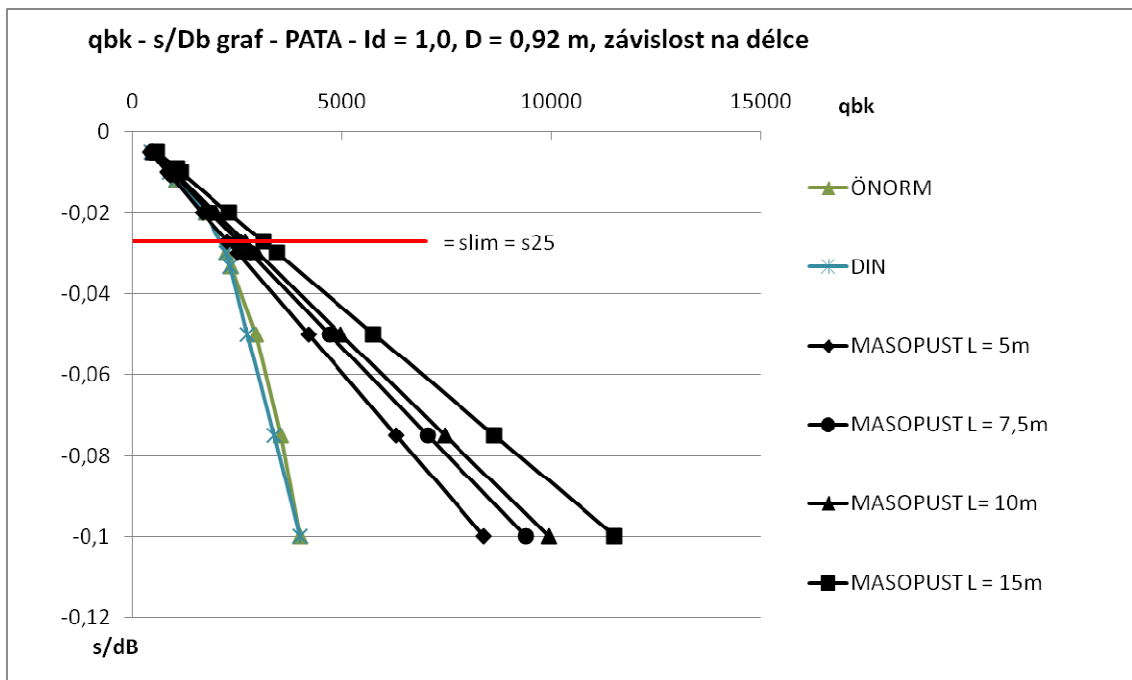
Obr. 10.2.1e



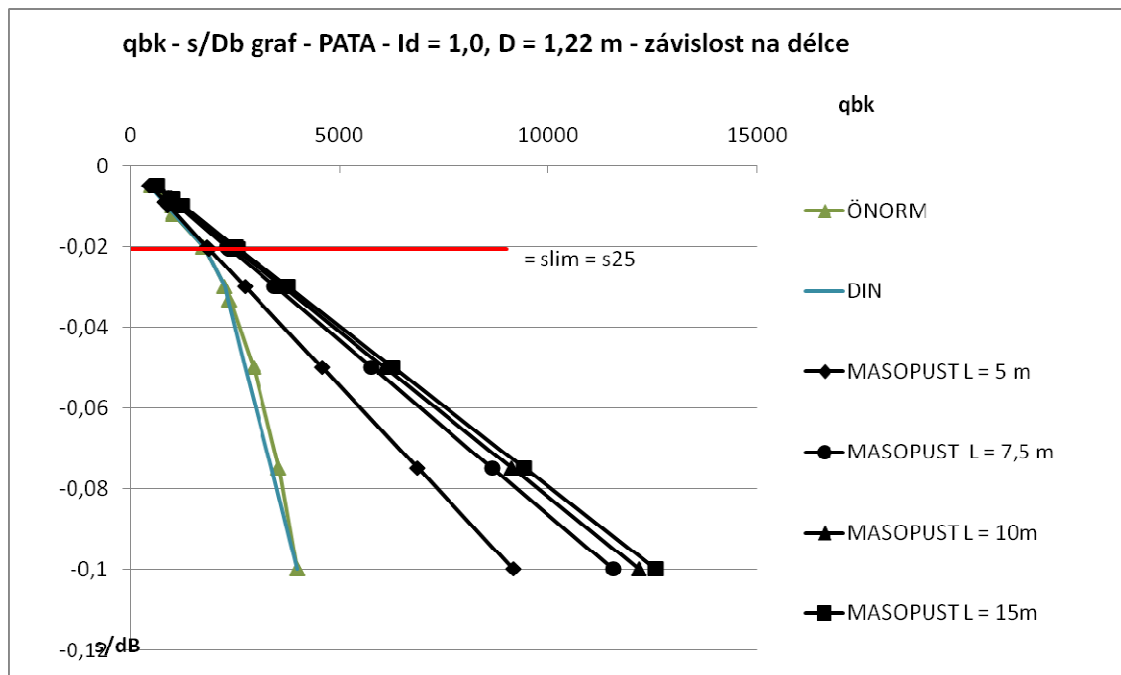
Obr. 10.2.1f



Obr. 10.2.1g



Obr. 10.2.1h



Obr. 10.2.1i

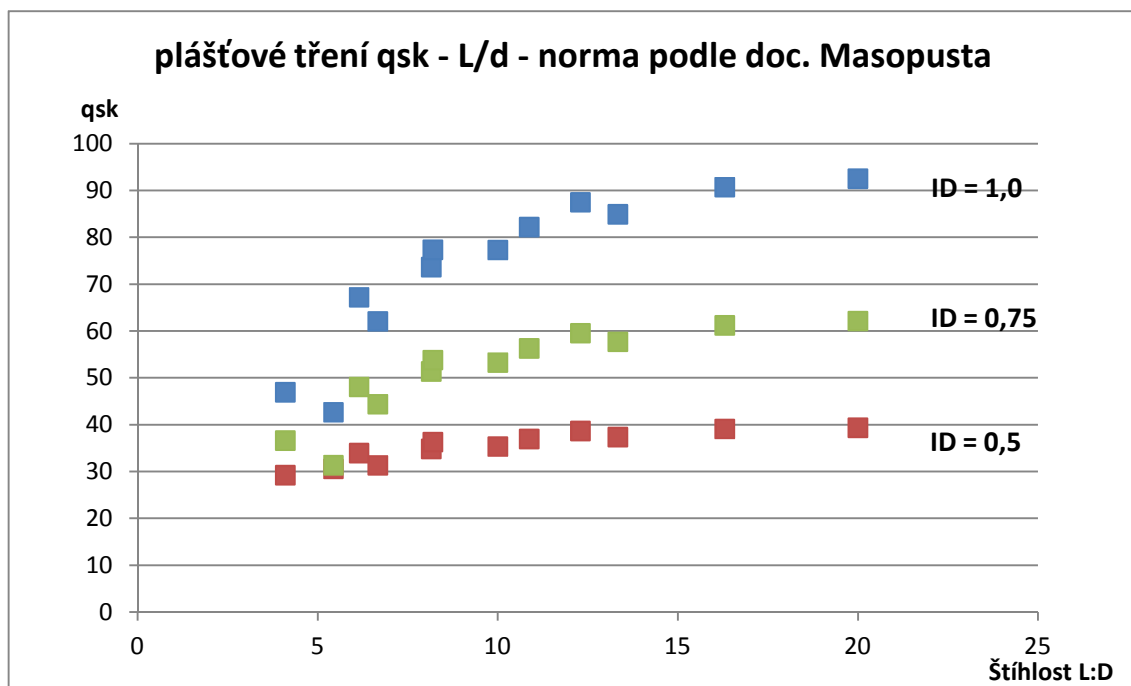
### ***Závislost plášťovéh $\dot{p}$ tření qsk a L/d - norma podle doc. Masopusta***

Z obrázků 10.2.1a, 10.2.1b a 10.2.1c lze vyčíst několik závislostí. Při ID = 0,5 (pro středně ulehlé zeminy) rakouské a německá norma únosnost silně nadhodnocují, zatímco norma podle Masopusta bere únosnost menší.

Pro zeminy s ID = 0,75 (ulehlé zeminy) ( obr. 10.2.1d, 10.2.1e a 10.2.1f) se již únosnost piloty na patě více blíží rakouské a německé normě, nicméně nad úroveň limitního sedání  $s = s_{lim} = 25$  mm, která je na grafech znázorněná červenou čarou, je únosnost německé DIN a rakouské ÖNORM stále vyšší, pouze piloty vyšších délek a vyšších průměrů se těmito hodnotám přibližují.

U zemin s ID = 1,0 (velmi ulehlé) (obr. 10.2.1g, 10.2.1g a 10.2.1i) již mají roli právě parametry délka piloty a průměr. Při vyšších délkách a vyšších průměrech je únosnost podle doc. Masopusta vyšší než rakouské a německá norma, při menších délkách jsou si normy přibližně rovny.

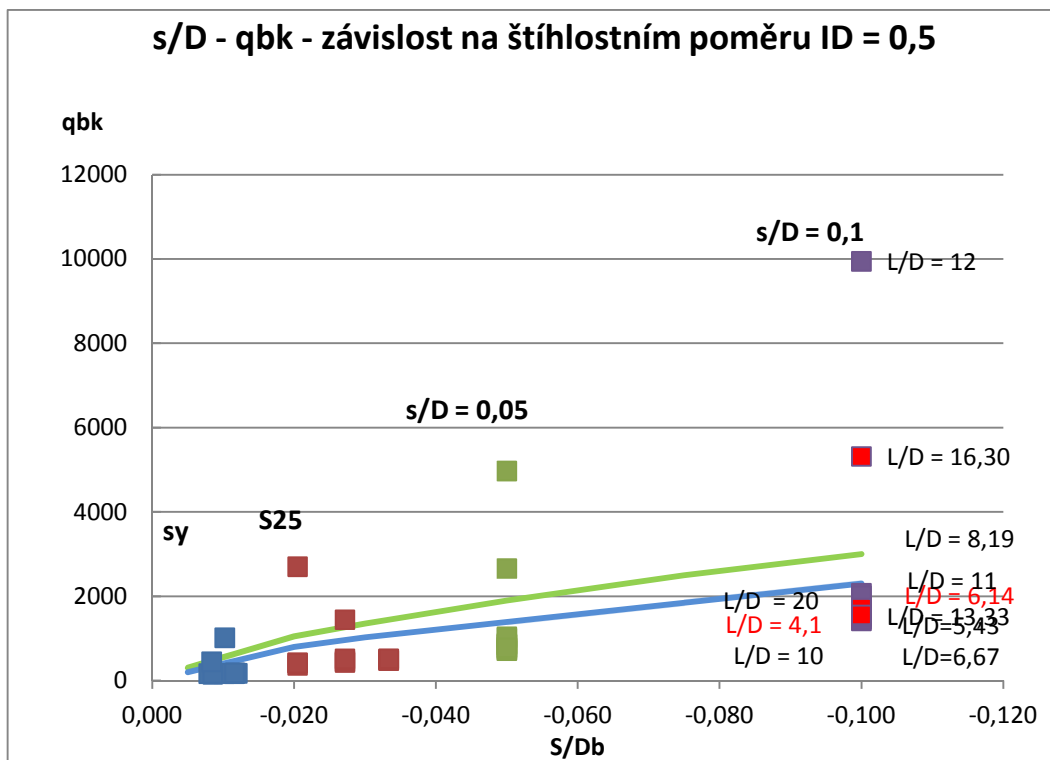
Po překročení meze sednutí  $s = s_{lim} = 25 \text{ mm}$  již jsou naopak únosnosti podle doc. Masopusta výrazně větší, jejich hodnota lineárně stoupá, zatímco hodnoty podle německé a rakouské normy se postupně ustálí. Tento fakt pouze potvrzuje použitelnost normy podle doc. Masopusta do limitního sednutí  $s = 25 \text{ m}$ .



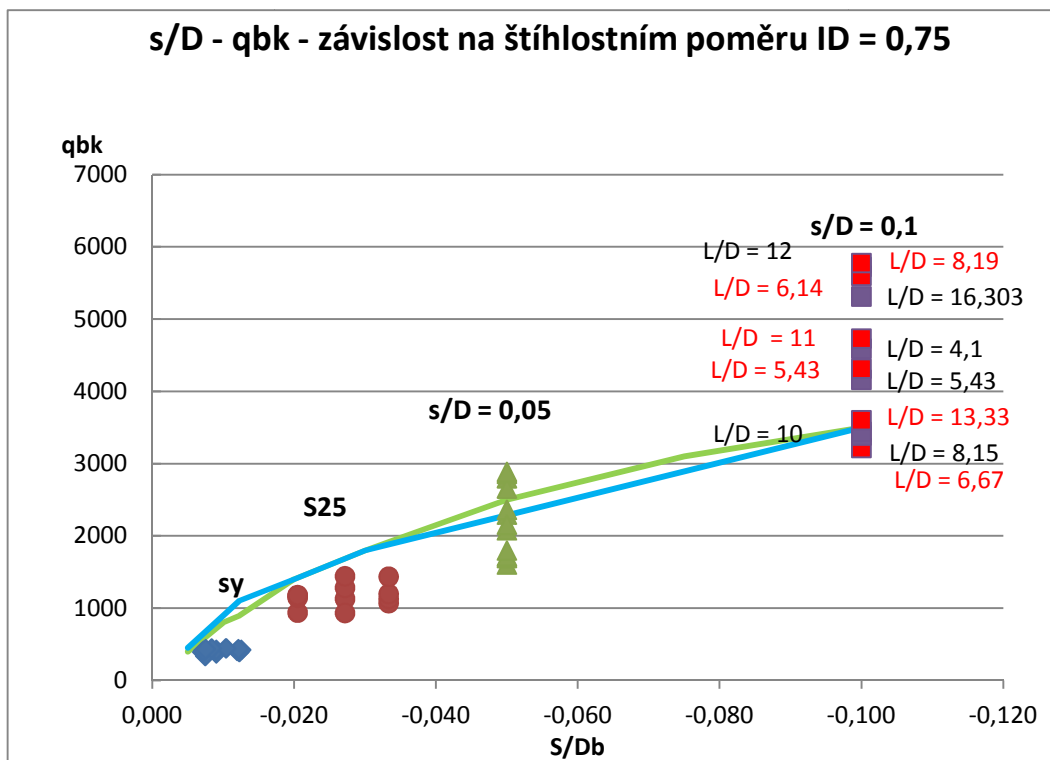
Obr. 10.2.2

Na obr. 10.2.2 je znázorněná závislost plášťového tření  $q_{sk}$  na jednotlivých rozměrech (štíhlosti) piloty výpočtu dle doc. Masopusta. Pro vyšší  $I_d$  je plášťové tření  $q_{sk}$  vyšší.

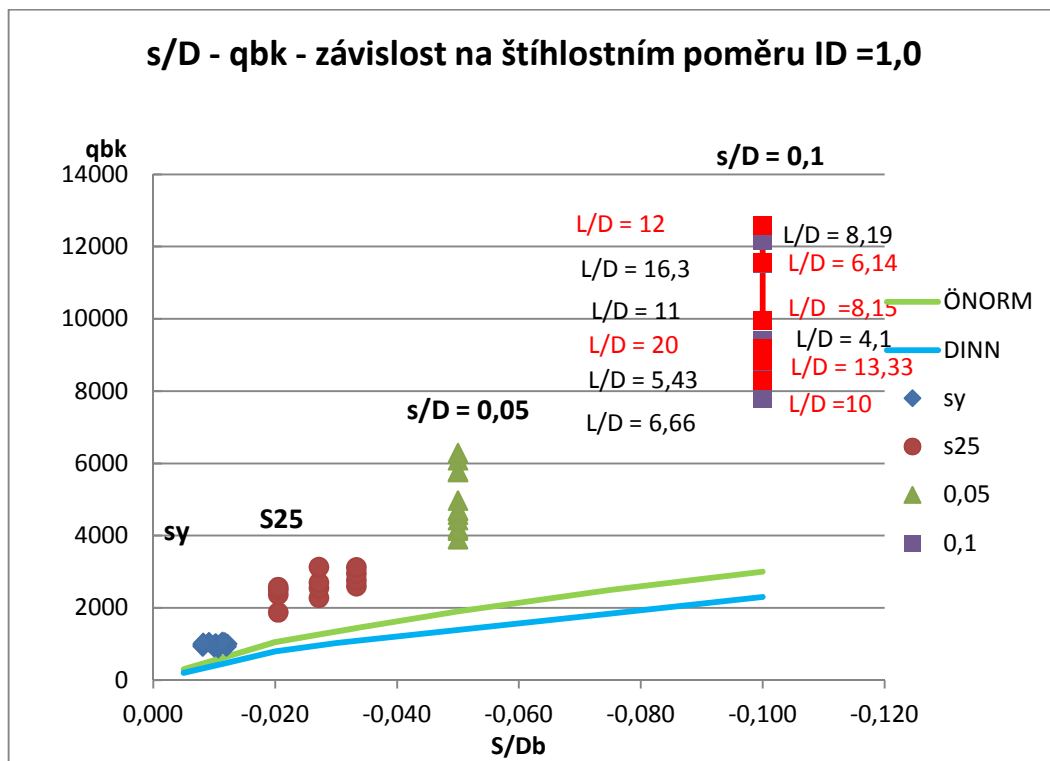
*Napětí na patě  $q_{bk}$  - závislost na štíhlostním poměru*



Obr. 10.2.3a



Obr. 10.2.3b

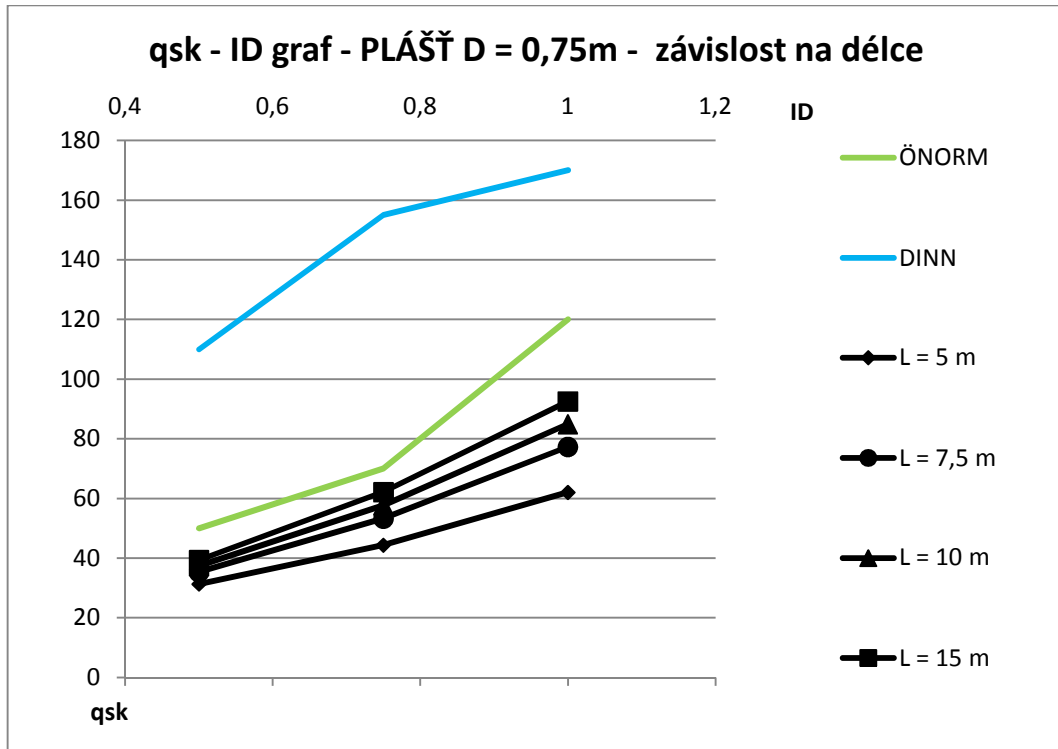


Obr. 10.2.3c

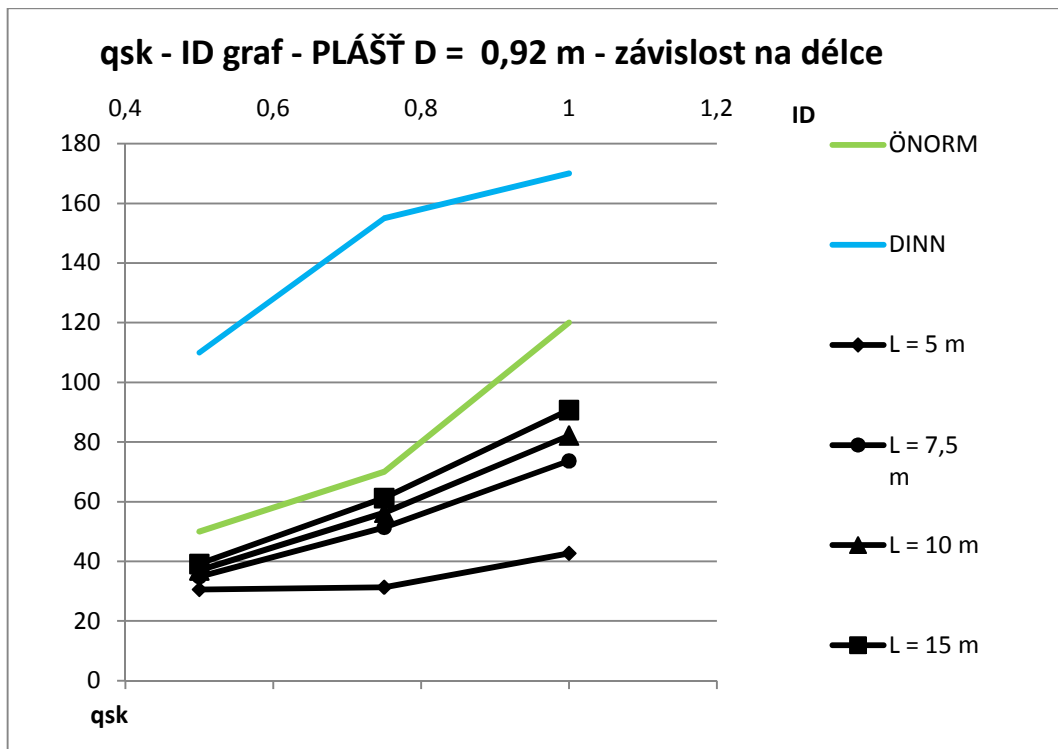
Na obr. 10.2.3a, 10.2.3b a 10.2.3c je snaha zohlednit, jaký vliv má štíhlost piloty. Jak je vidět z grafů, nerozhoduje ani tak štíhlost, jako spíše délka piloty. Delší piloty předpokládají větší tlak u paty, a tím pádem se zvyšuje i únosnost piloty.

Při poměru  $s_y/D$  a  $s_{25}/D$  závisí hodnoty na ulehlosti zeminy. Pro menší  $I_d$  ( $I_d = 0,5$ ) jsou hodnoty únosnosti na patě  $q_{bk}$  spočítané podle doc. Masopusta menší než hodnoty dle DIN a ÖNORM, pro větší  $I_d$  ( $I_d = 1,0$ ) naopak větší. Při hodnotách sedání  $s > s_{25}$  jsou pak hodnoty dle metody doc. Masopusta vyšší, ale jak již bylo uvedeno, tyto hodnoty neodpovídají realitě.

*Plášťové tření qsk - závislost na délce, průměru a štíhlosti*

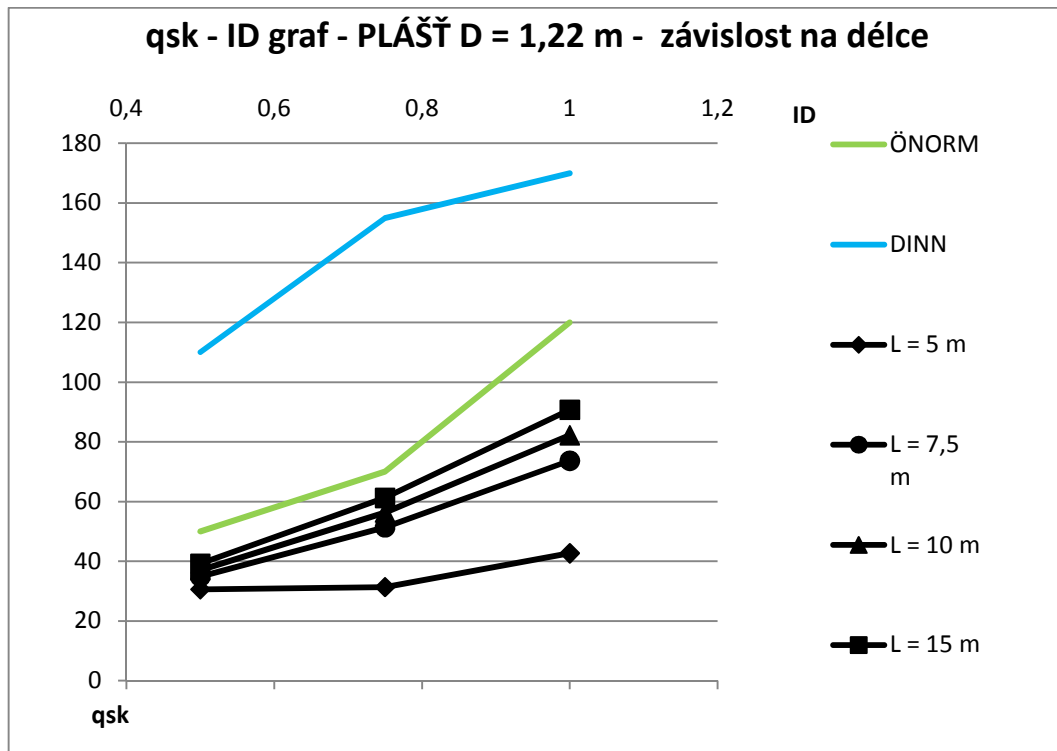


Obr. 10.2.4a





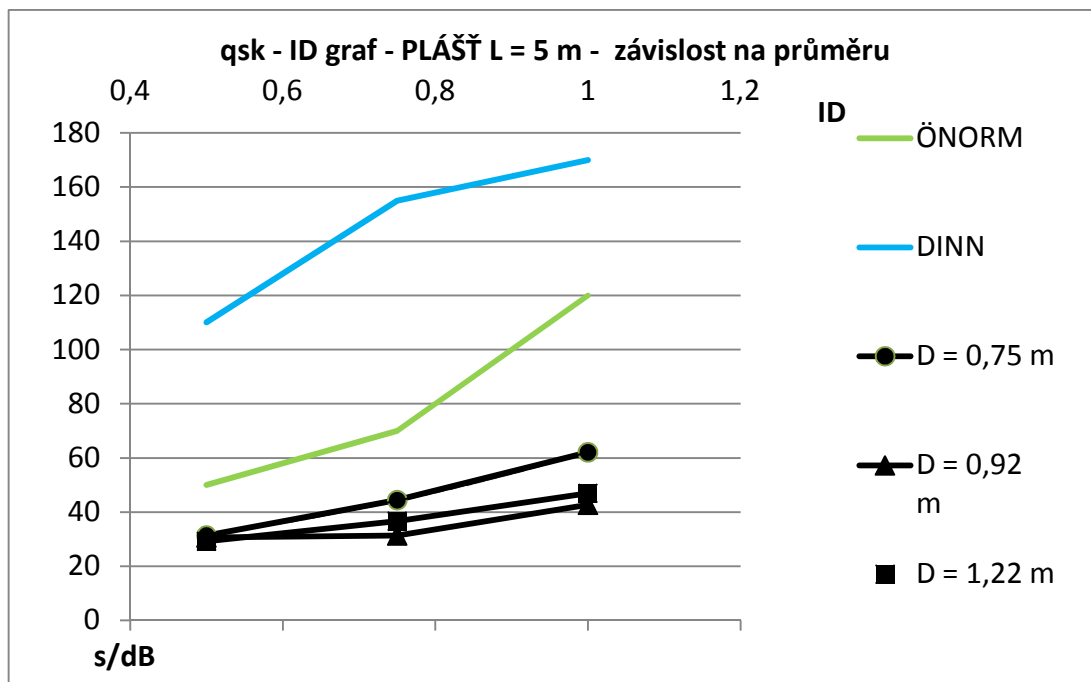
Obr. 10.2.4b



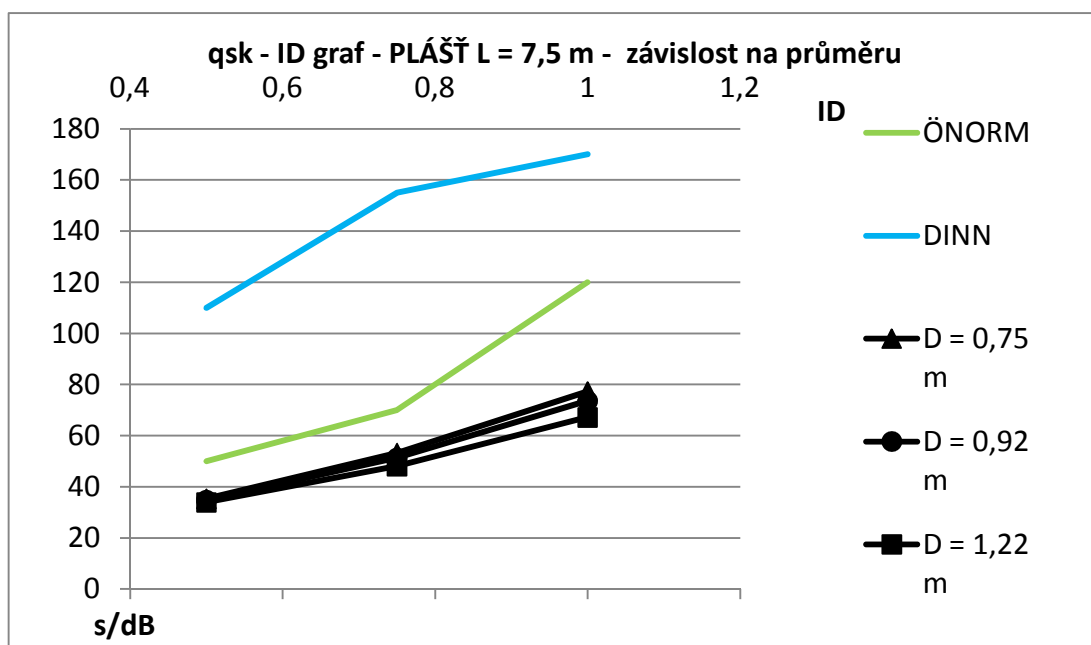
Obr. 10.2.4c

Na obr. 10.2.4a, obr. 10.2.4b a obr. 10.2.4c jsou znázorněné závislosti únosnosti na plášti v závislosti na Indexu ulehlosti  $I_d$ , a sleduje se, jak se veličiny mění se stoupající délkou piloty.

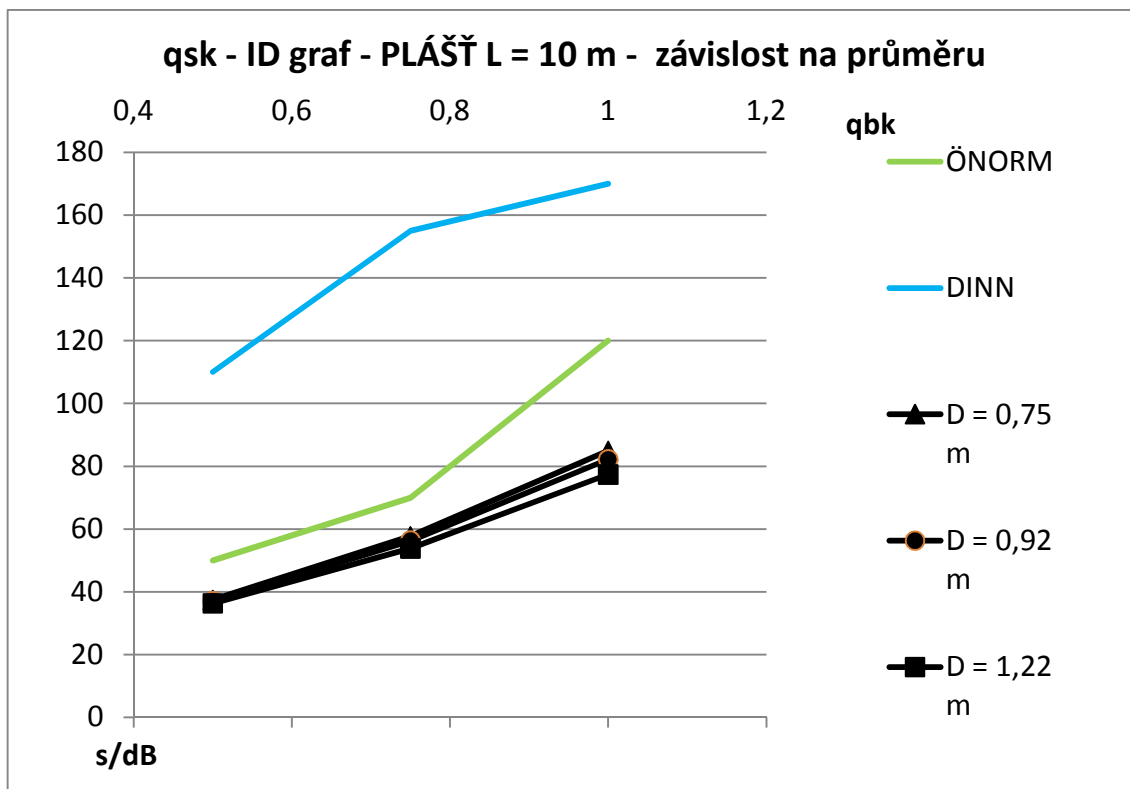
Z grafu vyplývá drobný rozdíl pro plášťové tření podle německé a rakouské normy, čímž se možná kompenzuje vyšší plášťové tření podle rakouské normy. Hodnoty podle doc. Masopusta se pak v závislosti na délce blíží hodnotám v ÖNORM, pro malou délku jsou však hodnoty plášťového tření velmi malé.



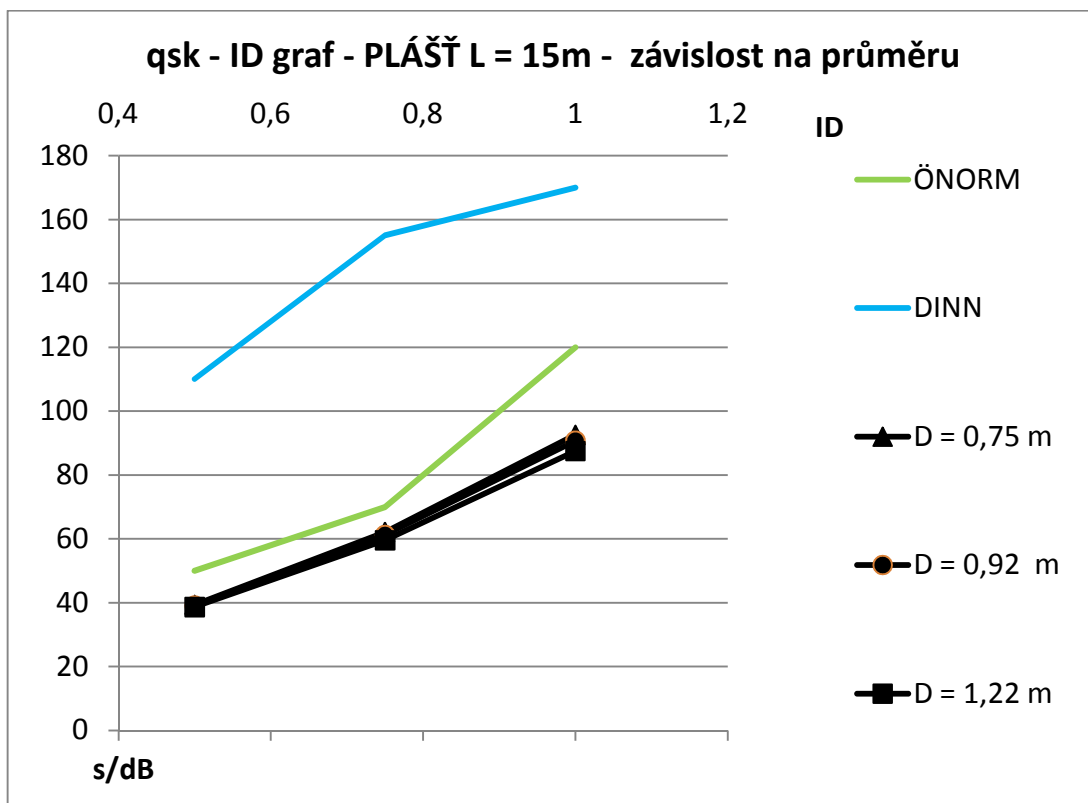
Obr. 10.2.5a



Obr. 10.2.5b



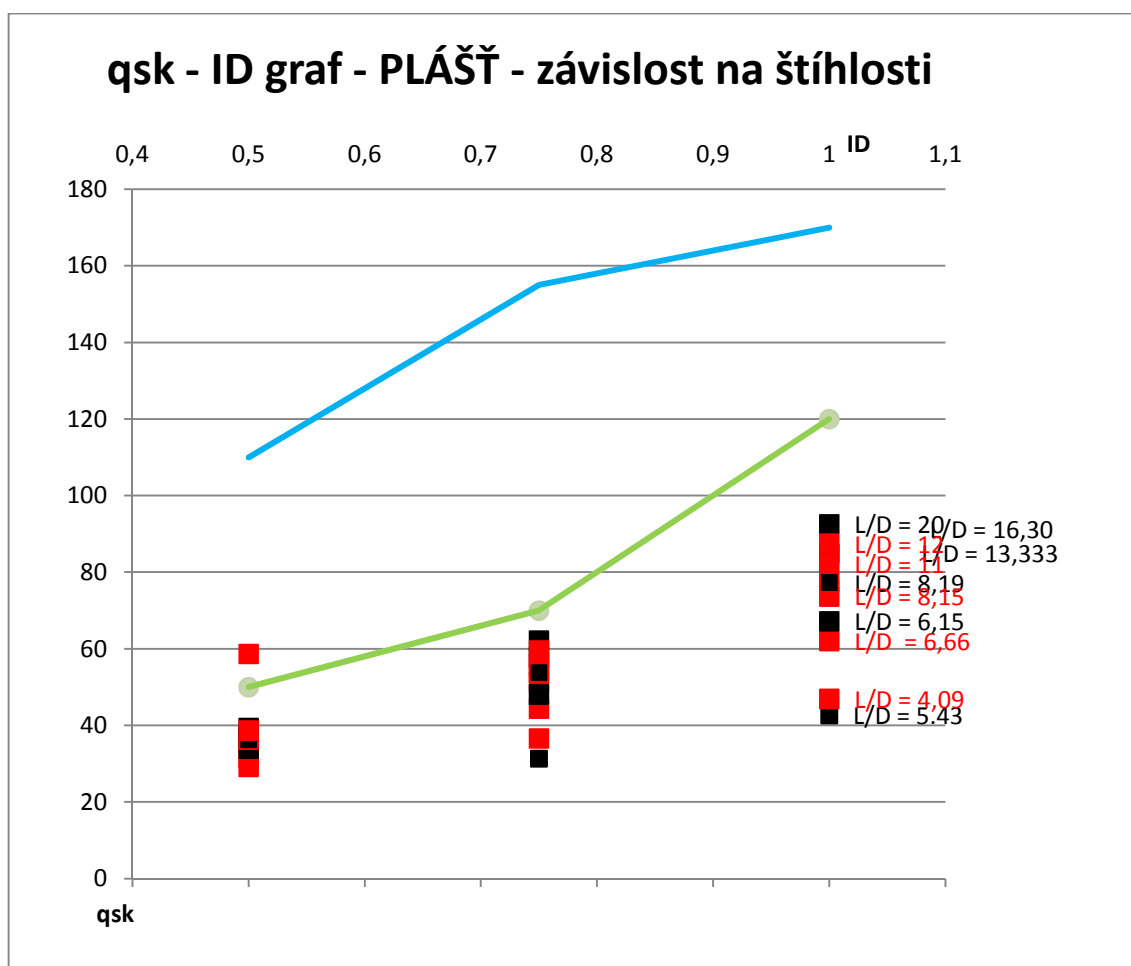
Obr. 10.2.5c



Obr. 10.2.5d

Na Obr. 10.2.5a, Obr. 10.2.5b, Obr. 10.2.5c a Obr. 10.2.5d. jsou znovu znázorněné závislosti únosnosti na plášti v závislosti na Indexu ulehlosti  $I_d$ , a tentokrát se sleduje, jak se veličiny mění se zvyšujícím se průměrem piloty.

Na závěr obr. 10.2.6 je pak znázorněna závislost na celkové štíhlosti (poměr  $L/D$ ). Zde je velice dobře vidět, že plášťové tření  $q_{sk}$  se od štíhlosti odvíjí a se zvyšující se štíhlostí roste  $q_{sk}$ .

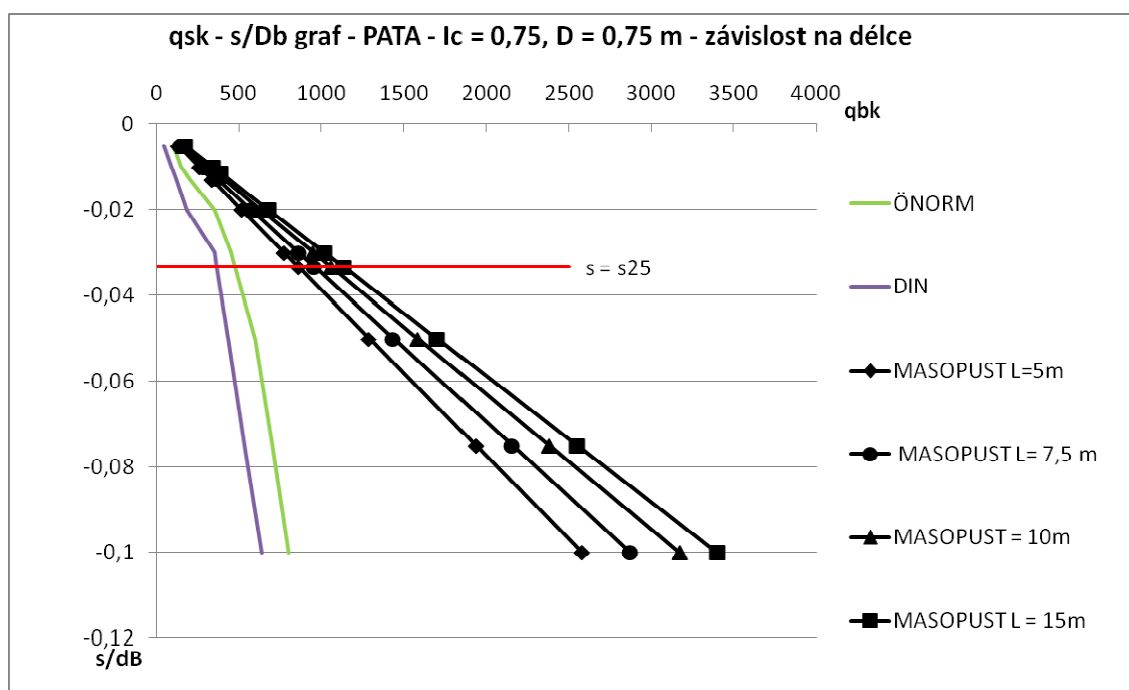


Obr. 10.2.5d

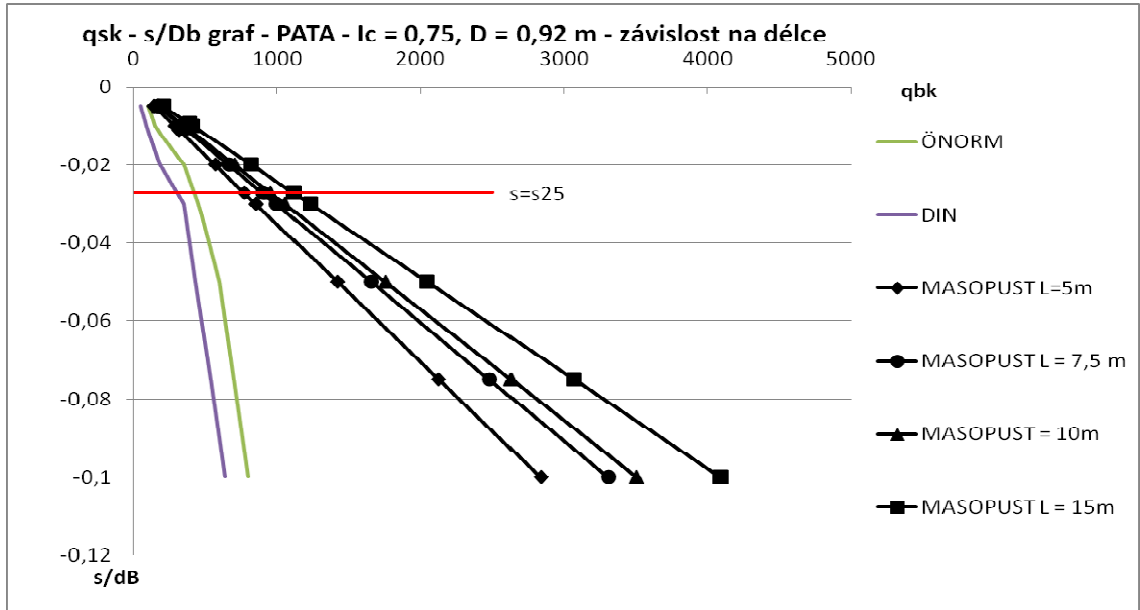
### 10.3 VÝSLEDKY – SOUDRŽNÉ ZEMINY

Analogickým postupem byl proveden výpočet pro soudržné zeminy, stejně jako u nesoudržných zemin, výstupem výpočtu jsou grafy popisující následující závislosti. Mnohé ze závislostí jsou však pro soudržné a nesoudržné zeminy stejné.

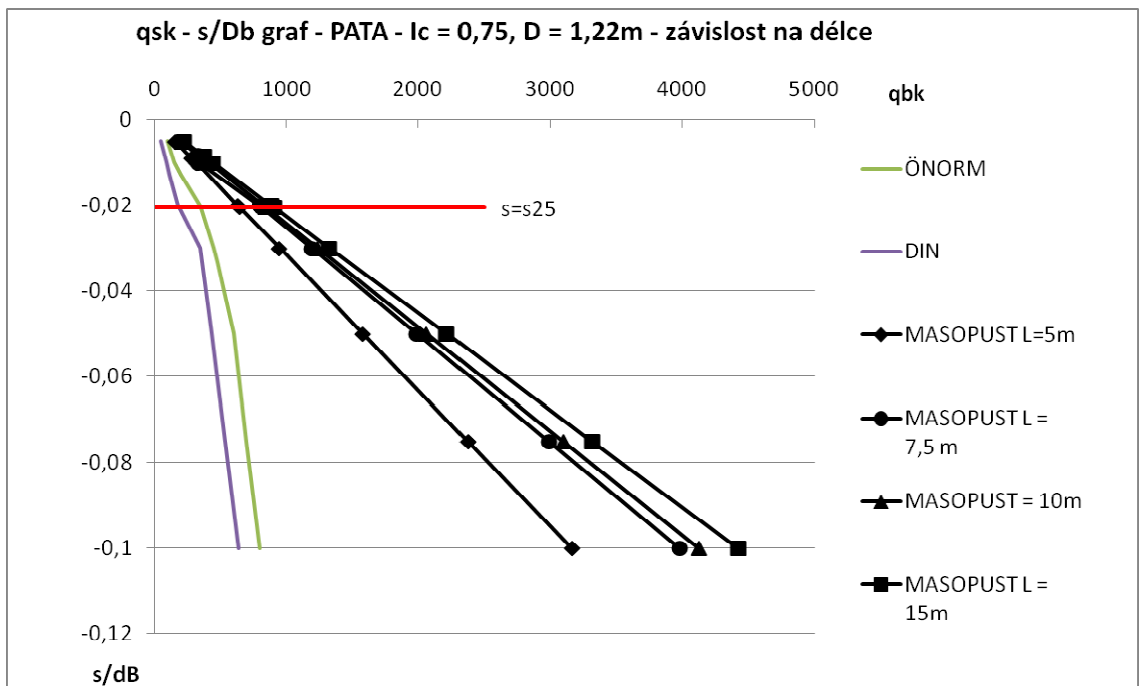
*Graf únosnosti na patě  $q_b$  a závislost na poměru  $s/Db$*



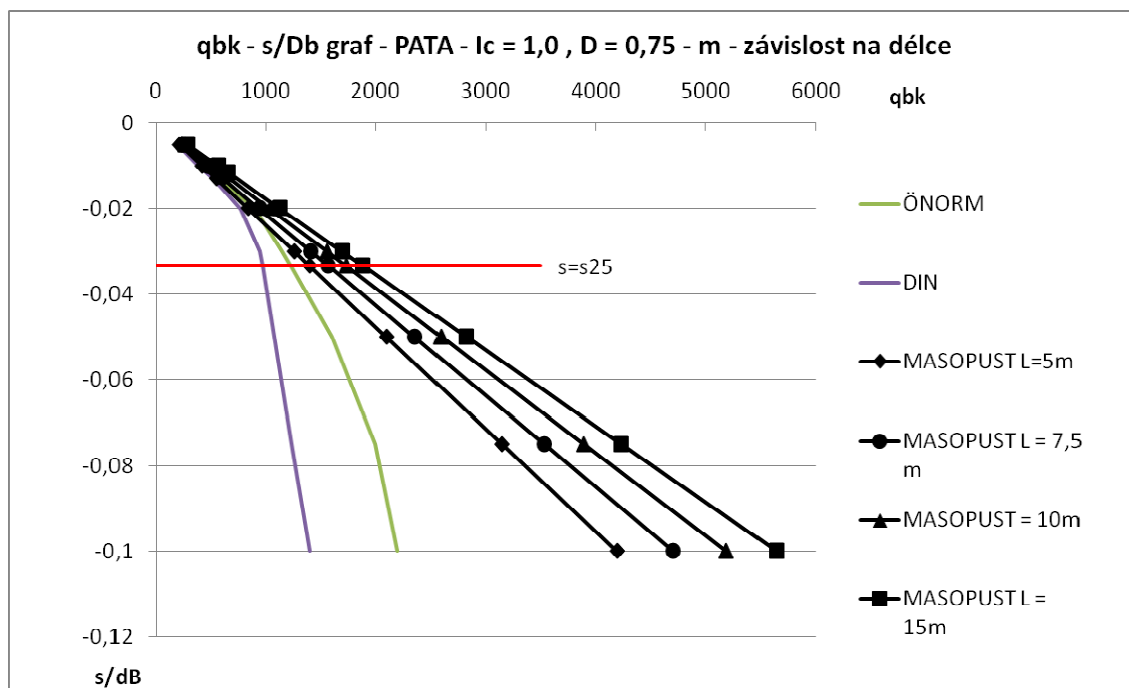
Obr. 10.3.1b



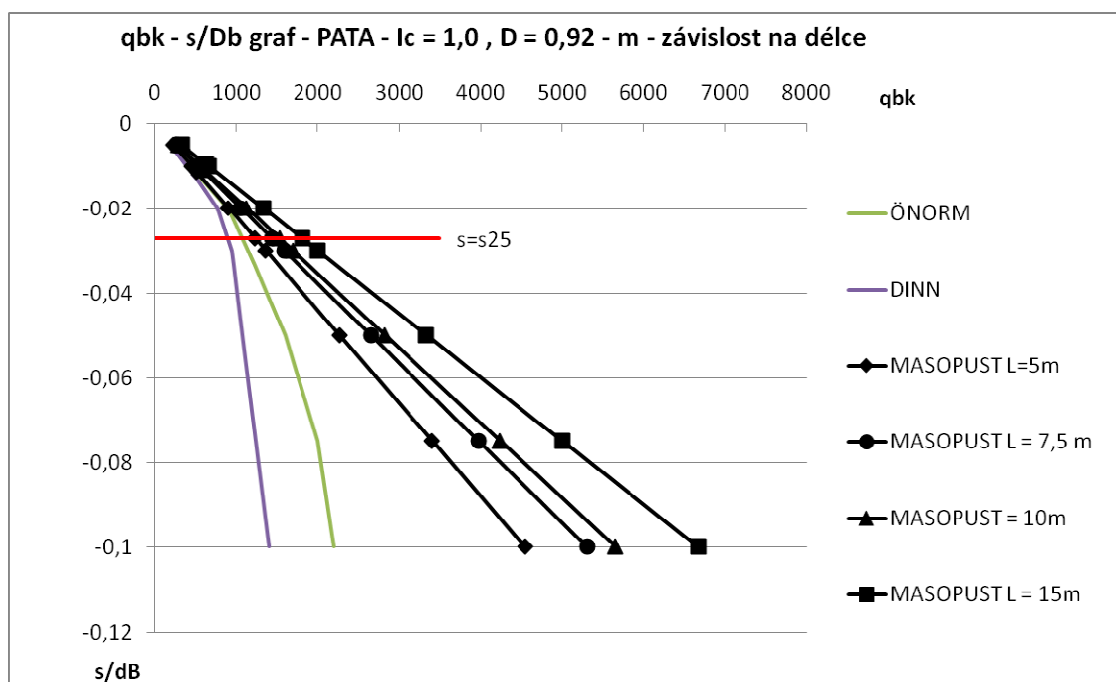
Obr. 10.3.1c



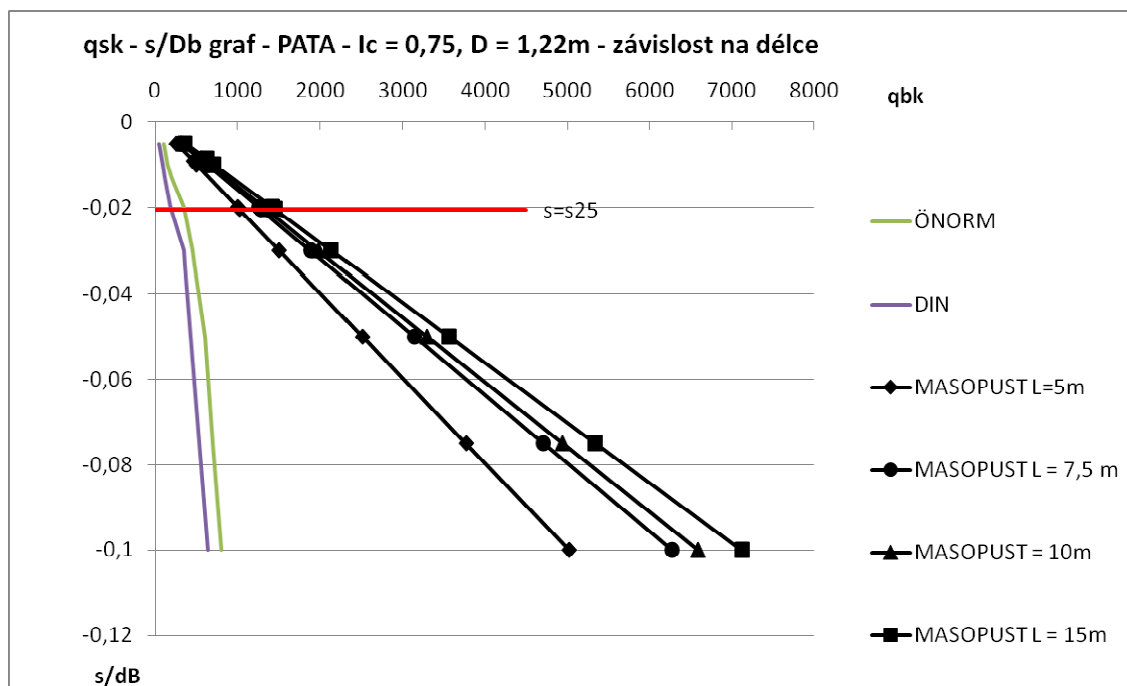
Obr. 10.3.1d



Obr. 10.3.1e



Obr. 10.3.1f



Obr. 10.3.1g

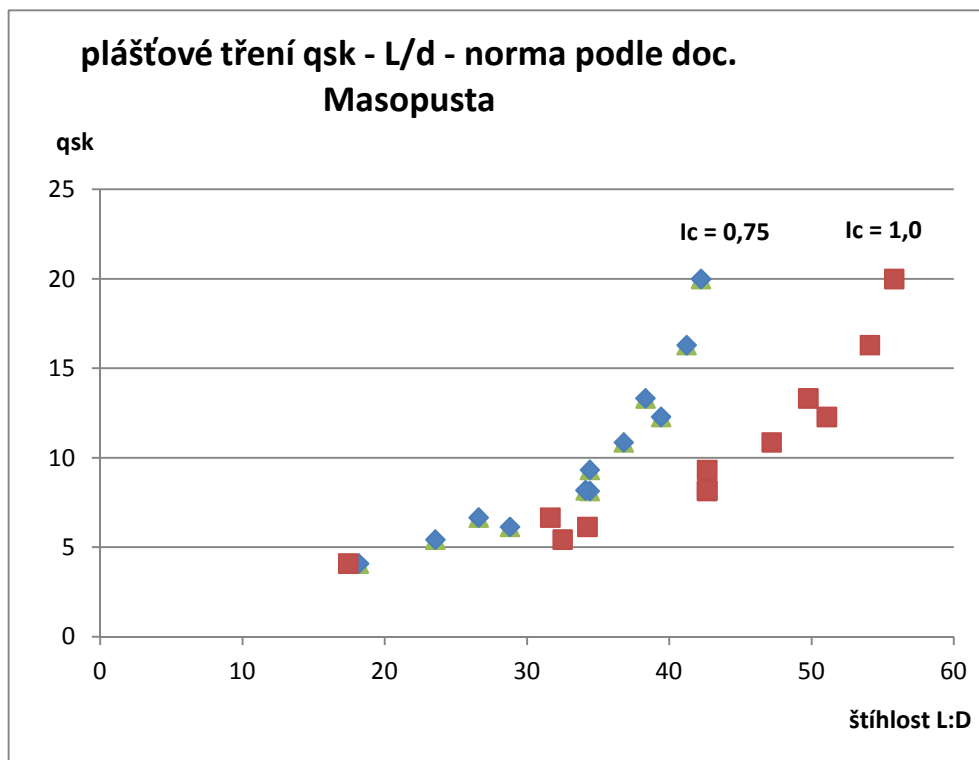
Na obrázcích 10.3.1a, 10.3.1b a 10.3.1c jsou uvedené závislosti pro  $I_c = 0,75$ . Zde je možné si všimnout, že hodnoty pro Rakouskou ÖNORM a Německou DIN jsou hodnoty nižší než pro výpočet dle docenta Masopusta, což je při srovnání s výstupy u nesoudržných zemin rozdíl. Tento fakt je však dán hlavně rozdílem hodnot v rakouské ÖNORM a německé DIN pro soudržné a nesoudržné zeminy. Pro soudržné jsou hodnoty menší

Pro vyšší  $I_c = 1,0$  jsou pak hodnoty trochu bližší, což je dáno následkem vyšších hodnot únosností na patě pro ÖNORM a DIN, pořád však jsou hodnoty výpočtu dle doc. Masopusta vyšší.

Stejně jako u nesoudržných zemin, i u soudržných zemin hodnoty dle doc. Masopusta nad limitní hranicí pro s25 se výrazně zvyšují, opět to zpochybňuje použitelnost výpočtu nad touto hranicí.



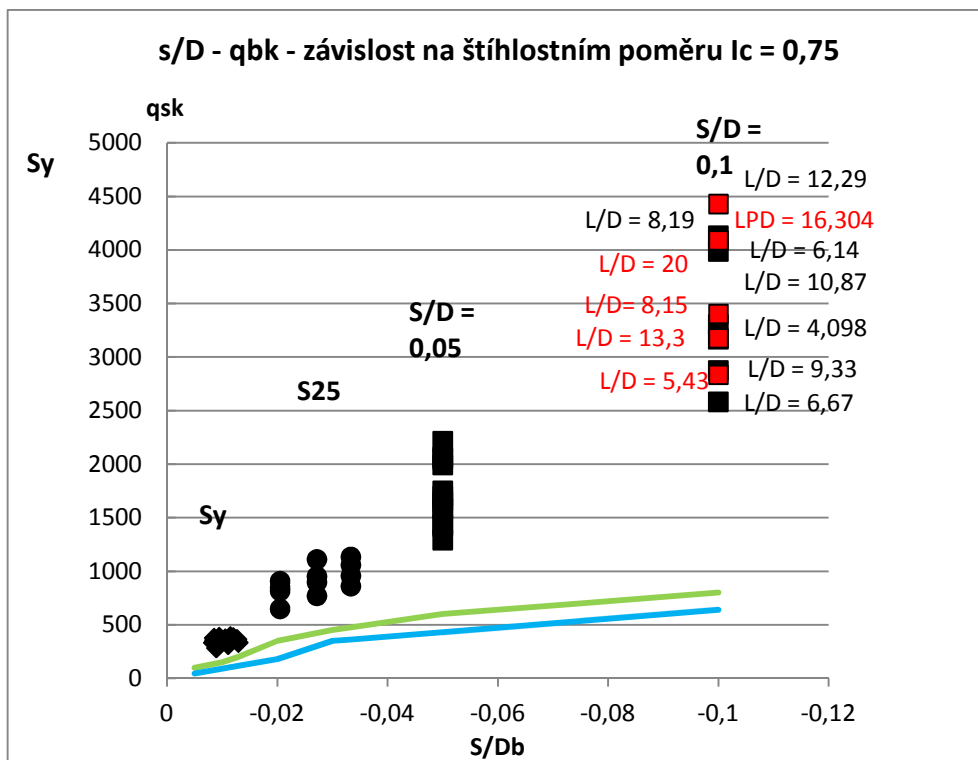
*Závislost plášťového tření  $q_{sk}$  na štíhlosti  $L/d$  dle normy dle doc. Masopusta*



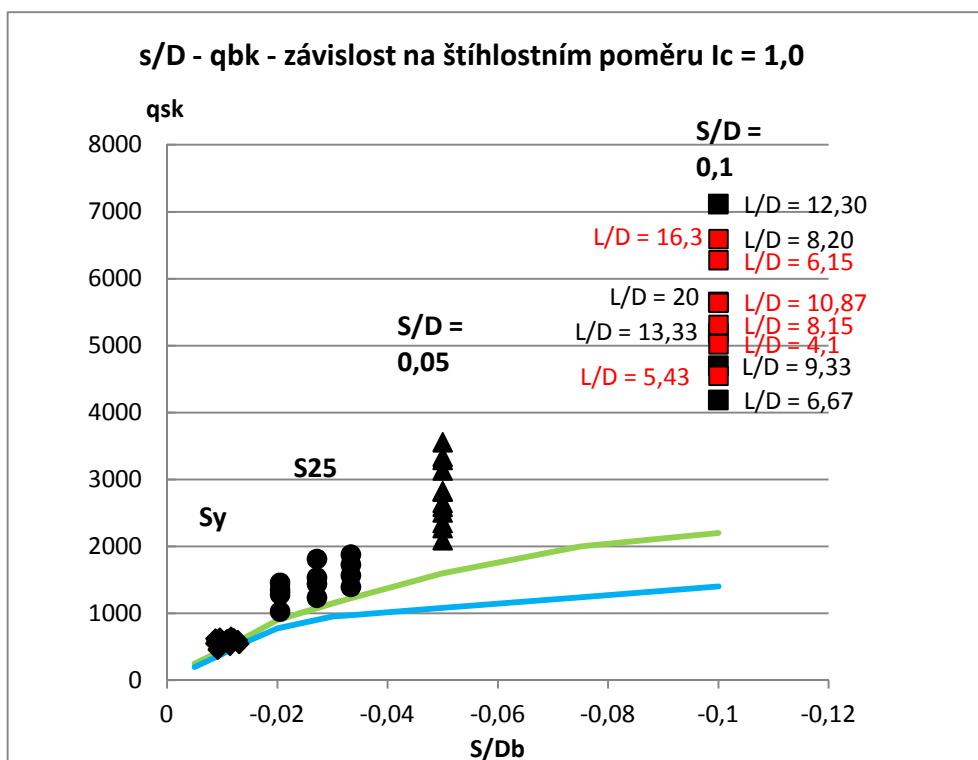
Obr. 10.3.2

Na obr. 10.3.2 je možné vidět závislost únosnosti na plášti na štíhlosti. Stejně jako u nesoudržných zemin, se zvyšující se štíhlostí plášťové tření  $q_{sk}$  roste.

*Závislost únosnosti na plášti  $q_{sk}$  pro jednotlivé poměry  $S/D$*



Obr. 10.3.3a

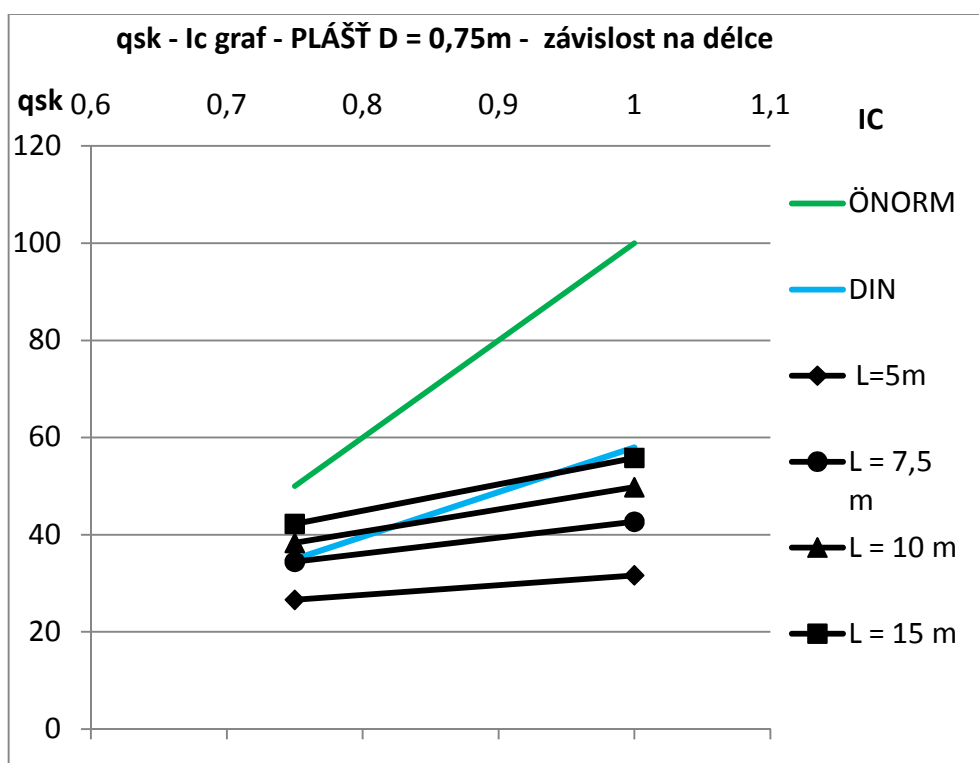


Obr. 10.3.3b

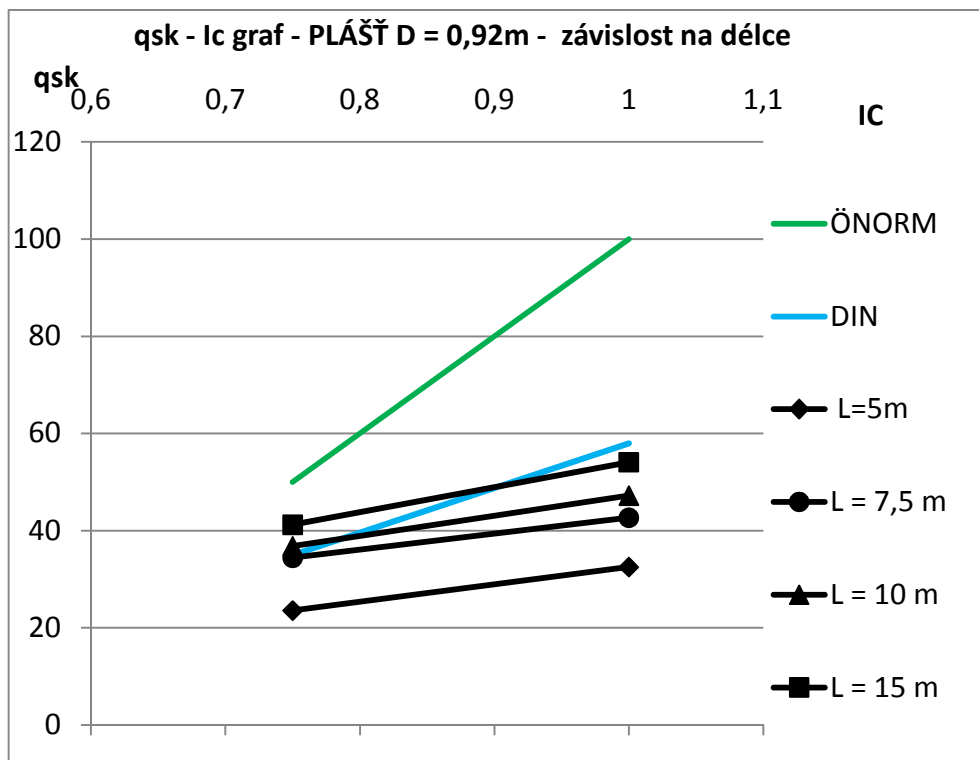
Na obr. 10.3.3a a 10.3.3b je stejně jako u soudržných zemin snaha zohlednit, jaký vliv má štíhlost piloty na únosnost  $q_{bk}$  na patě. Stejně jako u nesoudržných zemin, i zde hraje větší roli délka.

Při poměru  $s_y/D$  a  $s_{25}/D$  jsou hodnoty přibližně rovny hodnotám z rakouské ÖNORM a německé DIN. Při hodnotách sedání  $s > s_{25}$  jsou pak hodnoty dle metody doc. Masopusta vyšší, což stejně jako u soudržných zemin nemá reálný základ.

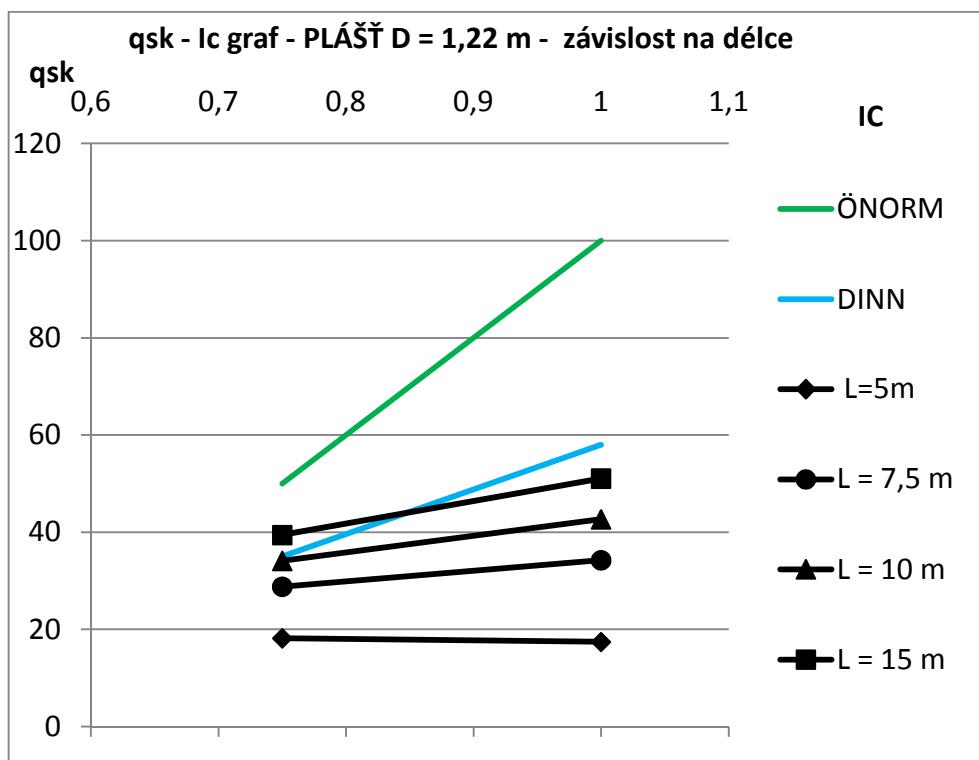
***Plášťové tření  $q_{sk}$  - závislost na délce, průměru a štíhlosti***



Obr. 10.2.4a



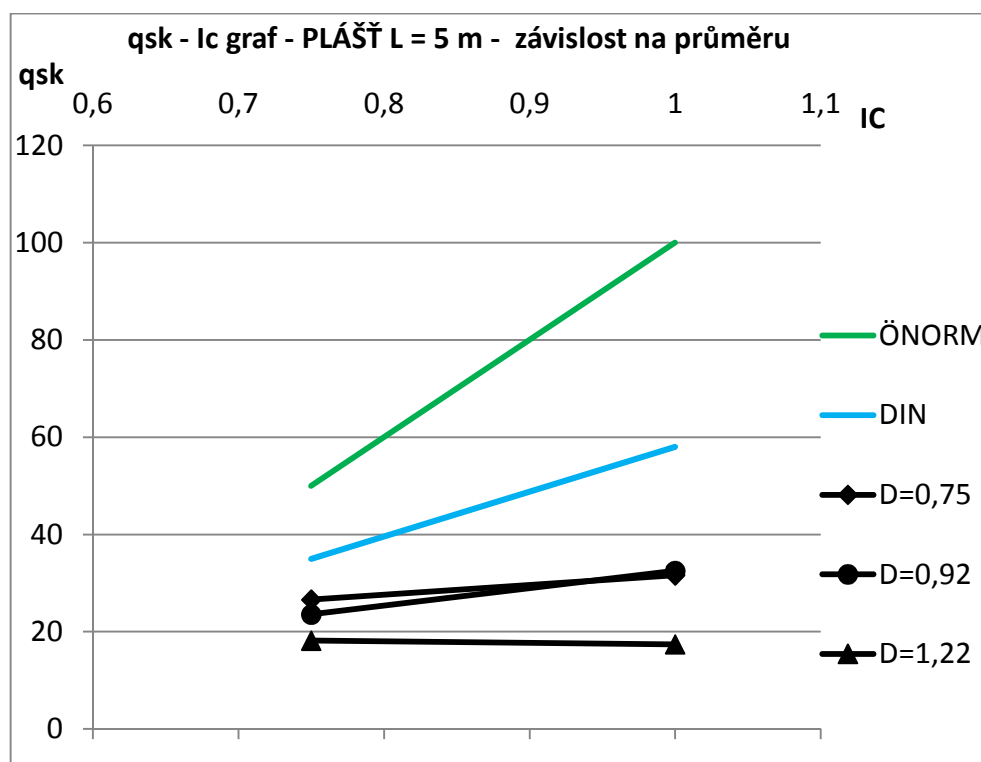
Obr. 10.2.4b



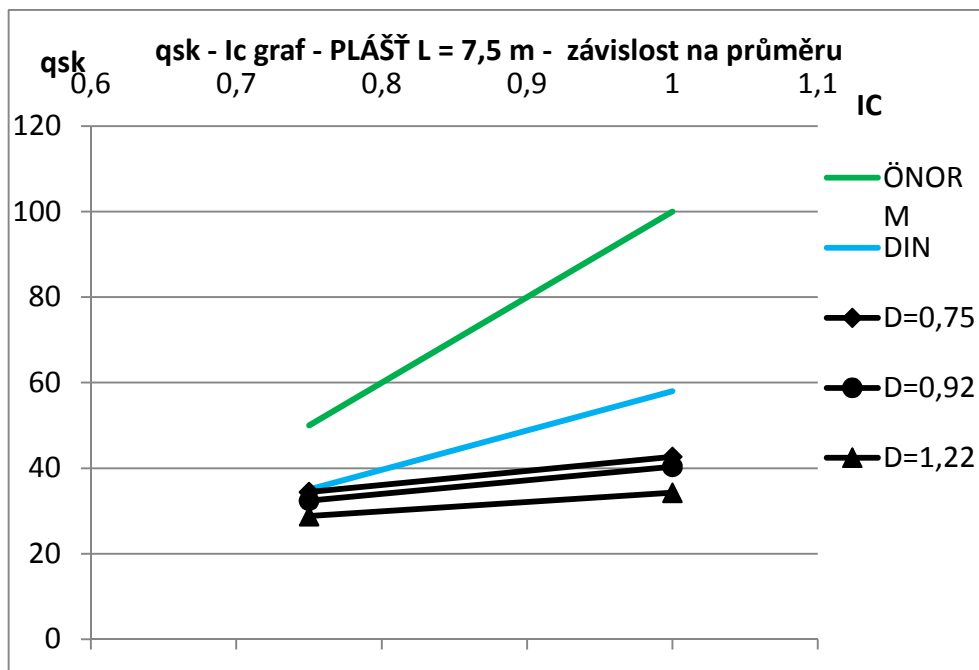
Obr. 10.2.4c

Na obr. 10.3.4a, a 10.3.4b a obr. 10.3.4c jsou znázorněné závislosti únosnosti na plášti v závislosti na Indexu ulehlosti  $I_d$ , a sleduje se, jak se veličiny mění se stoupající délkou piloty.

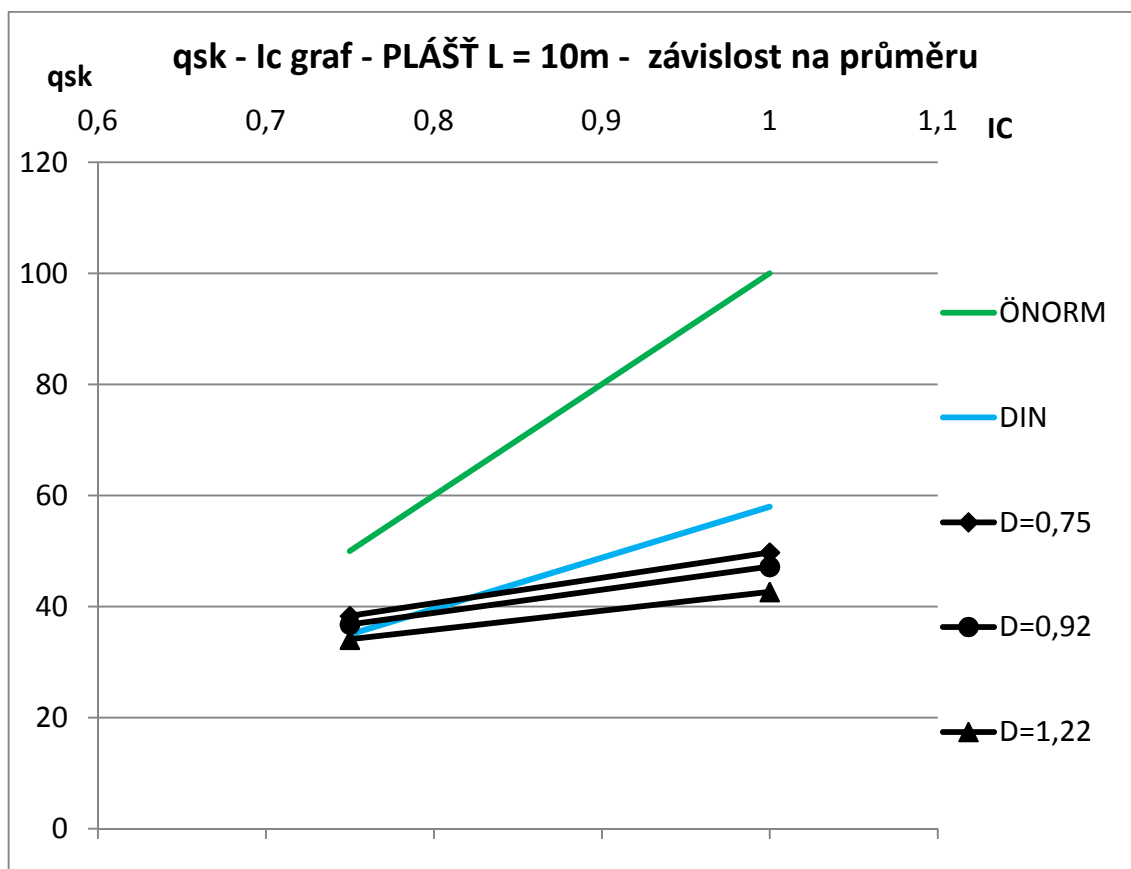
Zde je oproti nesoudržným zeminám rozdíl, že vyšší hodnoty plášťového tření obsahuje Rakouská ÖNORM. Hodnoty plášťového tření dle výpočtu dle doc. Masopusta jsou pak ještě menší.



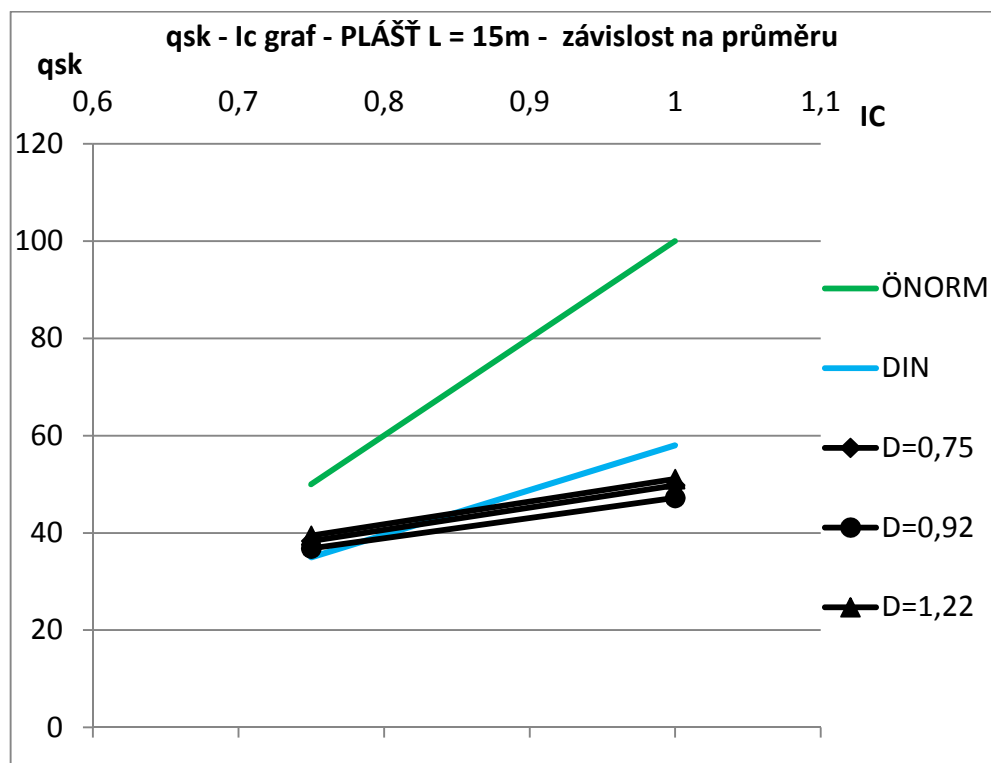
Obr. 10.3.5a



Obr. 10.3.5b

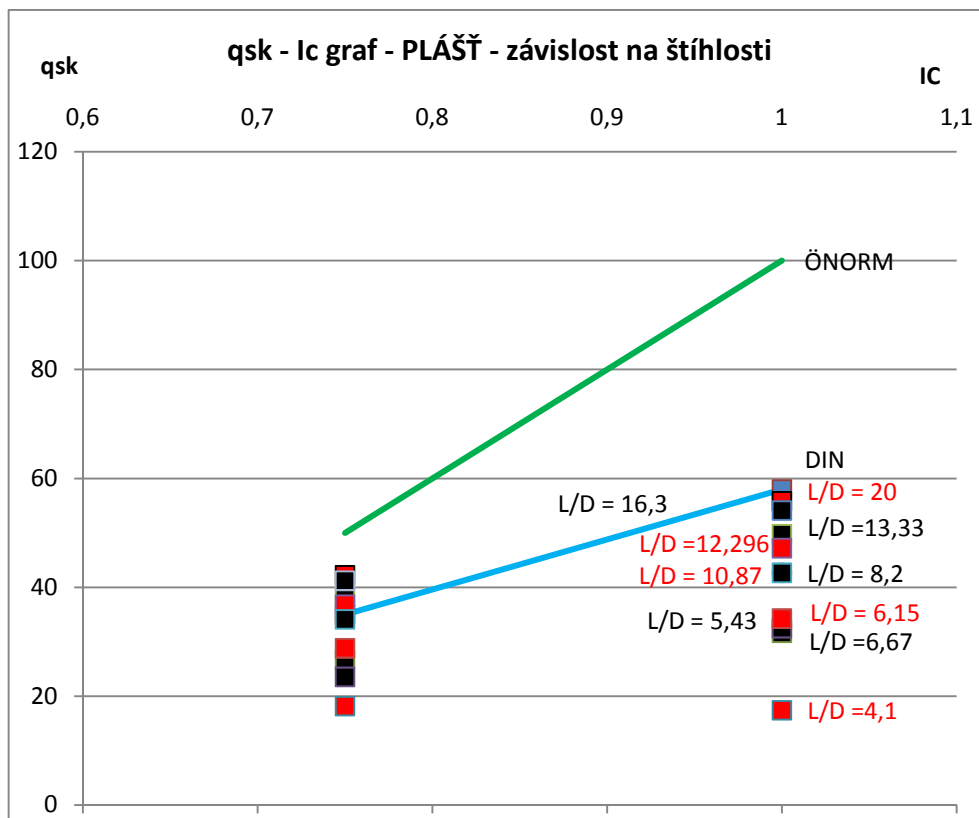


Obr. 10.3.5c



Obr. 10.3.5d

Závěrem této kapitoly jsou znovu ukázané i závislosti plášťového tření na průměru ( obr.10.3.5.a, obr.10.3.5.b, obr.10.3.5.c, obr.10.3.5 d) a na štíhlosti obr.10.3.6. Stejně jak u nesoudrzných zemin, i zde je vidět, že s rostoucí štíhlostí roste i plášťové tření qsk.



Obr. 10.3.5



## 11 VZOROVÝ PŘÍKLAD

Na závěr této diplomové práce bude uveden početní příklad. Ten bude nejprve spočítán podle jednotlivých norem, a poté bude porovnán z výsledky v měření v terénu.

Pilota má rozměry  $L = 10$  m,  $d = 0,9$ . Na pilotu působí síla  $F = 1000$  kN.

V podloží se nachází zemina o hodnotě odporu na špici kužele  $q_c = 20$  MN/m<sup>2</sup> v hloubce  $h = 0 - 8,0$  m;  $q_c = 20$  MN/m<sup>2</sup> v hloubce  $h = 8,0 - 10,0$  m.

Podle tabulky 5.12 v německé normě DIN provedeme převod odporu na špici kužele  $q_c$  na ulehlost („Lagerungsdichte D) podle tabulky 5.12 a 5.13 uvedené v kapitole 7.1 a poté převod na  $I_d$  podle tabulky 4 v kapitole 9.4. Na základě těchto tabulek si odvodíme Index ulehlosti pro výpočet dle doc. Masopusta a zároveň ulehlost D pro výpočet pro německou a rakouskou normu. Oboje hodnoty jsou uvedené pro zadané hodnoty  $q_c$ .

$q_c$ [ MN/m <sup>2</sup> ]	D tabulkové	$I_d$ tabulkové	D odvozené	$I_d$ odvozené
7,5	0,35	0,385		
10			0,5	0,55
15	0,65	0,715		
20			0,85	0,8575
25	1	1	1	1

Tabulka 5 – převod zadaných hodnot odporu na špici kužele na ulehlost D a index ulehlosti  $I_d$

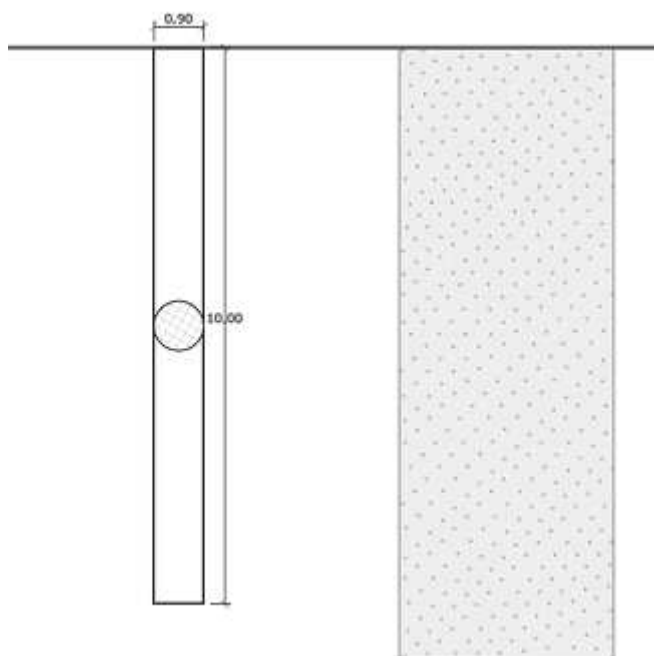
Pro hodnotu únosnější horní vrstvu uvažujeme přibližné  $D = I_d = 0,85$ , pro spodní méně únosnou vrstvu  $I_d = 0,55$ ,  $D = 0,5$ .

Na závěr budou výsledky porovnány s pilotou, na které byla přímo v terénu provedena statická zatěžovací zkouška. Pilota č. 1 byla zatížena silou  $F = 3200$  kN ( $R_s = 2575$  kN,  $R_b = 625$  kN), pilota č. 2 byla zatížena silou  $F = 2900$  kN ( $R_s = 1900$  kN,  $R_b = 1000$  kN).

## 11.1 VÝPOČET PODLE JEDNOTLIVÝCH NOREM

### *Výpočet dle doc. Masopusta*

Do programu GEO 5 byla zadána pilota o příslušných rozměrech  $d = 0,9$  a  $L = 10$  m,. Byl zvolen návrhový přístup 2, geometrie je zobrazena na následujícím obrázku 11.1.1, jako zemina reprezentující podloží byl zvolen písek třídy S3. Sečnový modul  $E_s$  byl a regresní součinitele  $a, b, e$  a  $f$  byly stanoveny podle indexu ulehlosti  $I_d$  pro méně příznivou spodní vrstvu zeminy ( $I_d = 0,5$ ).



Obr. 11.1.1 – geometrie modelu

Při posouzení na 1. MS (pevnostní) je kritický posudek svislé únosnosti, na tu však pilota bezproblému vyhoví.

Posouzení tlačené piloty:

Nejnepříznivější zatěžovací stav číslo 1. (Zatížení č. 1)

Únosnost piloty na plášti  $R_s = 110,17 \text{ kN}$

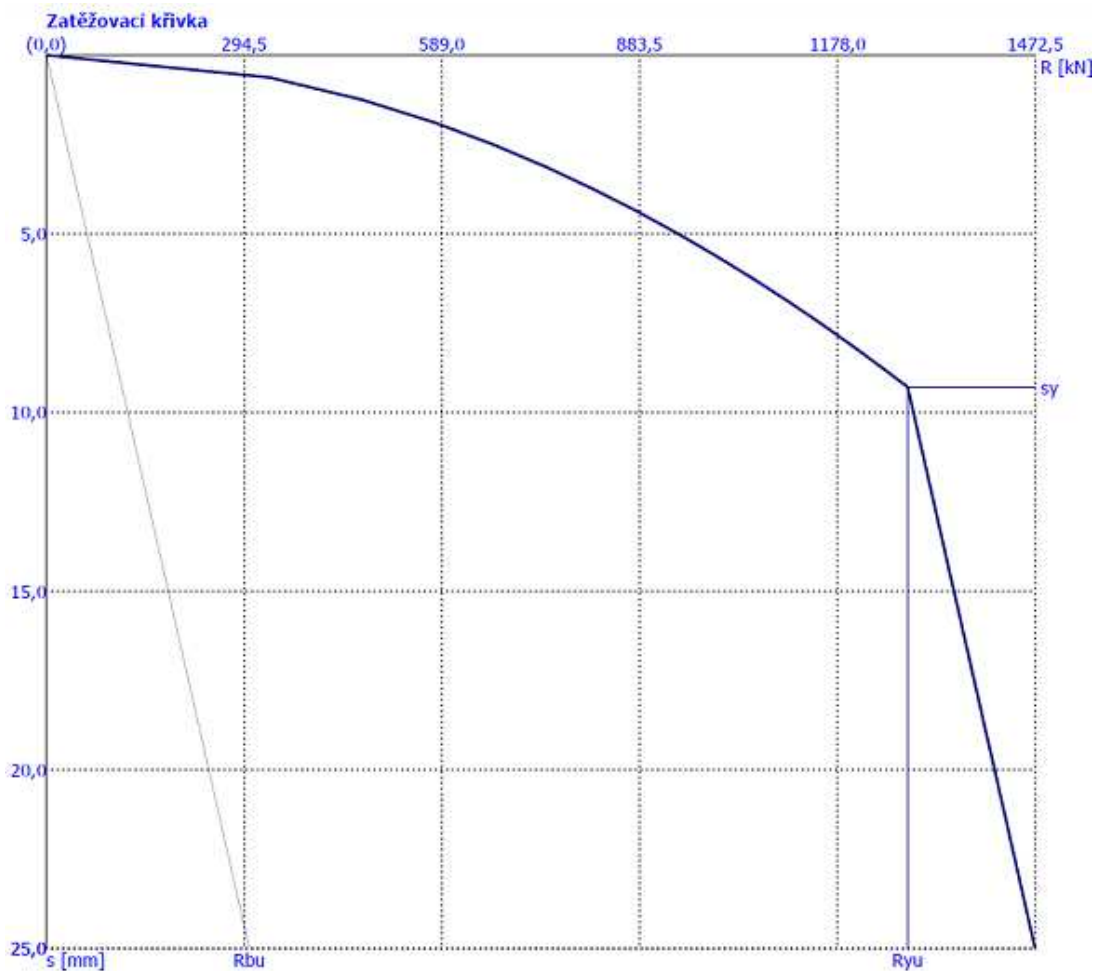
Únosnost piloty v patě  $R_b = 7634,07 \text{ kN}$

Únosnost piloty  $R_c = 7744,24 \text{ kN}$

Extrémní svislá síla  $V_d = 1000,00 \text{ kN}$

$$R_c = 7744,24 \text{ kN} > 1000,00 \text{ kN} = V_d$$

Pro posouzení na 2.MS (deformační) slouží mezní zatěžovací křivka podle obr. 11.1.2., body zatěžovací křivky jsou pak zobrazené v tabulce 6.



Obr. 11.1.2 – mezní zatěžovací křivka pro výpočet dle Masopusta

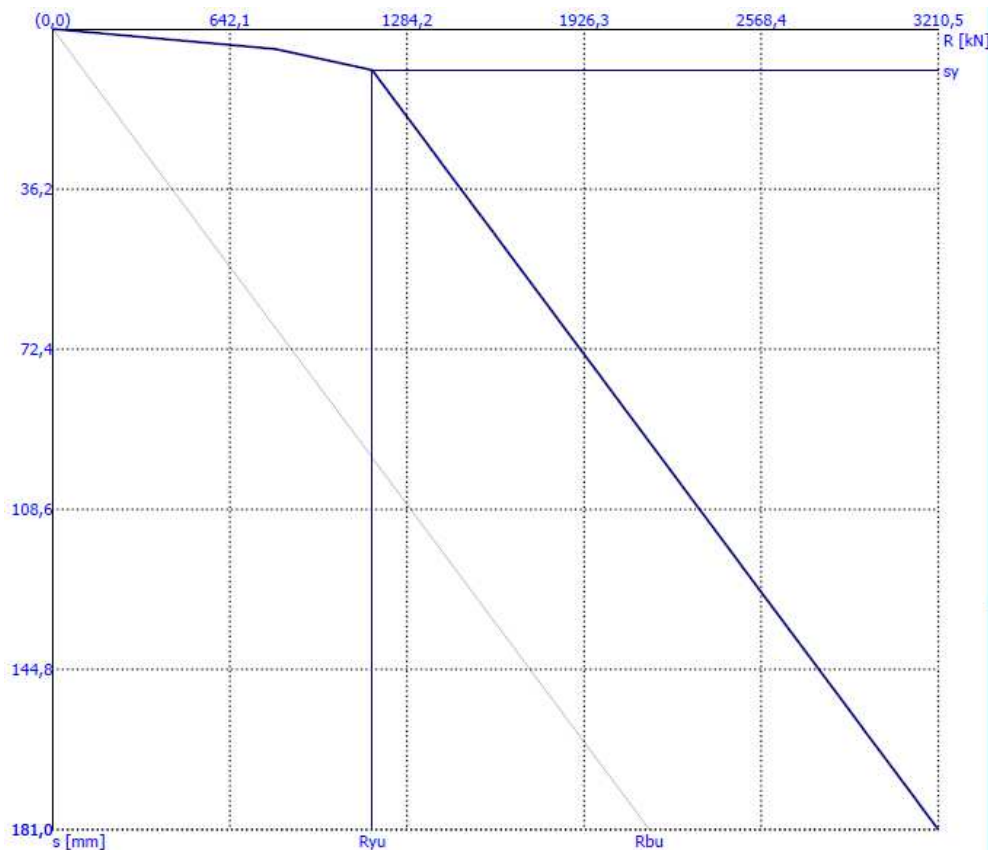
Sednutí [mm]	Zatížení [kN]
0,0	0,00
2,5	665,34
5,0	940,94
7,5	1152,41
10,0	1291,05
12,5	1321,28
15,0	1351,52
17,5	1381,76
20,0	1411,99
22,5	1442,23
25,0	1472,46

Tabulka 6 – body zatěžovací křivky

Z daných údajů však víme, že síla pro limitní sedání  $s = 25$  je rovna  $R=1472,46$  kN, což je únosnost, která potřebnou sílu nepřenesou. Pro možnost porovnání je třeba zvýšit limitní bod sednutí. Ta však dosahuje  $s_{lim} = 180$  mm, což je hodně, a tím pádem dle výpočtu dle Masopusta není pilota schopná přenést tak velké síly, aniž by nedošlo k nadměrné deformaci, přestože pilota na 1.MS stále vyhoví. Na vině je malá únosnost spodní vrstvy v podloží.

Sednutí [mm]	Zatížení [kN]
0,0	0,00
18,1	1263,70
36,2	1480,01
54,3	1696,31
72,4	1912,62
90,5	2128,92
108,6	2345,23
126,7	2561,53
144,8	2777,84
162,9	2994,14
181,0	3210,45

Tabulka 7 – body zatěžovací křivky pro zvýšený  $s_{lim} = 180$  mm.



Mezní zatěžovací křivka pro  $s_{lim} = 180$ .

Celkové sednutí pro pilotu zatíženou silou  $F = 3200$  je  $s = 181$  mm.

Celkové sednutí pro pilotu zatíženou silou  $F = 2900$  je  $s = 155$  mm.

Zde je však znovu potřeba připomenout, že brát metodu dle Masopusta pro sednutí  $s > s_{lim} = 25$  mm může být dost nepřesné.

### Výpočet dle německé normy DIN

Při porovnání norem se převáděla z mezní zatěžovací křivky z výpočtu dle doc. Masopusta síla  $R$  (únosnost) s jednotkou kN na plášťové tření  $q_{sk}$  a na napětí na patě  $q_{bk}$  s jednotkou kN/m<sup>2</sup>. Zde je postup opačný. Potřebujeme znát, jaká celková únosnost  $q$  ( $q = q_{bk} + q_{sk}$ ) přenesou zatížení  $F = 1000$  kN, což znamená, že musíme v tabulkách najít takové  $q$ , aby  $q/A \geq F$ , resp.  $(q_{bk} + q_{sk})/(\pi \cdot d^2/4) \geq F$ .

Nejjednodušší způsob, jak to zjistit, je sestavení mezní zatěžovací křivky pro německou DIN.

Podle tabulky 5.12 a 5.13 známe hodnoty  $q_{bk}$  – napětí na patě,  $q_{sk}$  – plášťové tření na mezích sednutí  $s/D = 0,02$ ;  $0,03$ ; a  $0,1$ . Rovněž známe průměr, známe tedy přesné sednutí.

Podle daných vzorců dopočítáme hodnoty, které jsou uvedené v tabulce 7.

DIN	D [m]		0,9			
s/D	s [m]	$q_{bk}$ [kN/m <sup>2</sup> ]	$q_{sk}$ [kN/m <sup>2</sup> ]	A [m <sup>2</sup> ]	R [kN]	
0,02	0,018	800	107,5	0,63617251	1426,49986	
0,03	0,027	1025	107,5	0,63617251	1780,177512	
0,1	0,09	2300	107,5	0,63617251	3784,350869	

Tabulka 8– převod  $q$  na  $R$  dle DIN

Stejně jako pro výpočet dle doc. Masopusta, i zde byla pro výpočet použita ulehlost  $D$  pro spodní, méně únosnou, zeminu, u které je  $D = 0,5$ .

Potřebujeme však zjistit sednutí a celkovou únosnost  $q$  pro sílu  $R = 3200$  a  $R = 2900$  kN. Z tabulky vyčteme, že výsledné sednutí bude větší než  $s/D = 0,03$  (menší než  $s = 0,018$  m), a zároveň menší než  $s/D = 0,1$  ( $s = 0,09$  m = 90 mm), hodnoty pro síly je možné jednoduše interpolovat.

Výslednou interpolací mezi hodnotami z tabulky 8 vychází pro  $F = 3200$  hodnoty poměru  $s/D = 0,079$ , a z toho tedy vyplývá výsledné sednutí  $s = 87,8$  mm.

Pro sílu  $F = 2900$  kN pak vychází výsledné sednutí 76,6 mm.

### ***Výpočet dle rakouské ÖNORM***

Princip výpočtu je hodně podobný jako u německé DIN. Vychází z tabulek C4 a C5. Opět je nutný převod  $q_{sk}$  a  $q_{bk}$  na  $R$ . Stejně jako u německé DIN, podle příslušných vzorců provedeme dopočet všech tabulkových veličin.

$$s = s/D \cdot D$$

q<sub>bk</sub> – tab.C4

q<sub>sk</sub> – tabulka C5

$$A = (\pi \cdot d^2 / 4)$$

$$R = q/A = (q_{bk} + q_{sk}) / (\pi \cdot d^2 / 4)$$

s/D	s [m]	q <sub>bk</sub> [kN/m <sup>2</sup> ]	q <sub>sk</sub> [kN/m <sup>2</sup> ]	A [m <sup>2</sup> ]	R [kN]
0,05	0,045	30	70	0,63617251	157,1900673
0,01	0,009	550	70	0,63617251	974,578417
0,02	0,018	1050	70	0,63617251	1760,528753
0,03	0,027	1350	70	0,63617251	2232,098955
0,05	0,045	1900	70	0,63617251	3096,644325
0,075	0,0675	2500	70	0,63617251	4039,784728
0,1	0,09	3000	70	0,63617251	4825,735065

Tab. 7 – tabulkové veliny dle Rakouské ÖNORM.

I zde je třeba najít únosnost potřebnou pro přenesení zatížení  $F = 3200$  kN,. Víme, že výsledná  $R = 1000$  kN leží mezi poměrem  $s/D = 0,05$  a  $0,075$ . Znovu interpolujeme a zjistíme, že výsledné sednutí  $s = 58,5$  mm.

Analogický výpočet provedeme pro sílu  $F = 2900$  kN, kde je výsledné sednutí rovno  $s = 50,4$  mm

## 11.2 POROVNÁNÍ SE STATICOU ZATĚŽOVACÍ ZKOUŠKOU PROVEDENOU V TERÉNU

	Masopust	DINN	ÖNORM
F = 3200 kN	s = 181 mm	s = 87,8 mm	s = 58,5 mm
F = 2900 kN	s = 155 mm	s = 76,6 mm	s = 50,4 mm

Tabulka 8 – sednutí podle jednotlivých norem při daném zatížení

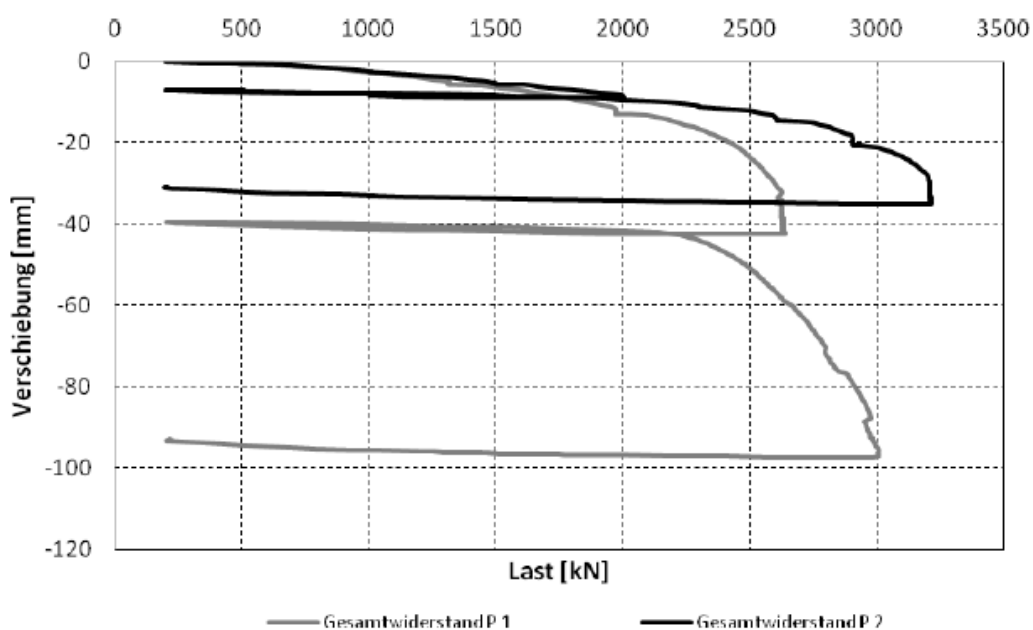
Jak vidíme z tabulky 8, výsledné sednutí pro každou z norem trochu jinak, měření přímo v terénu je tedy žádoucí.

Jak již bylo uvedeno výše, v roce 2012 byla rakouskými inženýry provedena zatěžovací zkouška piloty, při které byly rovněž zkoumány dynamické vlastnosti piloty, naměřené

hodnoty odpovídají zadání příkladu, pilota byla zatížena silou  $F = 3200 \text{ kN}$  ( $R_s = 2575 \text{ kN}$ ,  $R_b = 625 \text{ kN}$ ), resp.  $F = 2900 \text{ kN}$  ( $R_s = 1900 \text{ kN}$ ,  $R_b = 1000 \text{ kN}$ ).

Výsledkem této zkoušky bylo několik výstupů, pro případ této diplomové práce je důležitý výstup uvedený na následujícím obrázku, kdy pilota při síle asi  $2600 \text{ kN}$  sedla na úroveň  $40 \text{ mm}$ , po odtížení a opětovném přitížení poté sedla přibližně o dalších  $55 \text{ mm}$ .

Druhá pilota naopak při prvním přitížení o síle asi  $F = 2000 \text{ kN}$  sednula na úroveň  $16 \text{ mm}$ . Po odtížení a opětovném přitížení silou  $F = 3200 \text{ kN}$  došlo k sednutí na úroveň cca  $40 \text{ mm}$ .



Obr. 11.2 – statická zatěžovací zkouška – závislost celkového napětí a sedání piloty

	Masopust	DINN	ÖNORM	Zatěžovací zkouška
$F = 3200 \text{ kN}$	$s = 181 \text{ mm}$	$s = 87,8 \text{ mm}$	$s = 58,5 \text{ mm}$	$s = 38 \text{ mm}$
$F = 2900$	$s = 155 \text{ mm}$	$s = 76,6 \text{ mm}$	$s = 50,4 \text{ mm}$	$s = 95 \text{ mm}$



### Tabulka 7 – shrnutí

Výsledky uvedené v tabulce 7 pouze potvrzují, že pro extrémní zatížení pilot má významnou roli také dynamika.

## 12 ZÁVĚR

V této diplomové práci byla podrobněji popsána technologie vrтанých a ražených pilot. Dále byly podrobněji popsány jednotlivé návrhové přístupy, podle doc. Masopusta, podle rakouské normy ÖNORM a německé normy DIN. Pro porovnání jednotlivých norem byl proveden výpočet. V programu Microsoft Excel, pro jednotlivé hodnoty S/D byly doplněny hodnoty  $q_{bk}$  (napětí na patě),  $q_{sk}$  (tření na plášti), celkové tření  $q_s$ , sílu na patě  $R_b$ , sílu na plášti  $R_s$ , a celkovou sílu  $R$ . Výpočty byly provedeny podle každé normy.

Cílem této práce byla snaha dokázat, jak velkou roli hraje průměr, délka a štíhlost ve výpočtu podle doc. Masopusta. Během práce se zjistilo, že piloty menší délky je únosnost podle rakouské a německé normy nadhodnocená, naopak pro vyšší piloty jsou hodnoty v německé a rakouské normě na stranu bezpečnou.

Výstupem výpočtu byly grafy uvedené v kapitole 10, které zjistili, že na napětí na patě  $q_{bk}$  má významný vliv délka piloty, plášťové tření  $q_{sk}$  se zvyšuje s rostoucí štíhlostí.

## 13 ZDROJE

[1] Navrhování základových a pažicích konstrukcí, Příručka k ČSN EN 1997, JAN MASOPUST

[2] PILE DESIGN and CONSTRUCTION PRACTICE M.J. Tomlinson

[3] PENETRATION TESTING Thomas Thelfold

[4] CONE PENETRATION TESTING - T.Lunne, PK.Robertson, and J.J.M Powell

[5] *Grundbau-Taschenbuch: Teil 2: Geotechnische Verfahren*

[6] *Grundbau-Taschenbuch: Teil 1: Geotechnische Grundlage*

[7] Special Deep Foundation Compendium Methods and Equipment

[8] Dynamische Pfahlprobelastungen an Bohrpfählen in einem Testfeld: Ein Ringversuch M. Baeßler<sup>1</sup>), E. Niederleithinger<sup>1</sup>), M. Herten<sup>2</sup>), S. Georgi<sup>1</sup>